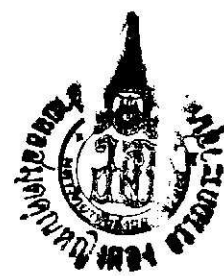


# 891723 16-36

รายงานวิจัย

เรื่อง



## แหล่งที่มาของตะกั่วที่แม่น้ำปัตตราณี

SOURCES OF LEAD TO THE PATTANI RIVER

ผู้แต่ง อารีย์กุล  
ภิญญา ถุปานนท์

ภาควิชาวิศวกรรมเหมืองแร่และโภชนาการ  
คณะวิศวกรรมศาสตร์ มหาวิทยาลัยสงขลานครินทร์

มีนาคม 2536

๓๕๖๙ - ๒๑๘

เลขที่.....	9010-02 กํ๛	2536 ๔
เลขที่.....	019049	
เลขที่.....	๑๐ ส.๘. 2537	

ที่นี่คือหมายเหตุจาก คณะกรรมการรับบทวิทยาแห่งชาติ  
กระทรวงสาธารณสุข

โครงการวิจัย : แหล่งที่มาของตะกั่วในแม่น้ำป่าสัก  
ชุมชน อาชีว์ดุล ก่อขยาย ศูนย์ฯ

บทคัดย่อ

งานวิจัยนี้เป็นการศึกษาถึงแหล่งที่มาของตะกั่วในแม่น้ำป่าสัก โดยทำการวิเคราะห์หาปริมาณ โลหะหนักซึ่งประกอบด้วย ตะกั่ว สารหมู่ แคลเซียม ทองแดง สังกะสี และเหล็ก แมงกานิส ในตะกอน หินน้ำ และน้ำในล่าช้า และแม่น้ำสายหลักจากต้นน้ำล่าช้า จนบริเวณหัวแม่น้ำ จนถึงปากอ่าว ป่าสัก นอกจากนั้นได้เก็บตัวอย่างติด ตามความต้องการใช้ประโยชน์ที่ติด ของการศึกษาปริมาณโลหะ หนักจากการเก็งครัว

ผลการศึกษาพบว่า แหล่งที่มาของตะกั่วในแม่น้ำป่าสัก ที่มีนิยสติสูงมาก ได้แก่ หมู่บ้านปัน เยาะ และหมู่บ้านด้ำหะอุ อ่าเภอปันผังสตา จังหวัดยะลา มูลค่าน้ำรายจากการทำเหมืองมากกว่า 100 ปี ได้เพรียร์ราระชาญสูญเสียบ้านป่าสักให้คงอยู่มีปริมาณตะกั่ว สารหมู่ ทองแดง และสังกะสีสูงมาก โลหะ หนักในน้ำที่สูงกว่ามาตรฐาน ได้แก่ สารหมู่ และแคลเซียม ผลการตรวจสอบเนื้อในระบบประจำของ ยะลา และป่าสัก พบว่าระบบประจำในแม่น้ำที่เก็บตัวอย่าง ผลิตน้ำได้ตามมาตรฐานน้ำดื่ม การศึกษาขับ แบบการละลายของโลหะหนักต่าง ๆ พบว่าโลหะหนักที่ถูกปลดปล่อยเหล็ก-แมงกานิสออกไช้ด และสาร อินทรีย์มีสัดส่วน 30-40 % โลหะหนักส่วนนี้จะละลายสูงแผลลื่นได้ง่าย และก่อให้เกิดผลกระทบต่อสิ่งแวด ล้อมได้

Project Title : Sources of Lead to the Pattani River

Investigator : Surapon Arrykul

Kalayani Kooptarnon

#### ABSTRACT

The main aim of this project is to investigate the source of lead in the Pattani river. Stream sediments, water and suspended solids were collected from the streams and main river. Soils were also sampled according to land uses. These sample were analyzed for Pb, As, Cd, Zn Cu, Fe and Mn spectrophotometrically.

The results reveal that the significant source of lead pollution in the Pattani river is intensive tin mining in Amphoe Bannangsata, Changwat Yala over a long period. In dry season, arsenic and cadmium content river water are higher than drinking water standards. One moment sampling of water from the public water systems of Pattani and Yala provinces has shown that they are safe to drink. The sequential extraction of stream sediments showed that metals were high in residual fraction( 50-60%). The rest were bounded to Fe-Mn and organic fractions(30-40%) which are bioavailable and can be soluble under particular conditions.

## สารบัญ

หน้า

รายการตาราง

รายการรูป

1	บทนำ	
1.1	ความเป็นมาและความสำคัญของปัญหาที่ทำการศึกษา	1
1.2	วัตถุประสงค์ของการศึกษา	2
1.3	ขอบเขตของการศึกษา	3
1.4	ประโยชน์ที่คาดว่าจะได้รับ	3
1.5	กรอบแนวคิดในการวิจัย	4
1.6	ข้อมูลของพื้นที่บริเวณที่ทำการศึกษา	5
1.7	การใช้ประโยชน์ที่ดินในอุ่มน้ำปัตตานี	5
2	การตรวจสอบสาร	
2.1	บทนำ	8
2.2	สภาพทางเคมีของโลหะ (Metal Speciation)	9
2.3	สภาพทางเคมีของโลหะในน้ำ	11
3	วิธีดำเนินการศึกษา	
3.1	แหล่งข้อมูล	12
3.2	วิธีการเก็บตัวอย่าง	13
3.3	การวิเคราะห์ตัวอย่าง	14
4	ผลการวิจัย	
4.1	ผลการศึกษาเบื้องต้น (Reconnaissance Survey)	17

## สารบัญ (ต่อ)

	หน้า
4.2 การศึกษาในชั้นราบลุ่ม เอี้ยด	36
4.3 ผลการศึกษาวิเคราะห์ตัวอย่างติน	36
4.4 ผลการวิเคราะห์ตะกอนแขวนลอย (Suspended Soilds)	56
4.5 ผลการศึกษารูปแบบการลະลาย (Speciation)	56
4.6 ROLE แห่งน้ำในระบบประจำจังหวัดยะลา-ปัตตานี และแม่น้ำปัตตานี	89
<b>5 วิจารณ์</b>	
5.1 แหล่งที่มาของตะกั่วในแม่น้ำปัตตานี	93
5.2 การเกิดมลพิษของ ROLE จากการพาจากสภาวะทางเคมีของ ROLE	96
5.3 การจัดการสิ่งแวดล้อมในสุมน้ำปัตตานี	97
<b>6 สรุป</b>	
6.1 สรุป	99
6.2 ข้อเสนอแนะ	100
<b>7 เอกสารอ้างอิง</b>	101

## สารบัญตาราง

ตารางที่		หน้า
4.1	ค่าอธิบายสถานที่เก็บตัวอย่างครั้งที่ 1	18
4.1.1	แสดงผลการวิเคราะห์ ตัวอย่างตะกอนชาร์น้ำในแม่น้ำปัตตานี	19
4.1.2	แสดงผลการวิเคราะห์ ตัวอย่างน้ำในแม่น้ำปัตตานี	20
4.2.1	ค่าอธิบายสถานที่เก็บตัวอย่างครั้งที่ 2	37
4.2.2	แสดงผลการวิเคราะห์ ตัวอย่างตะกอนชาร์น้ำในแม่น้ำปัตตานี โดยวิธี Total Digestion	38
4.2.3	แสดงผลการวิเคราะห์ ตัวอย่างน้ำในแม่น้ำปัตตานี ครั้งที่ 2	39
4.3.1	ค่าอธิบายสถานที่เก็บตัวอย่างคิน	47
4.3.2	แสดงผลการวิเคราะห์ ตัวอย่างดินในบริเวณจังหวัดยะลา-ปัตตานี โดยวิธี Total Digestion	48
4.4.1	ค่าอธิบายสถานที่เก็บตัวอย่างตะกอนแขวนลอย	57
4.4.2	แสดงผลการวิเคราะห์ ตัวอย่าง Suspended Solids ในแม่น้ำปัตตานี โดยวิธี Total Digestion	58
4.5.1	แสดงปริมาณของตะกั่วในแต่ละ Fraction ที่ได้จากการวิเคราะห์โดยวิธี Sequential Extraction	66
4.5.2	แสดงปริมาณของสารหมูนิ่มแต่ละ Fraction ที่ได้จากการวิเคราะห์โดยวิธี Sequential Extraction	69
4.5.3	แสดงปริมาณของทองแดงในแต่ละ Fraction ที่ได้จากการวิเคราะห์โดยวิธี Sequential Extraction	72
4.5.4	แสดงปริมาณของสังกะสีในแต่ละ Fraction ที่ได้จากการวิเคราะห์โดยวิธี Sequential Extraction	75

## สารบัญตาราง (ต่อ)

ตารางที่	หน้า
4.5.5 แสดงปริมาณของแคดเมียมในแต่ละ Fraction ที่ได้จากการวิเคราะห์โดยวิธี Sequential Extraction	78
4.5.6 แสดงปริมาณของแมงกานีสไนแต่ละ Fraction ที่ได้จากการวิเคราะห์โดยวิธี Sequential Extraction	79
4.5.7 แสดงปริมาณของเหล็กในแต่ละ Fraction ที่ได้จากการวิเคราะห์โดยวิธี Sequential Extraction	82
4.6 แสดงผลการวิเคราะห์ ตัวอย่างน้ำจากแม่น้ำปัตตานี และน้ำจากระบบน้ำบาจังหวัดยะลา-ปัตตานี	90
4.6.1 ค่าอัตราส่วนที่เก็บตัวอย่างน้ำ	91

## สารบัญ

หัวที่	หน้า
1.7 การใช้ประโยชน์ที่ดินในส่วนปัจจุบัน	6
3.2 แผนที่แสดงสถานที่เก็บตัวอย่าง	13
4.1.1 การแพร่กระจายของตะกั่วในตะกอนชารน้ำ และน้ำ	21
4.1.2 การแพร่กระจายของสารหมูในตะกอนชารน้ำ และน้ำ	22
4.1.3 การแพร่กระจายของแคดเมียมในตะกอนชารน้ำ และน้ำ	23
4.1.4 การแพร่กระจายของทองแดงในตะกอนชารน้ำ และน้ำ	24
4.1.5 การแพร่กระจายของสังกะสีในตะกอนชารน้ำ และน้ำ	25
4.1.6 การแพร่กระจายของเหล็กในตะกอนชารน้ำ และน้ำ	26
4.1.7 การแพร่กระจายของแมงกานีสในตะกอนชารน้ำ และน้ำ	27
4.1.8 ระดับตะกั่ว สารหมู และแคดเมียม ในตะกอนชารน้ำจากเหมืองแร่	29
4.1.9 ความสัมพันธ์ระหว่างสารหมูและคาร์บอเนต	30
4.1.10 ความสัมพันธ์ระหว่างสารหมูกับชัลเพต	31
4.1.11 ความสัมพันธ์ระหว่างแคดเมียมกับชัลเพต	32
4.1.12 ความสัมพันธ์ระหว่างแคดเมียมกับคาร์บอเนต	33
4.1.13 ความสัมพันธ์ระหว่างตะกั่วกับคาร์บอเนต	34
4.1.14 ความสัมพันธ์ระหว่างตะกั่วกับชัลเพต	35
4.2.1 การแพร่กระจายของตะกั่วในตะกอนชารน้ำ และน้ำ	40
4.2.2 การแพร่กระจายของสารหมูในตะกอนชารน้ำ และน้ำ	41
4.2.3 การแพร่กระจายของแคดเมียมในตะกอนชารน้ำ และน้ำ	42
4.2.4 การแพร่กระจายของทองแดงในตะกอนชารน้ำ และน้ำ	43
4.2.5 การแพร่กระจายของสังกะสีในตะกอนชารน้ำ และน้ำ	44

## สารบัญ (ต่อ)

หัวข้อ	หน้า
4.2.6 การแพร่กระจายของเหล็กในตะกอนชาร์น่า และน้ำ	45
4.2.7 การแพร่กระจายของแมงกานีส์ในตะกอนชาร์น่า และน้ำ	46
4.3.1 ปริมาณตะกั่วในดิน	49
4.3.2 ปริมาณสารหมูนิ่นในดิน	50
4.3.3 ปริมาณแคดเมียมในดิน	51
4.3.4 ปริมาณทองแดงในดิน	52
4.3.5 ปริมาณสังกะสีในดิน	53
4.3.6 ปริมาณเหล็กในดิน	54
4.3.7 ปริมาณแมงกานีส์ในดิน	55
4.4.1 ปริมาณตะกั่วในตะกอนแขวนลอย	59
4.4.2 ปริมาณสารหมูนิ่นในตะกอนแขวนลอย	60
4.4.3 ปริมาณแคดเมียมในตะกอนแขวนลอย	61
4.4.4 ปริมาณทองแดงในตะกอนแขวนลอย	62
4.4.5 ปริมาณสังกะสีในตะกอนแขวนลอย	63
4.4.6 ปริมาณเหล็กในตะกอนแขวนลอย	64
4.4.7 ปริมาณแมงกานีส์ในตะกอนแขวนลอย	65
4.5.1 สัดส่วนของตะกั่วใน species ต่างๆ	86
4.5.2 สัดส่วนของสารหมูนิ่น species ต่างๆ	87
4.5.3 สัดส่วนของแคดเมียมใน species ต่างๆ	88
5.1 กองมูลคินทรียของเนื้อองฟ้าทะลุ	94
5.2 กองแร่ที่มีตะกั่วและสารหมูนิ่นเบื้องบันเยา	95

## ๑. บทนำ

### ๑.๑ ความเป็นมาและความลักษณะของปัจจุบัน

กองอนามัยสิ่งแวดล้อม กรมอนามัย ได้ทำการสำรวจจากปริมาณน้ำ จากบริเวณปากแม่น้ำ 17 สาย และคลองอีก 2 สาย ที่รับน้ำลงสู่อ่าวไทย ในระหว่างปี 2527-2529 โดยการเก็บตัวอย่างน้ำดูตรัจริเคราะห์ หากความเข้มข้นของสารแคดเมียม ไครเมียม ทองแดง ปารอท ตะกั่ว และสังกะสี (น้ำหนา และคณ 2530) พบร่วมกับไข่โลหะหนักในน้ำบริเวณปากแม่น้ำสายต่าง ๆ ล้วนใช้มีค่าต่ำกว่ามาตรฐานคุณภาพแหล่งน้ำดื่มน้ำของสานักงานคณะกรรมการสิ่งแวดล้อมแห่งชาติ ยกเว้นปริมาณของสารตะกั่วที่พบในบริเวณปากแม่น้ำปราณบุรี แม่น้ำบางปะกง แม่น้ำตราด แม่น้ำประแส และแม่น้ำปัตตานี ผลการศึกษาพบว่า มีปริมาณของตะกั่วเฉลี่ยอยู่ระหว่าง 0.06-0.11 มิลลิกรัมต่อลิตร (มก/ล.) ซึ่งสูงกว่าค่ามาตรฐานที่กำหนดไว้ (0.05 มก/ล.) โดยแม่น้ำปัตตานี มีค่ากว่าน้ำ 0.11 มก/ล. ซึ่งสูงกว่ามาตรฐานถึง 2 เท่า

ในปี 2530 Everaats และ Swennen (1987) จากสถานีน้ำจืดทะเล แห่งประเทศไทยและ อันดี โค้กิเคราะห์หา โลหะหนักซึ่งประกอบด้วยสังกะสี ทองแดง แคดเมียม และตะกั่ว ในตะกอนและสิ่วหนานที่น้ำพากໄลส์ เตือนทะเล ถึง ปู หอย จากพินที่ขยายตัว 3 แห่งได้แก่ อ่าวปัตตานี อ่าวบ้านดอน และพินที่ขยายตัว Jeram ประเทศไทย เสีย พบร่วมกับไข่โลหะหนัก แคดเมียม ในตินตะกอน และสิ่วหนาน บริเวณอ่าวปัตตานี มีค่าสูงกว่ามาตรฐานที่องค์การอนามัยโลกกำหนด ส่วนอ่าวปัตตานี มีผลการศึกษาดังนี้

ปริมาณแคดเมียมในໄลส์ เตือนทะเลอยู่ในช่วง 0.7-2.4 มก/กก. ถึง 0.7 มก/กก. ในตะกอนปากอ่าวมีแคดเมียม 0.32-0.56 มก/กก.

ปริมาณตะกั่วในໄลส์ เตือนทะเล อยู่ในช่วง 16.7-20.8 มก/กก. ในหอยสองฝา 12-18.4 มก/กก. และในสิ่วทะเลอีน ฯ อยู่ในช่วง 0.7-5.6 มก/กก. ตะกอนในปากอ่าวมีตะกั่วถึง 242 มก/กก.

ปริมาณสังกะสี ในໄลส์ เตือนทะเล อยู่ในช่วง 68-147 มก/กก. ถึง 67-85 มก/กก. และปู 54-90 มก/กก. ปริมาณสังกะสีในตะกอน อยู่ในช่วง 100-250 มก/กก.

ปริมาณทองแดง ในกุงและปู อยู่ในช่วง 60 และ 140 มก/กก. ในไส้เดือนทะเล และหอยมีค่า 14.1-22.3 มก/กก. และ 4.8-17 มก/กก. ตามลำดับ

นอกจากนี้ ค่าผู้วิจัยยังพบว่าจากใต้เชื่อนบางลาง มีสังกะสี 40-120 มิลิกรัมต่อลิตร ทองแดง 30 มิลิกรัมต่อลิตร แคลเซียม 3-10 มิลิกรัมต่อลิตร และตะกั่ว 20-130 มิลิกรัมต่อลิตร

ในปี 2532 ประมาณ ภูนัสดรรบ รายงานว่า พบร่องน้ำในแม่น้ำปัตานีร้อยละ 58.1 ของจำนวนท่ออย่างน้ำที่สำรวจโดยค่าสูงสุดที่พบร่องน้ำ 15.1 มก/ล

ในปี 2535 คณะกรรมการระบบวิทยาแห่งชาติ ได้นิยามอุดหนุนผู้วิจัยเพื่อศึกษาแหล่งที่มาของตะกั่วในแม่น้ำปัตานี

## 1.2 วัตถุประสงค์ของการศึกษา

### วัตถุประสงค์หลักของการศึกษามีดังต่อไปนี้

1.2.1 เพื่อศึกษาแหล่งที่มาของตะกั่วในแม่น้ำปัตานี โดยใช้ปริมาณโลหะหนักในตะกอน และในสารน้ำเป็นเครื่องมือ นอกจากนี้จะศึกษาวิธีแบบการแพร่กระจายของโลหะหนัก ได้แก่ รูปแบบที่เป็นไฮอนินสารละลาย รูปแบบของคาร์บอนเนต รูปแบบของเหล็ก และแผนกานีสออกไซด์ และ รูปแบบของแร่สูญญภัย (primary minerals) โลหะที่ศึกษาได้แก่ Cu , Pb , Zn , As , Cd , Fe , Mn และ Anions พวณ Carbonates , Sulphates , Choloride และ pH

### 1.2.2 เสนอแนะมาตรการการจัดการลิงแวงลดลง

### 1.3 ขอบเขตของการศึกษา

พนักที่ให้การศึกษาเป็นลู่มน้ำปัตตานีซึ่งมีความยาวประมาณ 210 ก.ม. บริเวณด้านหลังราบอยู่บริเวณชายแดนไทย-มาเลเซีย แม่น้ำيلاจจากทางด้านซ้ายเป็นส่วนหนึ่งของจังหวัดยะลาไปออกสู่ปากอ่าวบริเวณจังหวัดปัตตานี(รูปที่ 1.3)

เนื่องจากกิจกรรมที่เป็นแหล่งที่มาของโลหะหนัก ไม่ว่ามีน้ำปั้คดำเนินเกิดจากการทำเหมืองบริเวณดินน้ำล่าอย่าง การเกษตร การอุตสาหกรรม ของเสียจากภูมชน หรืออาจจะมีแหล่งที่มาแบบ ไร่จุดกานาเนิด (Non-point Source) หรืออาจจะเป็น Mining Related Non-point Source การเก็บหัวอย่างเพื่อการวิจัยจะเป็นตะกอนรากน้ำ (Stream Sediment) และน้ำในแม่น้ำปั้คดำเนิน รวมทั้งเป็นหัวอย่างดิน ตามรูปแบบการใช้ประโยชน์ที่ดิน ถ้าโลหะหนักมีมากจนอาจจะเกิดผลกระทบต่อสุขภาพของภูมชน ผู้วิจัยจะศึกษาปริมาณโลหะหนักจากการแบบประเมินของชั้นหัวดินและบดดิน และปั้คดำเนิน เพื่อเป็นข้อมูลเบื้องต้น ในการทำวิจัยต่อไป

การศึกษาถึงสภาวะทางเคมี (Speciation) ของโลหะหนักในตะกอนจะบอกให้เราทราบว่าสัดส่วนของโลหะหนักที่จะเข้าสู่ระบบมนุษย์ มีเท่าใดโดยจะใช้วิธี การละกัดตามลักษณะ (Sequential Extraction)

#### 1.4 បង្ហាញពីការគ្រប់គ្រង

จะเป็นความต้องการให้รัฐบาลดำเนินการ

- 1.4.1 เพื่อให้ทราบแหล่งที่มาของตะกั่วในแม่น้ำปีตคานี
  - 1.4.2 เพื่อให้ทราบสภาวะทางเคมี (Speciation) ของโลหะหนัก
  - 1.4.3 เพื่อให้ทราบถึงระดับการบันเปื้อนของโลหะหนัก ในระบบประปาจังหวัดยะลา-ปีตคานี
  - 1.4.4 เพื่อให้ทราบมาตรวัดการรักษาผลการลักลอบ

## 1.5 การอพนนาศึกษาการวิจัย

แหล่งที่มาของโลหะหนักในสิ่งแวดล้อม ได้แก่ ของเสียจากอุตสาหกรรม (Industrial - Discharge) จากชุมชน (Municipal Discharge) จากการทำเหมือง (Mining Activity) จากดินหรือที่มีโลหะหนักสูงผิดปกติ (Geochemical Origin) และจาก Non-point Source

แหล่งที่มาของโลหะหนักที่มีจุดกำเนิดที่แน่นอน (Point Source) จะทำให้ตะกอนและน้ำในล่า-สารากลับเชียง ทำการเป็นเป็นของโลหะหนักสูงกว่าปกติและปริมาณโลหะหนักจะมีปริมาณคงไปเรื่อยๆ ตามทิศทางการไหล และความเร็วของกระแสน้ำ ส่วนปริมาณโลหะหนักในน้ำจะขึ้นอยู่กับคุณสมบัติการละลายของโลหะหนัก ค่า Redox Potential (Eh) ความเป็นกรด-ด่าง (pH) และการย่อยสลายค่ายแบคทีเรีย (Bacterial Activity)

สภาวะของโลหะหนักได้แก่ Ionic Form , Carbonate Form , Iron and Manganese Oxides Form , Organic Form และ Residual Form

นอกจากจะใช้ข้อมูลเกี่ยวกับ Bioavailability และยังสามารถใช้เป็นข้อวินิจฉัยถึงแหล่งที่มาของโลหะหนักได้ โดยที่โลหะหนักบริเวณใดก็ ฯ กับ Point Source ที่เป็นแหล่งแร่ธาตุในรูปของ Residual Form ก็ตัวคือ ซึ่งมีการเปลี่ยนแปลงไม่มาก เนื่องจากเพียงจะถูกเคลื่อนย้ายจากแหล่งกำเนิดใหม่ ฯ ด้านในน้ำมีการรับอนามาก โลหะหนักโดยเฉพาะตัวก็จะอยู่ในรูปของ Carbonate Form เมื่อตะกอนเคลื่อนย้ายไปกล้องกันไป จากแหล่งกำเนิด รูปแบบจะเปลี่ยนไปเป็น Iron and Manganese Oxide , Organic Form , Ionic Form ทั้งนี้อยู่กับสภาวะทางเคมีของน้ำในแม่น้ำ

ส่วนโลหะหนักจากชุมชน อุตสาหกรรม และการเกษตร จะอยู่ในรูปของ Organic Form และ Exchangeable Ion โลหะหนักจาก Non-point Source จะอยู่ในรูปของ Exchangeable Ion เป็นส่วนมาก และอาจจะอยู่ในรูปของ Organic ได้ ด้วยสารอินทรีย์มากพอ

## 1.6 ข้อมูลของศักราชปีบริเวณที่ทำการศึกษา

อุณหภูมิปีคืนนี้ครองบดลุมพินีของจังหวัดยะลา และปีคืนนี้ โดยมีแม่น้ำปีคืนนี้เป็นแม่น้ำสายหลัก บริเวณเทือกเขาชายแดนไทย-มาเลเซีย และเป็นพื้นที่ของจังหวัดยะลาซึ่งเป็นที่สูง พื้นที่จะค่อยๆ ลาดลงไปทางเหนือ ซึ่งเป็นจังหวัดปีคืนนี้ และออกสู่อ่าวไทยบริเวณอ่าวปีคืนนี้ ซึ่งปิดล้อมด้วยแหลมคลื่น

จากข้อมูลอุณหภูมิสูงสุด/ต่ำสุดรายวัน ณ สถานีตรวจอากาศปีคืนนี้ ตั้งแต่เดือนกรกฎาคม 2531 ถึง 2534 แสดงให้เห็นว่า อุณหภูมิเฉลี่ยรายเดือนสูงสุด อยู่ในเดือนเมษายนของทุกปี โดยมีค่าสูงสุด  $35^{\circ}\text{C}$  ในเดือนเมษายน 2533 และอุณหภูมิค่าต่ำสุด เฉลี่ยรายเดือน อยู่ในเดือนกุมภาพันธ์ หรือมีนาคมของทุกปี โดยมีค่าต่ำสุด  $20.5^{\circ}\text{C}$  ในเดือนกุมภาพันธ์ 2532

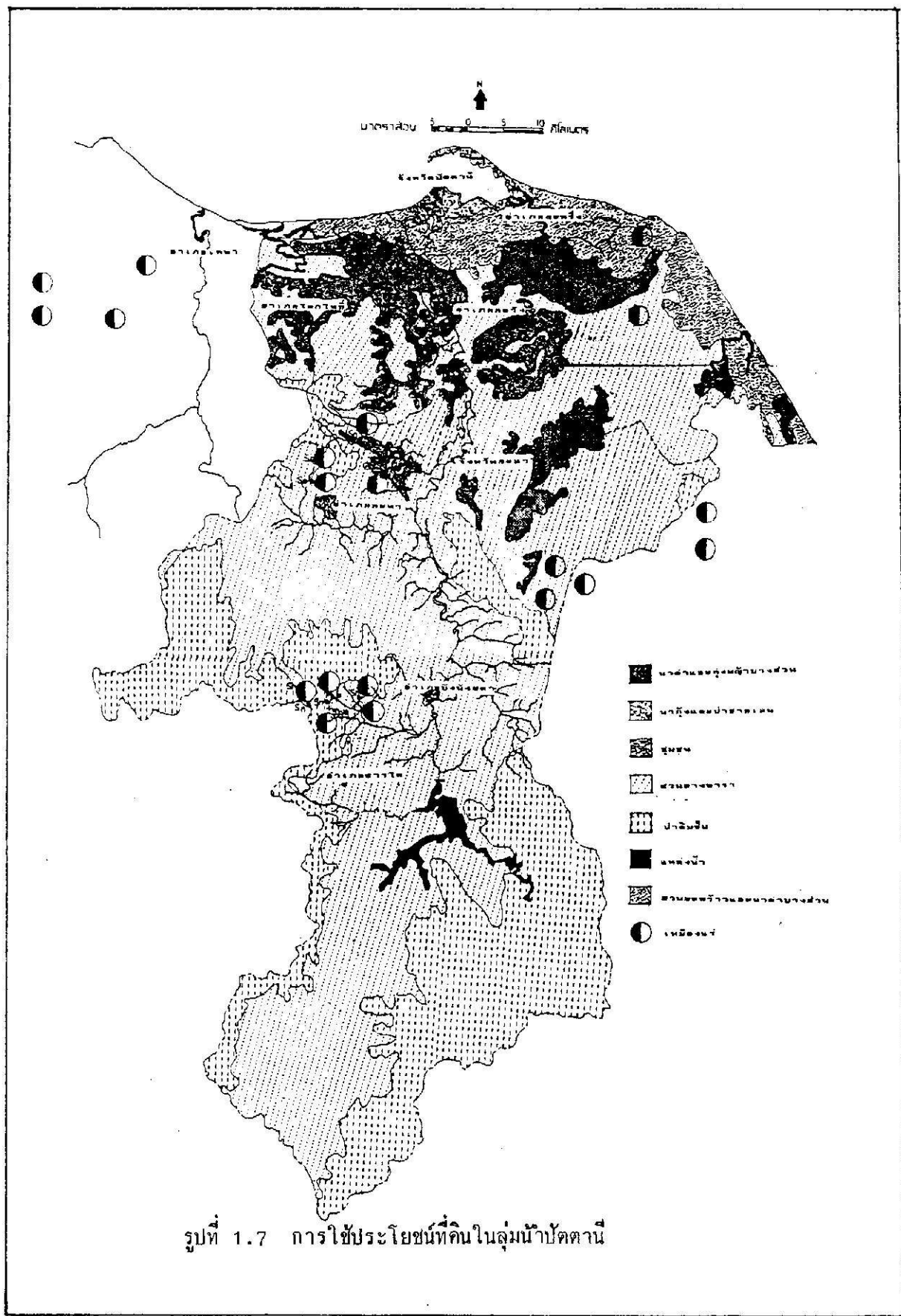
ข้อมูลปริมาณน้ำฝนรายเดือน ตั้งแต่เดือนมกราคม 2521 ถึง ธันวาคม 2534 ของสถานีตรวจอากาศปีคืนนี้ แสดงช่วงแล้งในเดือนกรกฎาคม ถึง มีนาคม จากนั้นปริมาณน้ำฝนจะค่อยๆ เพิ่มขึ้นไปตามฤดูกาลในเดือนกันยายน ปริมาณน้ำฝนเฉลี่ยรายปี ประมาณ 1500 มม. โดยมีอากาศทึบๆ ขาดร้อนเกือบทุกปี ปริมาณน้ำฝนในปี 2535 เป็นรายเดือน(บริขา วิริyanนท์:ติดต่อส่วนตัว) ดังนี้

มค	กพ	มีค	เมษ	พฤษ	มิย	กค	สค	กย	ตค	พย	ธค	มค	กพ
12.7	7.9	11	21.4	64.6	105.5	128.3	106.4	145.3	221.3	385.7	234.5	23.3	3.8
3.9	7	0	0	79.7	182.8	59.8	93.9	71.3	269.6	284.8	220.1	18.3	0.5

(หน่วยเป็น มลลิเมตร ครอบ สถานีบ่อน้ำ สถาลาง มหาวิทยาลัยสงขลานครินทร์ ปีคืนนี้)

## 1.7 การใช้ประโยชน์ที่ดิน

บริเวณจังหวัดยะลาซึ่งเป็นพื้นที่ล่าช้า มีป่าดิบชื้นบริเวณเทือกเขาชายแดนไทย-มาเลเซีย ส่วนที่เหลือเป็นสวนยาง เกี๊ยบหนึ่งล้านไร่ และมีสวนผลไม้จำพวกทุเรียนและลองกองแทรกอยู่บางส่วนอย่าง



บริเวณจังหวัดปัตตานีมีลุวนย่าง นาด้า และหุ่งเหี้ยว บริเวณใกล้อำเภอปัตตานีมีสวนมะพร้าว และบริเวณป่าชายเลนมีนาดูงที่เพิ่มปริมาณขึ้นเรื่อยๆ นอกจากนั้นยังมีเขตอุตสาหกรรม บริเวณปากแม่น้ำปัตตานี เป็นอุตสาหกรรมปลากะเป็น และอาหารทะเล

อำเภอปั๊บบังสักฯ จังหวัดยะลา มีเมืองแร่ที่มีประวัติการท่าเหมืองศิบุกมากกว่า 100 ปีมีร่องรอย ก้าวและสารหู เป็นเพื่อนแยร์ ในช่วงหลายปีมานี้ มีเมืองหินอ่อนและหินปูน เป็นท่าการในบริเวณใกล้ๆ กับเหมืองศิบุกหลายแห่ง นอกจากนั้นยังมีเหมืองศิบุกอีกหลายแห่งในอุ่มน้ำปัตตานี ยะหริ่ง และเทพา (รูปที่ 1.7)

## 2. การตรวจเอกสาร

### 2.1 บทนำ

รายงานเกี่ยวกับโลหะหนักในตะกอน และน้ำในแหล่งราก มิอยู่ในเอกสารทั่วไป Castaing และคณิต (1986) Ramaworthy และ Rust (1978) และ Rule (1986) ศึกษาโลหะหนักในตะกอน รายงานที่เกิดจากอุตสาหกรรม โลหะหนักเหล่านี้ประกอบด้วย Cu , Pb , Zn , Ni , Cd , Hg , Co , Cr , Fe และ Mn Reece และคณิต (1978) และ Yim (1981) รายงานเกี่ยวกับปริมาณของ Cu , Pb , Zn , Cd , Sr , As , W , Fe และ Mn ในตะกอนหัวน้ำที่เกิดจาก การทำเหมือง Monteil และ Foster (1991) รายงานว่ามี Cu , Pb , Zn , Cd และ Ag สูง ในตะกอนหัวน้ำใกล้ ๆ กับกองขยะ

ของเสียที่ปล่อยออกจากการเหมืองแร่ ที่มีผลกระทบต่อผิวแวดล้อม ได้แก่ ตะกอน มูลแร่ และน้ำที่เป็นกรด (Acid mine Water) วางในธรรมชาติจะอยู่ในสภาวะสมดุล เมื่อมีการทำเหมืองจะทำให้ rearrange ฟลักก์กับอากาศและน้ำโดยตรง ทำให้เกิดการละลายเข้าโลหะหนักจากแร่เข้าสู่ลิ่นน้ำคลอสัม

Funk et al. (1975) รายงานว่าแม่น้ำ Coeur D'Alene ของรัฐ Idaho มีโลหะหนักในน้ำจากการทำเหมือง ได้แก่ สังกะสี (28 มก/ล.) แคมเมียม (0.35 มก/ล.) ตะกั่ว (2.8 มก/ล.) ซิงค์ที่หล่อร่ายสูญหายไปจากแม่น้ำนี้ (Barlett et al., 1974)

เหมืองแร่ที่มีมูลแร่ Arsenopyrite (FeAsS) Pyrite (FeS<sub>2</sub>) และโลหะชั้นไฟฟ้อ汀 ๆ ลงในแม่น้ำ Belle Fourche และ Whitewood Creek ในรัฐ South Dakota มีปริมาณ 100 ล้านตัน (Marron , 1978) พบร่องรอยความเสียหายในตะกอนหัวน้ำ ห่างไปทางทิศเหนือ 25 กิโลเมตร มีค่าสูงถึง 5400 มก/ล.

ผลกระทบจากการทำเหมืองแร่ตืบุก และวุลแฟร์ม ในการที่สามารถ ออสเตรเลีย พบโลหะหนัก เป็นเปื้อนในแม่น้ำหลายชนิด ได้แก่ Cd , Cu , Fe , Pb , Mn และ กวนกานธ์เป็น ทำให้ไม่สามารถน้ำที่สามารถใช้ประโยชน์ได้ (Tyler et al., 1973)

ในประเทศไทย พบรากурсทบทจากการท่าเมืองศิบุก และวุลแฟร์น บริเวณอาเกอร์รอนพิมูลย์ จังหวัดนราธิวาส ท่าให้เกิดการปนเปื้อนของสารพูน ทั้งในดิน และในน้ำ จนทำให้มีผู้ป่วยจากพิษสารพูนเป็นจำนวนมาก (รายงาน ณ เชียงใหม่ , อาศิรุรัตน์ , 2530)

ໄລຍະໜັກທີມແລ້ວການເນືດຈາກ Non-point Source ໄດ້ແກ່ ການເກຫຍວງຮຽນໄດ້ມີໄລຍະໜັກທີມຈາກຍາມ່າແມລັງແລ້ວຍາມ່າຫຼຳໃນສົມບັກອິນ ລວມທີ່ງປຸ່ມພອສ ເພດບາງແລ້ວອາຈີ່ໄລຍະໜັກປົນເປື້ອນ ຕລອດຈົນເຖິງການໃຫ້ໝັ້ນເບີນເຕີບທີມການເຕີມສາງຄະກຳເພື່ອເຕີມອອກເຕັມ ແລ້ວການໃຫ້ສີ ຍາແພນໂປຣາຍ ອາຈະເປັນແລ້ວທີ່ນຳຂອງໄລຍະໜັກໄດ້

## 2.2 สภาวะทางเคมีของโลหะ (Metal Speciation)

สภาวะทางเคมีของโลก หมายถึง การเปลี่ยนแปลงปริมาณของธาตุ หรือสารประกอบใด ๆ ในสภาวะทางเคมีต่าง ๆ กัน เช่น สารละลายน้ำ สารประกอบอินทรีย์ หรือ อินทรีย์ โดยความเข้มข้นของธาตุ หรือ สารประกอบในรูปแบบต่าง ๆ (Speciation Concentration) มีค่าเท่ากับความเข้มข้นของธาตุใน (Bulk Concentration) (Salomons et al., 1984)

#### 2.2.1 สภาวะทางเคมีของโลหะหนักในน้ำ (Metal Speciation in Aquatic System)

Elder (1988) ได้จำแนก ภาระทางเคมีของโลหะในน้ำดังนี้

- Dissolved Fraction สารที่เป็นสารละลายน้ำ
  - Exchangeable Fraction อิ豫ในสภาวะของโลหะที่ถูกดูดซึบ กับอนุภาคเล็ก ๆ รวมที่จะออกไปเป็นสารละลายน้ำ
  - Carbonate Fraction โลหะอยู่ร่วมกับอนุญาลคลาร์บอเนต
  - Iron - Manganese Fraction โลหะถูกดูดซึบกับเหล็ก และแยงกานาizo
  - Organic Fraction โลหะถูกดูดซึบกับสารอินทรีย์

### 2.2.2 สภาวะทางเคมีของโลหะในดินตะกอน (Metal Speciation Sediment)

Elder (1988) ได้จำแนก สภาวะทางเคมีของโลหะในตะกอนฐานรากเป็น 5 กลุ่ม

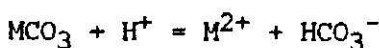
- Exchangeable Fraction

เป็นโลหะที่ถูกดูดซึบ (Adsorb) กับแอลูติน (Clay) เป็นการแลกเปลี่ยน Ion โดยประจุของ Clay ขึ้นอยู่กับ  $H^+$  ของตะกอน ค่าประจุลบจะต่ำในดินกรด และสูงในดินที่เป็นเบส ประจุบวกของโลหะหนึ่งจะถูกแทนที่ โดยประจุบวกของโลหะอื่นที่มี Ionic Potential สูงกว่าหรือกล่าวได้ว่า มีความสัมพันธ์กับ Ionic Potential และ pH ของน้ำซึ่งมีผลต่อการดูดซึบบนผิวของแร่ดิน

- Carbonate Fraction

โลหะจะอยู่ในรูปของ Carbonate เช่น ตะกั่วcarbonat ( $PbCO_3$ ) และสังกะสี carbonate ( $ZnCO_3$ ) การเปลี่ยนแปลงความเข้มข้นของโลหะจะขึ้นอยู่กับค่า pH ของน้ำดิน

ตามสมการ



เมื่อ  $M$  = โลหะที่มีวาเลนซี 2

ปฏิกิริยาจะดำเนินไปทางขวา เมื่อมีความเป็นกรดมากขึ้น และจะไปทางซ้ายเมื่อมีความเป็นด่างมากขึ้น

- Iron and Manganese Oxide Fraction

กลุ่มโลหะที่ดูดซึบกับเหล็ก และแมงกานีสออกไซด์ โดยที่ออกไซด์ของเหล็ก และแมงกานีส มีอิทธิพลต่อการเปลี่ยนแปลง Speciation ใน Aquatic System มาก เนื่องจากพิเศษของเหล็ก และแมงกานีสออกไซด์ มีความสามารถในการดูดซึบสูง (Strong Sorptive Capacity) Jemme (1968) ใช้ให้เห็นว่า อิทธิพลของพิเศษของเหล็ก-แมงกานีสออกไซด์ มีผลต่อความเข้มข้นของโลหะหนักมาก Stumm et al. (1981) พบว่า แมงกานีสออกไซด์มีประจุเป็นลบในสภาพน้ำทึบไปเหล็กเป็นไนโตรบาราฟ และลบ จึงดูดซึบโลหะหนักที่มีประจุบวกได้ Gibbs (1973) พบว่า Cu, Cr Co และ Ni ถูกดูดซึบโดย Hydrous Iron-Manganese Oxide ถึง 50 % ของปริมาณโลหะหนักทั้งหมด ในแม่น้ำอเมซอน และแม่น้ำยูคون

- Organic Fraction

กุ่มไลอะทิคซึ่งกับสารอินทรีย์ (Humus) จะมีประจุเป็นลบคล้าย ๆ กับแร่ดิน (Clay) (Nyle , 1984) นอกจากนั้นสารอินทรีย์ยังจับไลอะได้โดยแบบ Chelation ภายใต้สภาวะ Oxidation สารอินทรีย์จะถูกปลดปล่อยไลอะเข้าสู่สภาวะสารละลายได้

- Residual Fraction

ไลอะในสภาวะ Residual Fraction เป็นแร่ปูนภูมิที่เป็นสารประกอบเมื่อันกับแหล่งกำเนิดโดยที่ยังไม่มีการเปลี่ยนแปลงทางเคมีใด ๆ เช่น ตะกั่ว และสังกะสีอยู่ในรูป PbS และ ZnS แคดเมียมอาจจะเป็น Solid Solution ในผลักแร่  $(Zn,Cd)_S$  สารหมู่อยู่ในรูป FeAsS เป็นต้น

### 2.3 สภาวะทางเคมีของไลอะในน้ำ

ไลอะจะอยู่ในรูปของสารละลาย (Soluble Phase) เมื่อ pH และ Eh ต่ำ (Reducing Environment) มีตะกอนแขวนลอยน้อย (Low Particulate Load) และมีสารอินทรีย์ละลายในน้ำมาก

ต่ำ pH เพิ่ม และการแส้น้ำไหลแรง (High Hydraulic Energy) ตะกอนแขวนลอยจะมีมาก ไลอะจะอยู่ใน Suspended Solid Phase

ในตะกอนอาจน้ำที่มีสารอินทรีย์มาก ถ้าสภาวะเปลี่ยนไปเป็นสภาวะที่ pH และ Eh สูงขึ้น ไลอะจะละลายออกมากในน้ำ

ในน้ำที่มีความหลากหลายทางชีวภาพ สัตวาน้ำจะละลายไลอะหนักอยู่ในตัวมันเอง การลอกสารละลายต่อตะกอนคืนในตัวสัตว์น้ำ จะทำให้ไลอะออกมายังสภาพสภาวะละลายได้ เช่นกัน

ไลอะในตะกอนชารน้ำจะเกิดร่วม กับสารอินทรีย์ สารอินทรีย์ และสังฆิชิตในทองน้ำ (Elder , 1988)

### 3. วิธีดำเนินการศึกษา

#### 3.1 แหล่งข้อมูล

พิมพ์ที่ทำการศึกษาอยู่บริเวณจังหวัดยะลา และปัตตานี โดยศึกษาตะกอนหาราน้ำตามม่น้ำปัตตานี น้ำ สารแ徊นโดย น้ำในระบบประปา และตัวอย่างที่น้ำในอุ่มน้ำ นอกจากนี้ยังเก็บตัวอย่างจากกองมูล แล้ว บริเวณน้ำล่าหาดค่าย

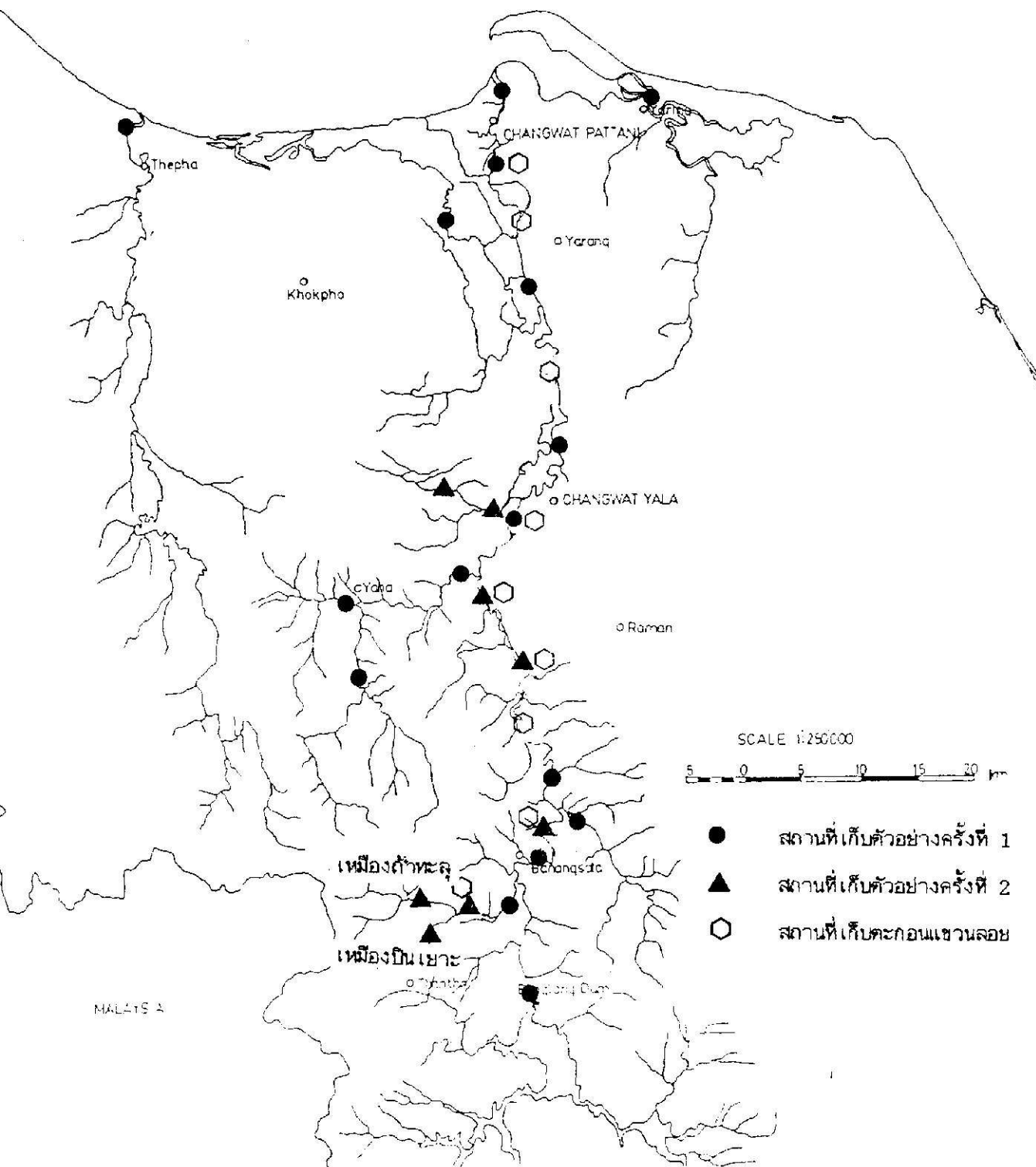
#### 3.2 วิธีการเก็บตัวอย่าง

การเก็บตัวอย่างใช้บีบการของสักกงานคณะกรรมการสิ่งแวดล้อมแห่งชาติ (2530) ตัวอย่างติน เก็บโดยใช้ grab และเก็บน้ำโดยกระบวนการเก็บตัวอย่างน้ำ ในบริเวณปากอ่าวและช่องที่น้ำสีจะใช้เรือ ในบริเวณที่น้ำดีจะใช้พื้นที่ ตัวอย่างน้ำจะเก็บในขวด polyethelene น้ำที่ใช้เคราะห์ໄโลหนานิก จะ acidified ด้วย กรดไนตริก 2 cc ต่อลิตร น้ำที่ใช้เคราะห์ anion จะแช่ในน้ำซิงค์และวิเคราะห์ภายใน 24 ชั่วโมง ได้ดำเนินการเก็บตัวอย่าง 4 ครั้ง ดังนี้

(1) เก็บตัวอย่างในช่วงหน้าฝน ระหว่างวันที่ 3-5 มีนาคม 2535 โดยเก็บตัวอย่างตะกอน หาราน้ำ และตัวอย่างน้ำในอุ่มน้ำปัตตานีจำนวน 14 สถานี และได้เก็บตัวอย่างจากปากแม่น้ำยะหริ่งและปากแม่น้ำเพหา ซึ่งเป็นอุ่มน้ำใกล้เคียงกันมาเปรียบเทียบด้วย (คู่มือที่ 3.2)

(2) เก็บตัวอย่างน้ำ และตะกอนหาราน้ำ เพิ่มเติมในระหว่างวันที่ 28-30 กรกฎาคม 2535 จำนวน 14 ตัวอย่าง เป็นระยะเวลาที่ฝนทึบช่วง (คู่มือที่ 4.2.1)

(3) เก็บตัวอย่างติดตามสักยามะการใช้ประโยชน์ที่ดินเพื่อครอบคลุมอุ่มน้ำปัตตานี ได้แก่ ตันสัน ยาง ตันนาดา ตันสวนมะพร้าว และตันจากนากรุง รวมทั้งหมด 12 ตัวอย่าง ในระหว่างวันที่ 3-4 ตุลาคม 2535 (คู่มือที่ 4.3.1)



รูปที่ 3.2 แผนที่แสดงสถานที่เก็บตัวอย่าง

(4) เก็บตัวอย่างในช่วงหน้าฝนระหว่างวันที่ 21-22 พฤษภาคม 2535 โดยเก็บเฉพาะตะกอนแขวนลอยในแม่น้ำปัตตานี (Suspended Solid) รวม 9 ตัวอย่าง และได้เก็บตัวอย่างจากถังตักตะกอนของระบบประปา จังหวัดยะลา และปัตตานี รวม 2 ตัวอย่าง นอกจากนี้ได้เก็บตัวอย่างน้ำก่อนเข้าระบบประปา และน้ำที่ได้ผ่านระบบประปาน้ำแล้ว อีก 4 ตัวอย่าง ในวันที่ 21 พฤษภาคม

(5) เก็บตัวอย่างน้ำเข้า-ออกของระบบประปา จังหวัดยะลา-ปัตตานี และน้ำในแม่น้ำปัตตานี อีก 4 ตัวอย่าง ใน วันที่ 12 มกราคม 2536

### 3.3 การวิเคราะห์ตัวอย่าง

การวิเคราะห์ตัวอย่างน้ำ ตะกอนแขวนลอย ตะกอนธารน้ำ ได้ปฏิบัติตามวิธีมาตรฐานที่ใช้กันทั่วไป และตามเอกสารอ้างอิงที่ใช้กันมาก ในการวิเคราะห์ตัวอย่างสำหรับสิ่งแวดล้อม สำหรับตัวอย่างดิน ได้ใช้ตัวอย่างมาตรฐาน JG-1 ของ Geological survey of Japan ส่วนตัวอย่างน้ำได้เตรียมมาตรฐานที่ระดับครึ่งหนึ่งของเกณฑ์มาตรฐานน้ำศิม (สำนักงานคณะกรรมการสิ่งแวดล้อมแห่งชาติ 2530)

#### 3.3.1 การวิเคราะห์ตัวอย่างน้ำ

นำตัวอย่างน้ำที่ได้รับการทำให้เป็นกรด (Acidified) ด้วย  $\text{HNO}_3$  กรองและวิเคราะห์ด้วย Inductively Couple Plasma (ICP : Perkin - Elmer Plasma 1000) เพื่อหาปริมาณ  $\text{Cu}$ ,  $\text{Pb}$ ,  $\text{Zn}$ ,  $\text{Fe}$ ,  $\text{Mn}$ ,  $\text{Cd}$  และ  $\text{As}$

ตัวอย่างอีกส่วนหนึ่งจะได้รับการทำให้เป็นกรดเพื่อวิเคราะห์ Anion พาก Chloride , Carbonate และ Sulphate

### 3.3.2 การวิเคราะห์คืน และตะกอน化าน้ำ

นำตัวอย่างตะกอนที่ผ่านตะกรงขนาด 75 ไมครอน (80 เมช) ประมาณ 5 กรัม ไปย้อมสลายด้วยกรด  $\text{HNO}_3/\text{HCl}$  (1:3) บน Hot Plate ที่อุณหภูมิ  $90^{\circ}\text{C}$  จนแห้ง เติมกรด  $\text{HNO}_3$  เพิ่มเข้า 10 ml และน้ำกลัน 10 ml คนให้เข้ากัน อุ่นอีก 10 นาที กรองใช้ 5 %  $\text{HNO}_3$  ล้างตะกอน ปรับปริมาตรให้เท่ากับ 50 ml นำสารละลายนี้ไปวิเคราะห์หา Cu, Pb, Zn, Fe, Mn, Cd, และ As ด้วย Atomic Absorption Spectrophotometer (AAS : GBC-902)

### 3.3.3 การวิเคราะห์ด้วย Sequential Extraction

เทคนิค Sequential Extraction เพื่อศึกษา Speciation ของ iodide ที่นิยมใช้กันมาก คือ วิธีการของ Teisser et al. (1987) โดยใช้ตัวอย่างที่ผ่านตะกรง 80 เมช อบแห้งจำนวนตัวอย่างละ 5 กรัม

#### (1) Exchangeable Species

สะเก็ดตัวอย่างด้วยสารละลายน้ำ乙酸 1 มิลลิลิตร ที่ pH 8.2 จำนวน 25 ml ณ อุณหภูมิห้อง เป็นเวลา 1 ชั่วโมง

#### (2) Carbonate Species

นำตะกอนที่เหลือ (Residue) จาก (1) มาสะเก็ตด้วยสารละลายน้ำ乙酸 1 มิลลิลิตร (ปรับ pH ให้เท่ากับ 5 ด้วยกรดอะซิติก) จำนวน 25 ml ณ อุณหภูมิห้องเป็นเวลา 5 ชั่วโมง

#### (3) Fe-Mn Oxide Species

นำ Residue จาก ข้อ (2) สะเก็ตด้วยสารละลายน้ำ 0.04 มิลลิลิตร Hydroxylamine Hydrochloride (ในสารละลายนี้ของกรดอะซิติก 25 %) จำนวน 25 ml ที่ อุณหภูมิ  $95^{\circ}\text{C}$  เป็นเวลา 6 ชั่วโมง สารละลายนี้จะสะเก็ตจากเหล็ก และแมงกานีสออกไซด์

#### (4) Organic Species

นำ Residue จาก ข้อ (3) น้ำมันอย่างด้วยสารละลายน้ำมี 0.02 ไมลาร์  $\text{HNO}_3$  6 ml กับ 35 %  $\text{H}_2\text{O}_2$  ( $\text{pH} = 2$ ) 10 ml ที่อุณหภูมิ  $85^\circ\text{C}$  เป็นเวลา 2 ชั่วโมง เติมกรด 35 %  $\text{H}_2\text{O}_2$  เพิ่มอีก 6 ml สะกิดต่อที่อุณหภูมิ  $85^\circ\text{C}$  อีก 2 ชั่วโมง ทิ้งให้อุณหภูมิลดลง เท่ากับอุณหภูมิห้อง เติมสารละลายน้ำ 3.2 ไมลาร์ Ammonium Acetate (ใน 20 % V/V  $\text{HNO}_3$ ) 10 ml ผสมเข้าด้วยกัน สารละลายน้ำดังนี้จะเป็นสารละลายน้ำ จากสารอินทรีย์

#### (5) Residual Species

นำ Residue จาก ข้อ (4) น้ำมันอย่างด้วยการเกลือ และไนตริก อัตราส่วน 1:3 โดยผสมการเกลือ 18 ml กับกรดไนตริก 6 ml บน Hot Plate จนแห้งทิ้งไว้อุณหภูมิลดลงจน เท่าอุณหภูมิห้อง เติม 50 %  $\text{HNO}_3$  15 ml อุ่นไฟอ่อน ๆ ประมาณ 2 ชั่วโมง กวนอย่างระดับ ก่อน ด้วย 5 %  $\text{HNO}_3$  สารละลายน้ำที่ได้เป็นสารละลายน้ำของโลหะใน Residual Species ซึ่งจะเป็นกลุ่ม โลหะที่อยู่ในรูป Sulphides และ Oxides

นำสารละลายน้ำที่ได้จากขั้นตอนที่ 1 ถึง 5 วิเคราะห์หาปริมาณ Cu , Pb , Zn , Fe , Mn , Cd และ As ด้วย AAS ถ้าปริมาณโลหะใดมีค่ามาก จนไม่สามารถวิเคราะห์ ด้วย AAS ได้จะใช้ ICP วิเคราะห์แทน

## 4. ผลการวิจัย

ในการวิจัยครั้งนี้ ได้ทำการเก็บตัวอย่างครั้งแรกในที่น้ำแล้ง เพื่อลดแหล่งที่มาจากการ Non-point Source ให้มากที่สุด เนื่องจาก Contribution จาก Non-point Source จะมาจากการต้นที่ฝนตกมากที่สุด ในช่วงแรกจะเป็นตัวอย่างที่ครอบคลุมตลอดความยาวของลิ่นน้ำ หลังจากนั้นจะเป็นตัวอย่างเพิ่มเติมในปีรายละเอียด โดยมีผลการวิเคราะห์ทางเคมี ดังนี้

### 4.1 ผลการศึกษาเบื้องต้น (Reconnaissance Survey)

ผลการวิเคราะห์ตัวอย่างในตะกอนธารน้ำไขแม่น้ำปัตตราณี จำนวน 14 ตัวอย่าง และ ตัวอย่างบริเวณปากแม่น้ำยะหริ่ง และแม่น้ำเทพา (ตารางที่ 4.1) ในวันที่ 3-5 มีนาคม 2535 ได้ผลว่า

#### 4.1.1 โลหะหนักในตะกอนธารน้ำ

บริเวณบ้านกาโ耍ด (P2 คลองไคร์กอโภ) มีตะกั่วสูง 3333 ppm. สารหมู่ 200 ppm. แคนเดียม 9 ppm. นอกเหนือน้ำแล้วมี ทองแดง 385 ppm. สังกะสี 718 ppm. และมีปริมาณเหล็ก และแมงกานีสสูงมากถ้ารากสายฟ้าไหลมาจากหินเหลืองปันเยา และเหลืองถ้ำทะลุ บริเวณโลหะหนักในบริเวณนี้ เกิดจากการทำเหมืองแร่ตืบกันบริเวณดังกล่าว โดยที่แหล่งแร่เหล่านี้มีแร่ Arsenopyrite (FeAsS) Chalcopyrite (CuFeS<sub>2</sub>) Galena (PbS) และ Sphalerite (ZnS) เกิดรวมกันอยู่ด้วย

ตามหนังที่อยู่ติดลงไปติดกับ P5 ซึ่งอยู่ห่างจาก P2 ประมาณ 20 กิโลเมตร ปริมาณโลหะหนักลดลงเกือบกึ่งหนึ่งของ P2 โดยมีตะกั่ว 1148 ppm. สารหมู่ 112 ppm. แคนเดียม 1.4 ppm. ทองแดง 134 ppm. สังกะสี 302 ppm. (คุณภาพที่ 4.1.1-4.1.8)

#### ตารางที่ 4.1 ค่าอัตราภัยสูด้านที่เกินตัวอย่างครั้งที่ 1

- P1 เป็นจุดเก็บได้เป็นบ้านกลาง ห้างประมาย 500 เมตร
- P2 บริเวณบ้านกาลต (คลองไทรโยค) เป็นลักษาริ่วแหลมจาก อ่าगे�อหาริค ผ่านหมู่เมืองถ้ำหะลุ และหมู่เมืองปันเยาะ
- P3 เป็นลักษาริ่วแหลมจากอ่ากงบันนังสศา
- P4 เป็นลักษาริ่วแหลมจากนิคมสร้างคนเร่องกีอลอง (คลองกีอลอง)
- P5 เป็นตัวอย่างที่เก็บในแม่น้ำปีตคานี บริเวณบ้านกรัว
- P6 เป็นตัวอย่างที่เก็บบริเวณบ้านปะแต ใจลักษร่องซึ่งไหลผ่าน อ่ากงยะหา ลงสู่แม่น้ำปีตคานี
- P7 เป็นลักษารสายเดียวกับ P6 ที่ไหลผ่าน อ่ากงยะหา
- P8 เป็นตัวอย่างบริเวณบ้านลากี ใจลักษร่องซึ่งไหลผ่าน P6 และ P7 ใจลักษร่องแม่น้ำปีตคานี
- P9 เป็นตัวอย่างที่เก็บในแม่น้ำปีตคานี บริเวณบ้านสะเตง ประมาณ 1 กิโลเมตร ก่อนถึงตัวเมืองยะลา
- P10 เป็นตัวอย่างที่เก็บในแม่น้ำปีตคานี บริเวณบ้านควบปะตี ประมาณ 2 กิโลเมตร ห่างจากตัวเมืองยะลา
- P11 เป็นบริเวณบ้านท่าญี่ปุ่น เป็นทางน้ำที่แยกจากแม่น้ำปีตคานี สมทบกับล้านนาเสิก ๑ ไหลไปทาง อ่ากงหนองจิก
- P12 เป็นตัวอย่างน้ำที่เก็บในแม่น้ำปีตคานี บ้านนาชาแอด อ่ากงยะรัง
- P13 เป็นตัวอย่างที่เก็บในแม่น้ำปีตคานี บ้านโรงอ่าง ประมาณ 1 กิโลเมตร ก่อนถึงตัวเมืองปีตคานี
- P14 ตัวอย่างบริเวณปากแม่น้ำปีตคานี
- T1 ตัวอย่างบริเวณปากแม่น้ำเทรา
- Y1 ตัวอย่างบริเวณปากแม่น้ำยะหริ่ง

**ตาราง 4.1.1 ผลการวิเคราะห์ ตัวอย่างตะกอนห้องน้ำในแม่น้ำป่าสัก**

เก็บตัวอย่าง ตะกอนห้องน้ำ ครั้งที่ 1 วันที่ 3-5 มีนาคม พ.ศ.2535

Sample	Sequential Extraction/ppm.						
	Pb	As	Cd	Cu	Zn	Fe	Mn
P1	62.08	12.76	-	19.55	137.85	18343.01	198.87
P2	3333.16	200.36	9.07	385.86	718.35	59768.01	2808.28
P3	11.41	2.08	-	1.58	14.28	62370.78	143.55
P4	15.84	9.11	-	1.14	18.23	4830.74	165.92
P5	1148.73	112.39	1.44	134.02	302.27	6356.36	1885.56
P6	9.9	4.13	-	1.38	12.46	29233.74	93.85
P7	7.1	1.87	-	-	3.33	4961.30	224.05
P8	15.22	3.97	-	2.06	30.72	4826.90	240.89
P9	32.17	17.51	-	4.66	31.83	119.34	433.94
P10	92.33	12.43	-	10.26	45.3	4458.29	351.08
P11	116.56	88.78	0.14	10.34	73.24	5233.92	453.57
P12	23.26	30.08	-	1.01	24.34	10020.85	683.90
P13	190.72	72.33	0.08	23.85	103.87	9849.61	559.68
P14	110.41	27.71	-	17.98	72.04	21767.77	394.63
T1	46.27	49.20	-	15.17	72.04	5368.31	378.97
Y1	21.76	5.20	-	1.47	39.03	5471.99	213.15

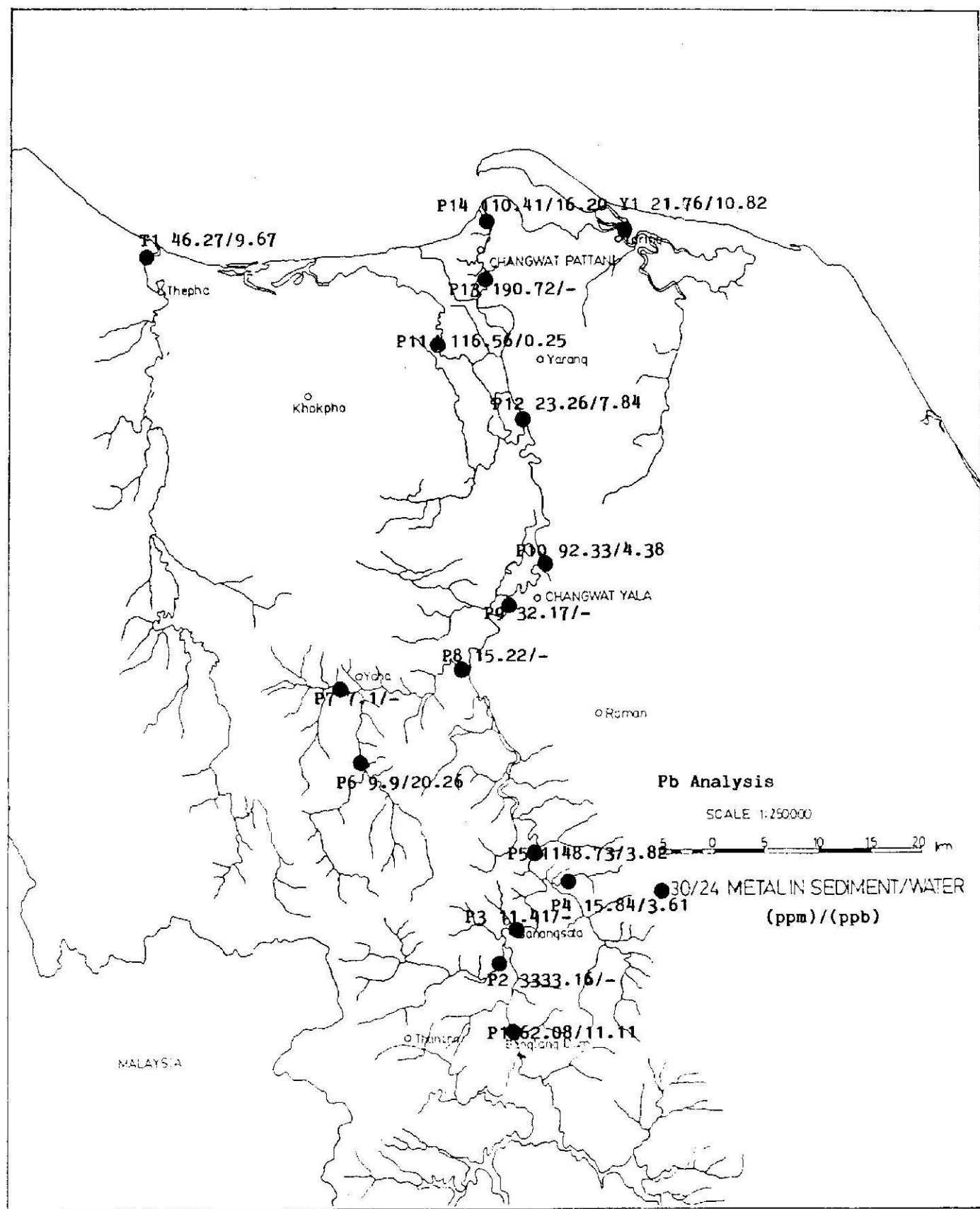
หมายเหตุ เครื่องหมาย - หมายถึง วัดค่าน้ำได้

**ตาราง 4.1.2 ผลการวิเคราะห์ ตัวอย่างน้ำในแม่น้ำป่าสัก**

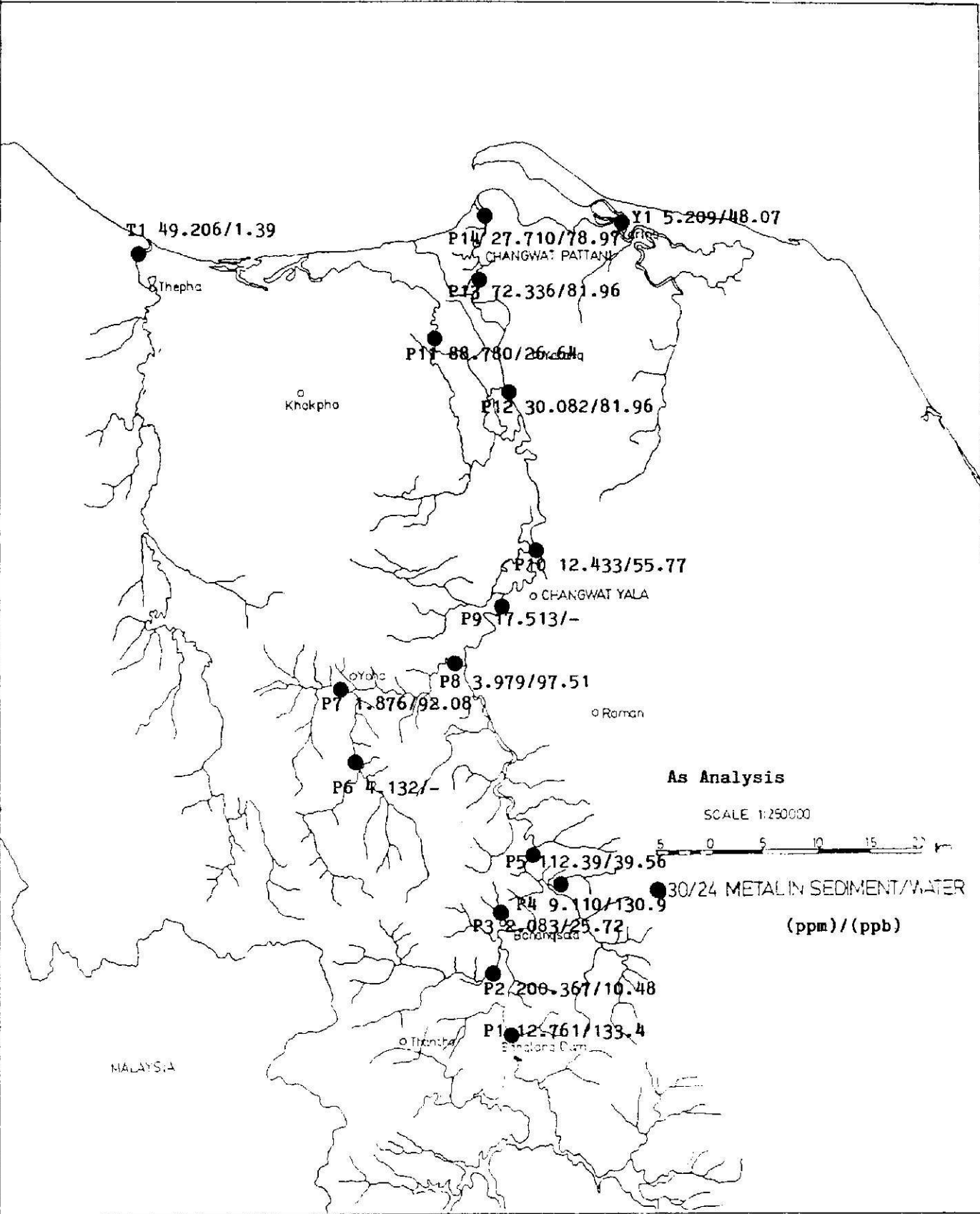
เก็บตัวอย่าง น้ำ ครั้งที่ 1 วันที่ 3-5 มีนาคม พ.ศ.2535

Sample	Inductively Coupled Plasma Spectrometry (ICP)								Standard Method		
	ppb.								ppm.		
	Pb	As	Cd	Cu	Zn	Fe	Mn	pH	$\text{SO}_4^{2-}$	$\text{Cl}^-$	$\text{HCO}_3^-$
P1	11.11	133.4	42.08	-	-	1615	78.84	6.4	3.63	-	10
P2	-	10.48	39.46	-	-	588.3	410.1	7.8	3.49	-	30
P3	-	25.72	40.48	-	-	533.8	205.4	7.0	4.08	-	32
P4	3.61	130.9	38.54	-	-	447.7	4.59	6.9	4.05	-	10
P5	3.82	39.56	39.71	-	-	572.9	29.96	7.0	3.58	-	10
P6	20.26	-	41.44	-	-	919.6	31.68	7.4	3.93	-	14
P7	-	92.08	38.38	-	-	1804	59.86	7.2	3.12	-	8
P8	-	97.51	42.44	-	-	973.6	60.36	7.0	3.46	-	12
P9	-	-	42.59	-	-	1414	129.0	7.3	3.78	-	10
P10	4.38	55.77	41.40	-	-	971.0	69.36	7.0	4.11	-	10
P11	0.25	26.64	40.55	-	-	697.6	40.70	7.2	2.07	-	10
P12	7.84	39.67	39.17	-	-	832.5	79.70	7.4	1.50	-	8
P13	-	81.96	38.33	-	-	697.4	42.08	7.4	2.10	20.23	11
P14	16.20	78.97	39.81	-	-	2992	168.1	7.1	0.59	13825	14
T1	9.67	1.39	41.69	-	-	244.1	-	7.8	6.84	8981	24
Y1	10.82	48.07	39.87	-	-	133.3	8.06	7.9	4.15	11057	18

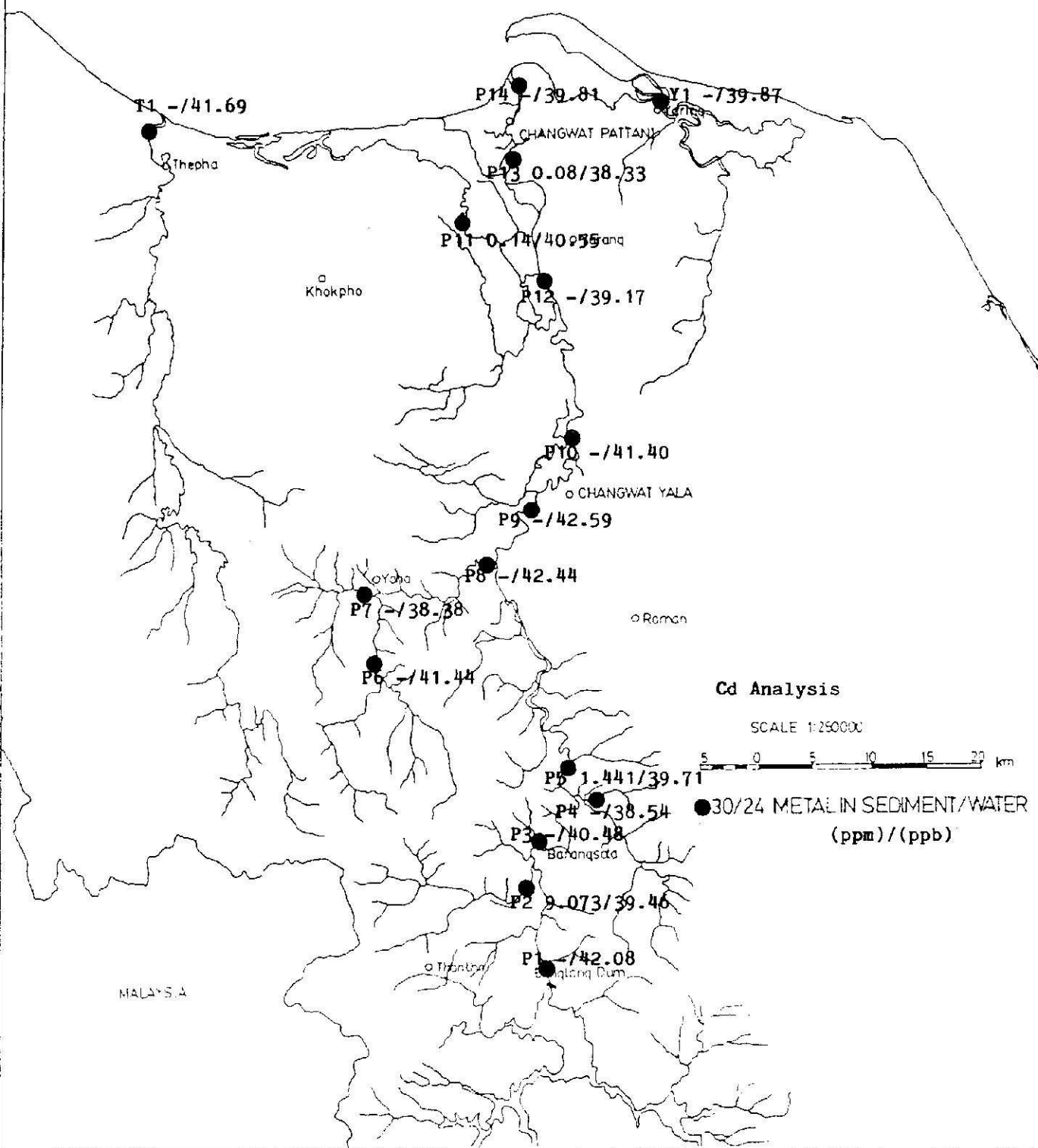
หมายเหตุ เกี่ยวกับหมาย - หมายถึง วัตถุน้ำได้



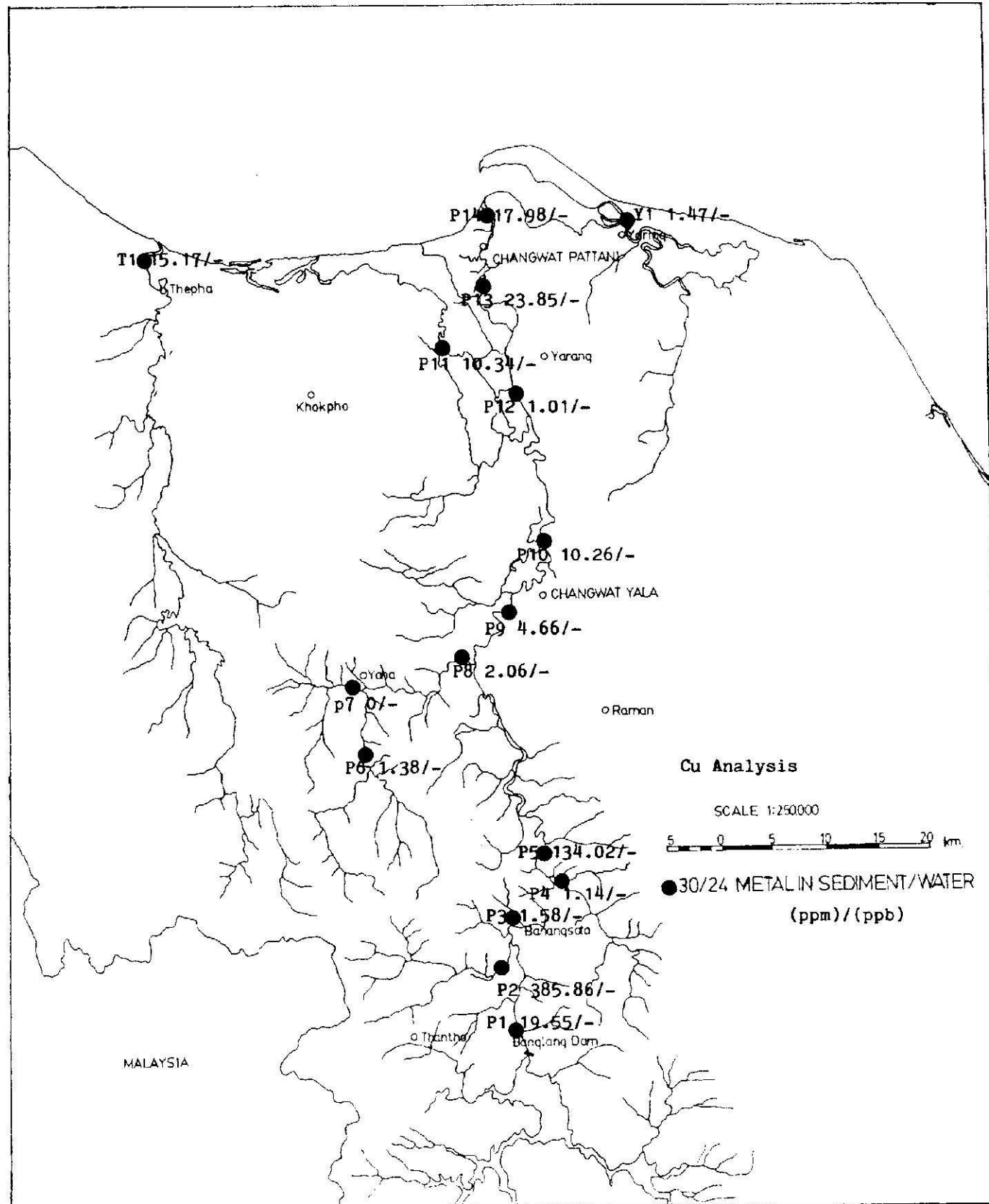
4.1.1 การແກ່ງກະຈາຍຂອງຄະກົວໃນຕະກອນຂາດນ້າ ແລະ ນໍ້າ



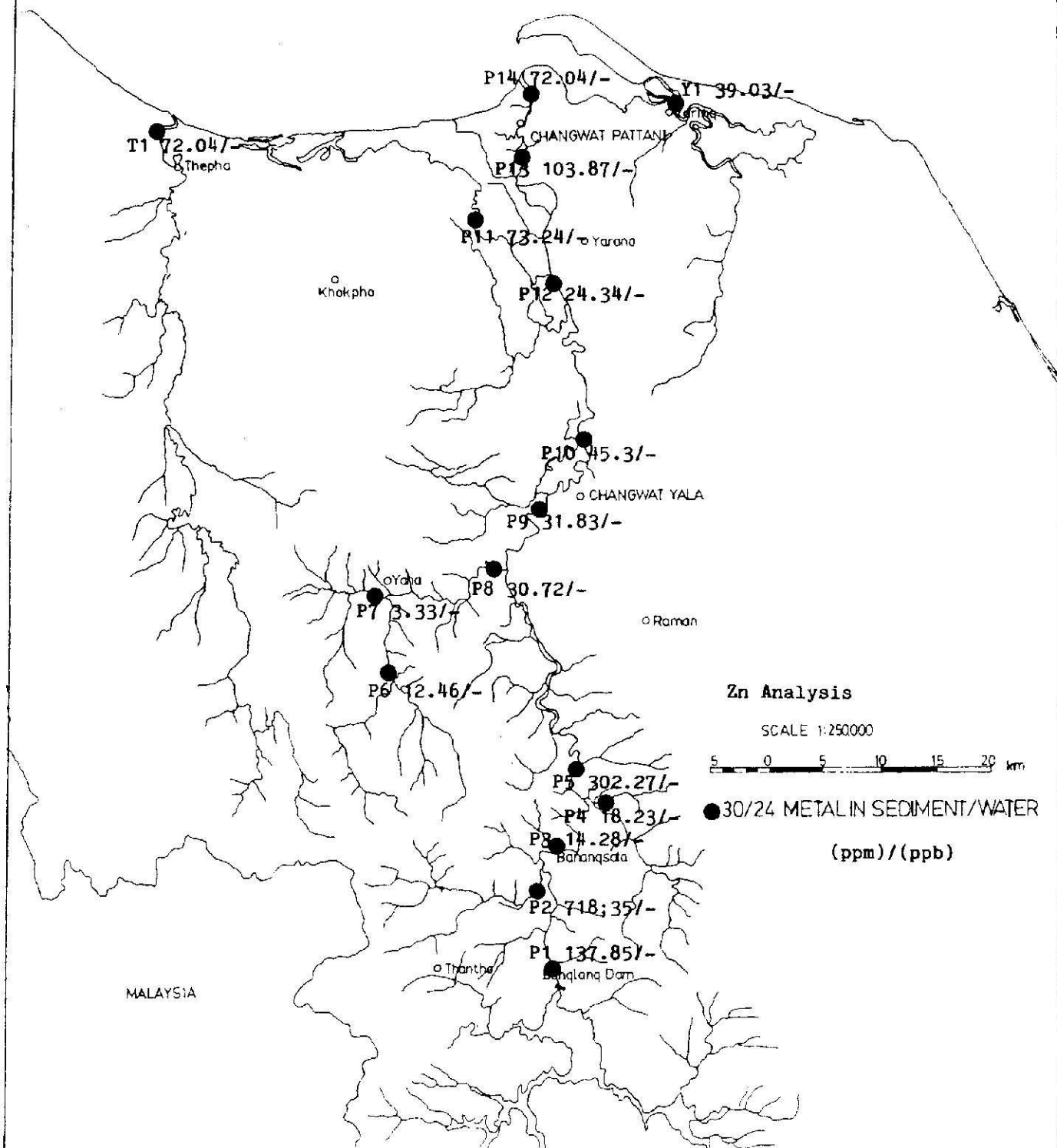
4.1.2 การแพร่กระจายของสารทรายในคลองน้ำ และน้ำ



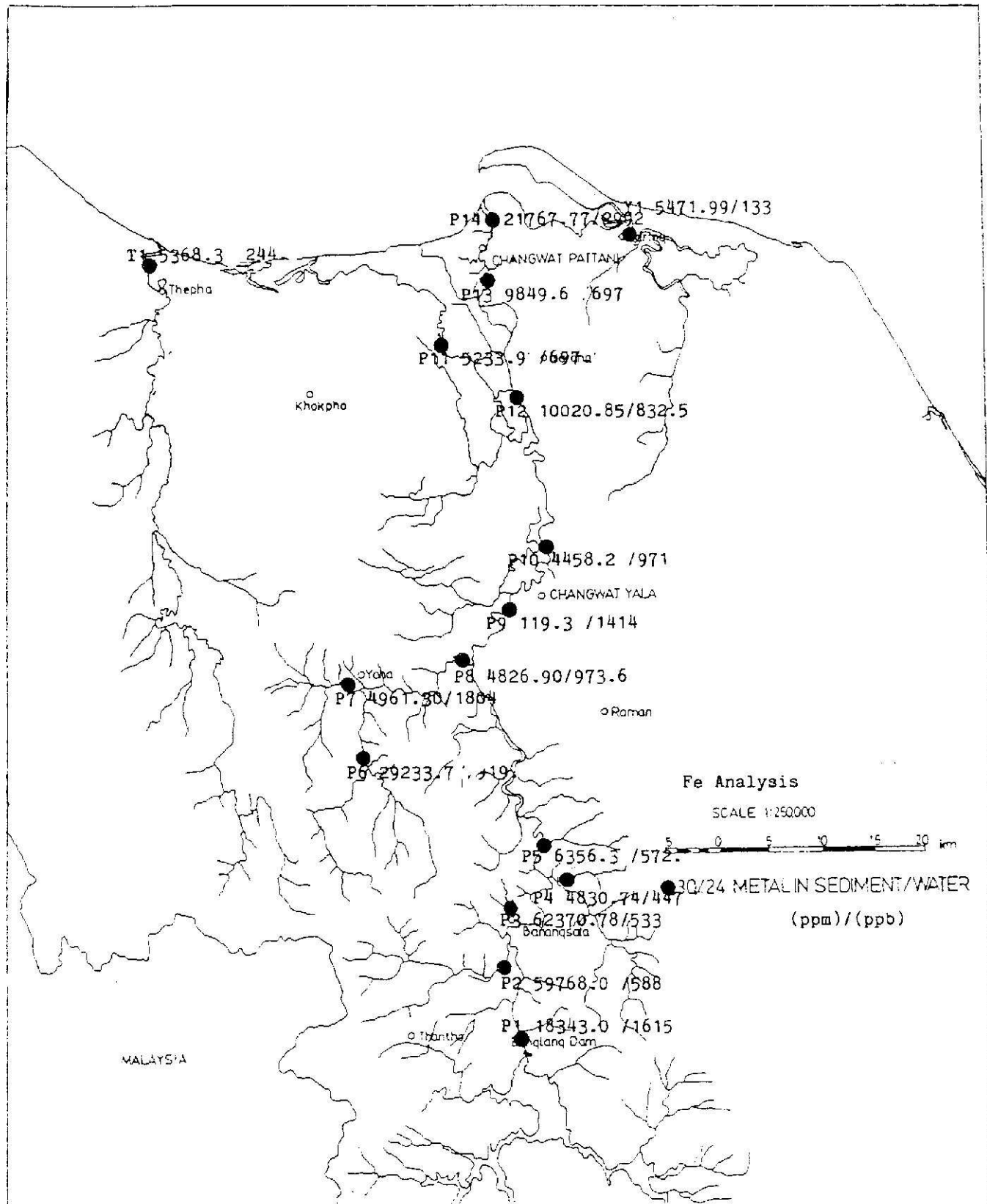
4.1.3 การแพร่กระจายของ cadmium ในตะกอนธารน้ำ และน้ำ



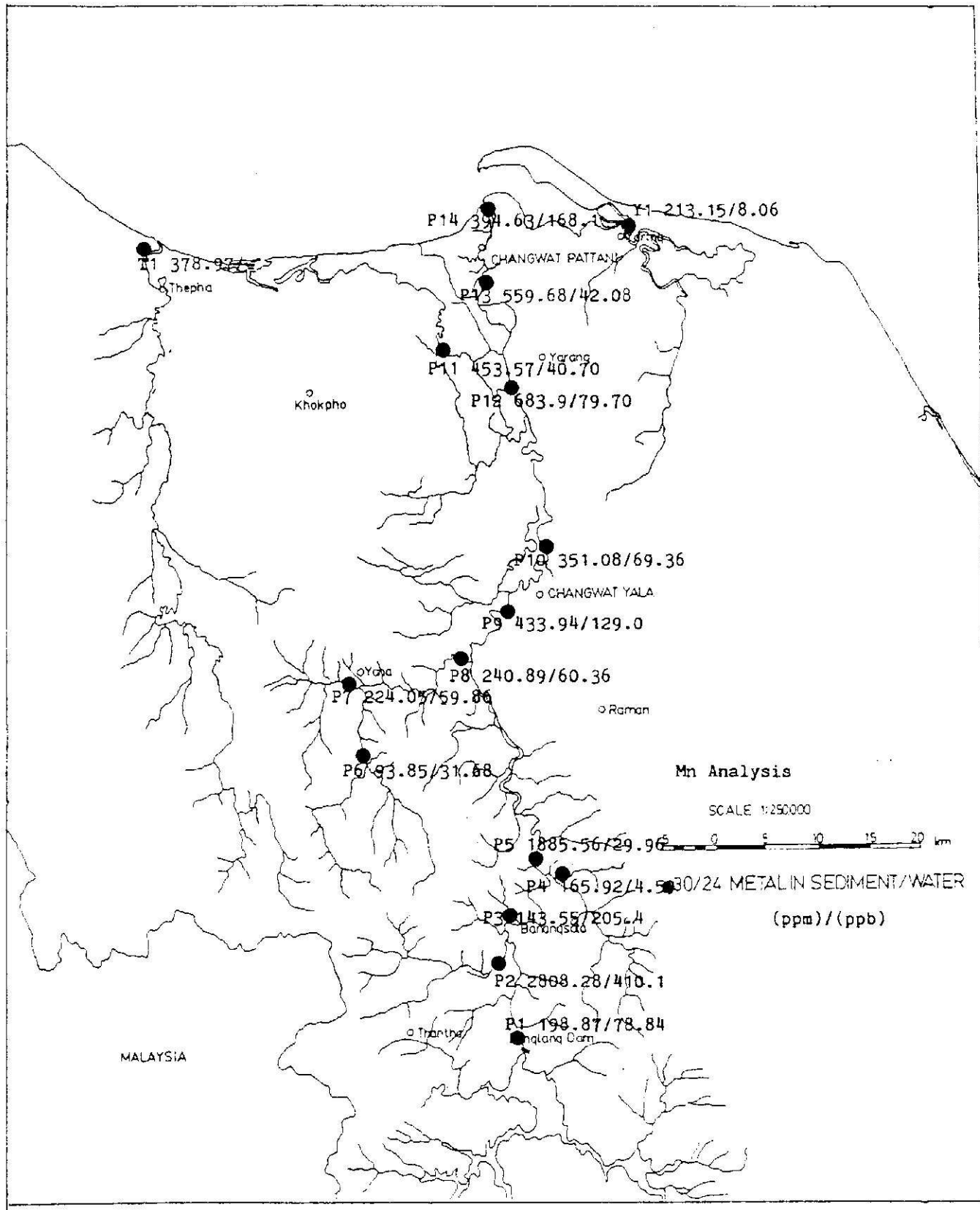
4.1.4 การเผยแพร่กระจายของทองคำในพื้นที่อนุรักษ์ฯ และน้ำ



4.1.5 การแพร่กระจายของสังกะสีในตะกอนธารน้ำ และน้ำ



รูปที่ 4.1.6 การแพร่กระจายของเหล็กในตะกอนธารน้ำ และน้ำ



รูปที่ 4.1.7 การแพร่กระจายของแมงกานีสในตะกอนธารน้ำ และน้ำ

ในช่วงกลาง ๆ ของแม่น้ำซึ่งความลักษณะสูงกระแทกน้ำไหลแรง ปริมาณไฮเดรนออกซิล และกลับไปมีมากขึ้นอีก เมื่อเข้าสู่บริเวณจังหวัดปัตตานี ซึ่งเป็นที่ราบความลาดชันน้อยลง ได้แก่ P11 , P13 , P14 ปริมาณคงที่จะลดลงเหลือประมาณ 100 ppm. แคดเมียมวิเคราะห์มีค่า ส่วนสารหมู่พิษเฉพาะบริเวณบ้านโรงอ่าง (P13) ปริมาณสังกะสีอยู่ในระดับ 70-100 ppm. ตินตะกอนบริเวณปากน้ำเทพา (T1) มีค่าก่อ 46 ppm. สารหมู่ 49 ppm. ในแม่น้ำปากแม่น้ำยะหริ่ง มีค่าก่อ 21 ppm. และสารหมู่ 5 ppm. และวัดค่าแคดเมียมมีค่า

ส่วนบริเวณใจ เขื่อนบางลาง ซึ่งเป็นบริเวณประศุระบายน้ำของเขื่อน (P1) มีค่าก่อ 62 ppm. และมีสารหมู่ 12.7 ppm.

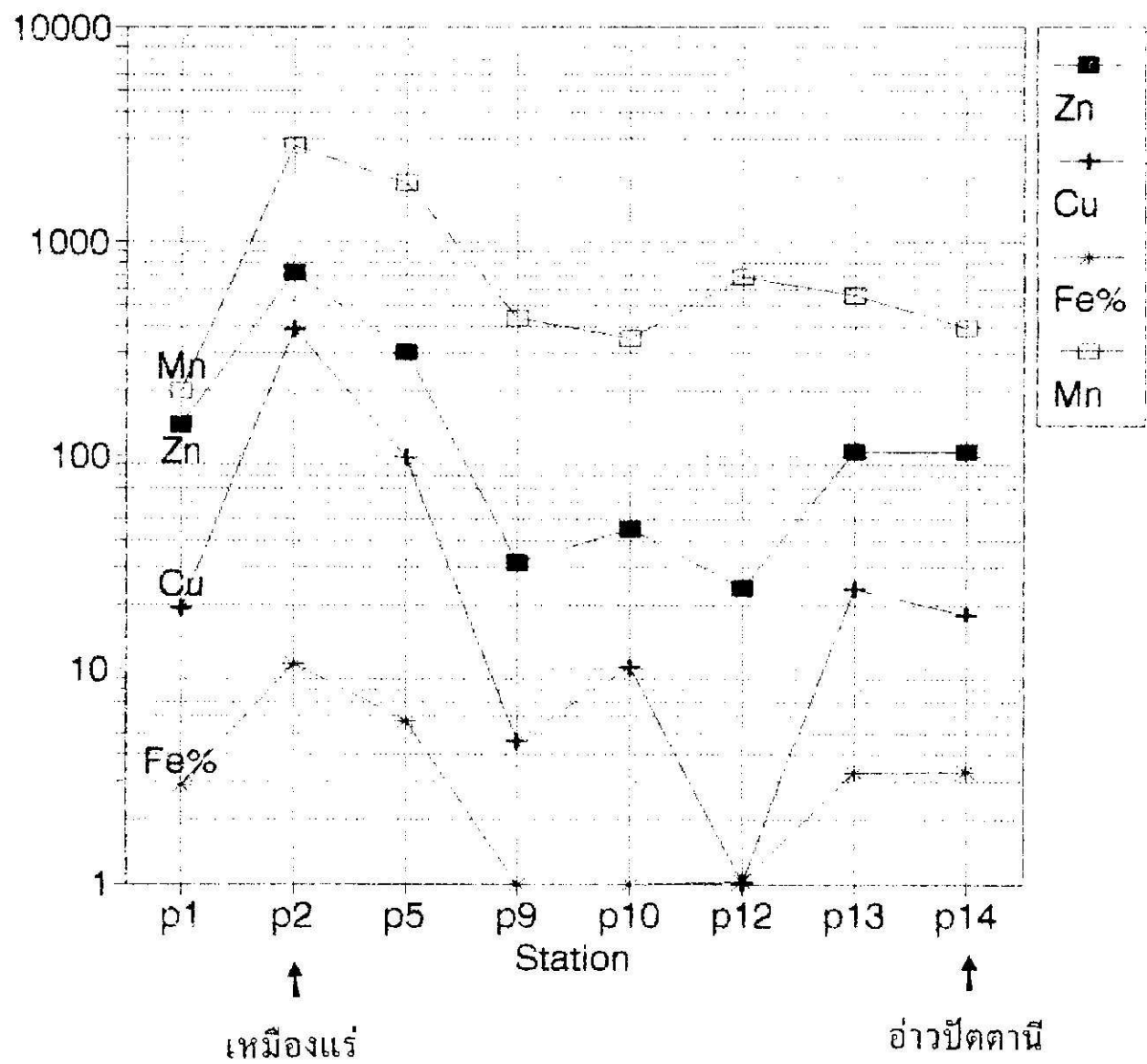
บริเวณ P3 , P4 , P6 , P7 , P8 เป็นที่ราบย่างที่เก็บน้ำสาธารณะที่ไหลลงสู่แม่น้ำปัตตานี และมีโลหะ Pb , As , Cd , Cu , Zn ต่อ (ดูตารางที่ 4.1.1)

#### 4.1.2 โลหะหนักในน้ำ

ถูกควบคุมด้วย pH และกอุ่ม Anions ได้แก่  $\text{SO}_4^{2-}$  ,  $\text{Cl}^-$  และ  $\text{HCO}_3^-$  ค่า pH ตลอดลำน้ำประมาณ 7 บริเวณแม่น้ำหนักในตินตะกอนสูง (P2 , P5) แคดเมียมค่าต่ำกว่าต้นมากจนเกือบจะต่ำไม่ได้ และสถานีอื่น ๆ ก็มีค่าต่ำกว่าต่ำกว่าค่ามาตรฐาน 50 ppb. ทั้งหมด ส่วนสถานีที่มีสารหมู่เกินค่ามาตรฐาน (50 ppb.) ได้แก่ บริเวณใจ เขื่อนบางลาง และบริเวณจังหวัดปัตตานีปริมาณสารหมู่ในแม่น้ำยะหริ่ง 48 ppb. ใกล้เคียงกับค่ามาตรฐานในขณะที่แคดเมียมมีค่าใกล้กันคือประมาณ 40 ppb. ปากแม่น้ำเทพามีปริมาณ Sulphate สูงที่สุด (6.84 ppm.) (ตารางที่ 4.1.2) แผนที่แสดงผลการวิเคราะห์ต่อไปนี้ แสดงไว้ในหน้าที่ 4.1.1-4.1.7

จากการวิเคราะห์ความสัมพันธ์ระหว่างไฮเดรนออกซิลและ Anions พบว่า สารหมู่ปริมาณกลับกับปริมาณค่าวันเดอร์บอร์เนต แคดเมียมปริมาณควรกับชั้นเพด และต่ำกว่าปริมาณกลับกับค่าวันเดอร์บอร์เนต และพ่อจะสรุปได้ว่าไฮเดรนออกซิลจะละลายได้ยากในน้ำที่มีค่าวันเดอร์บอร์เนตสูง (ดูรูปที่ 4.1.9-4.1.14)

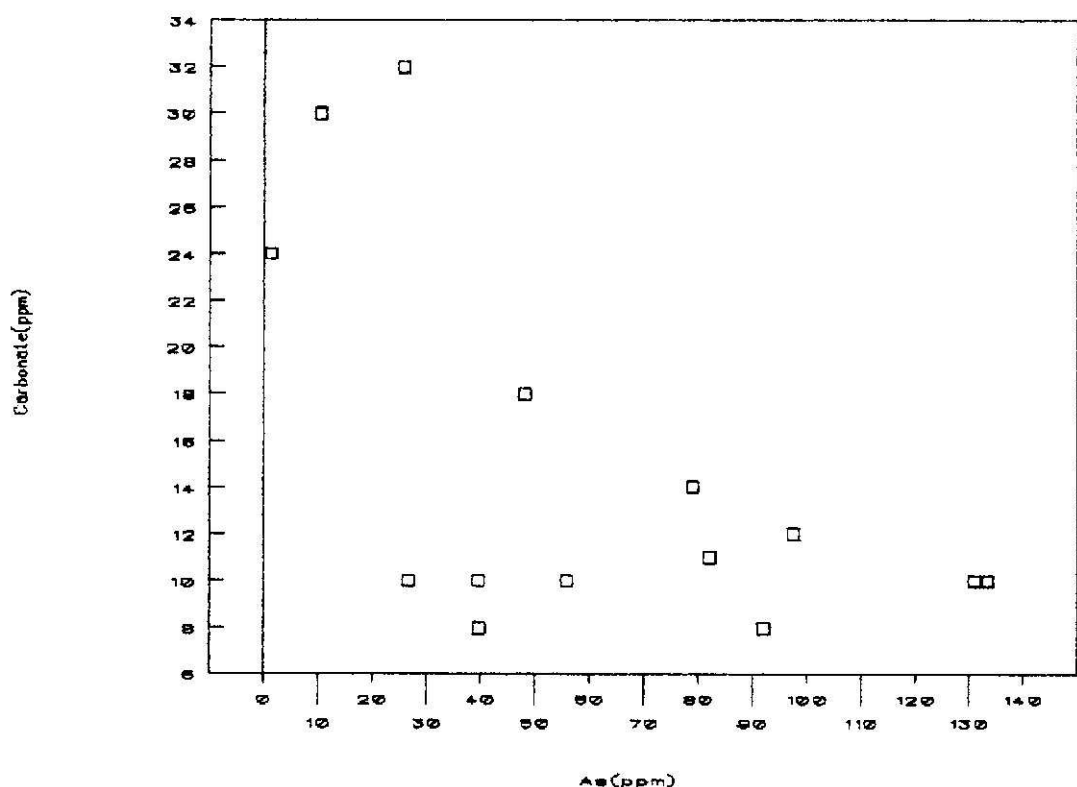
Metal concentration (mg/kg) semi-log



รูปที่ 4.1.8 ระดับตะกั่ว สารหมุน และแคลเซียม

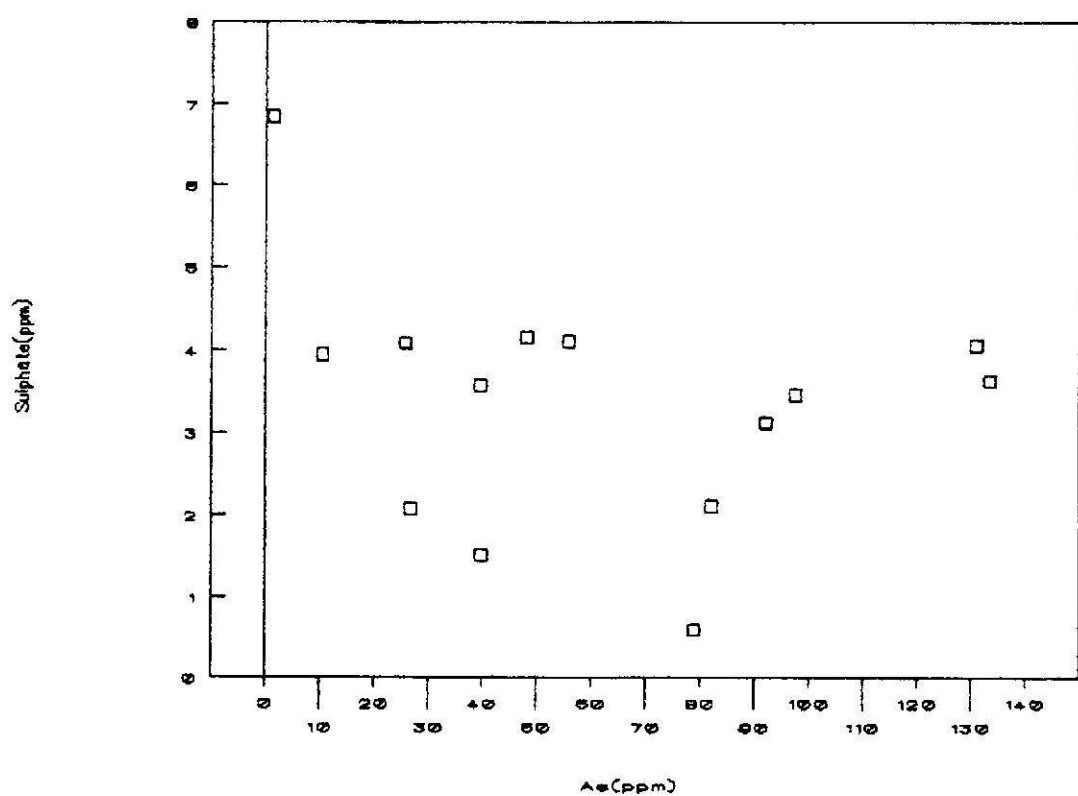
ในตะกอนธารน้ำจาก เมืองแร่

CORRELATION BETWEEN As AND CARBONATE



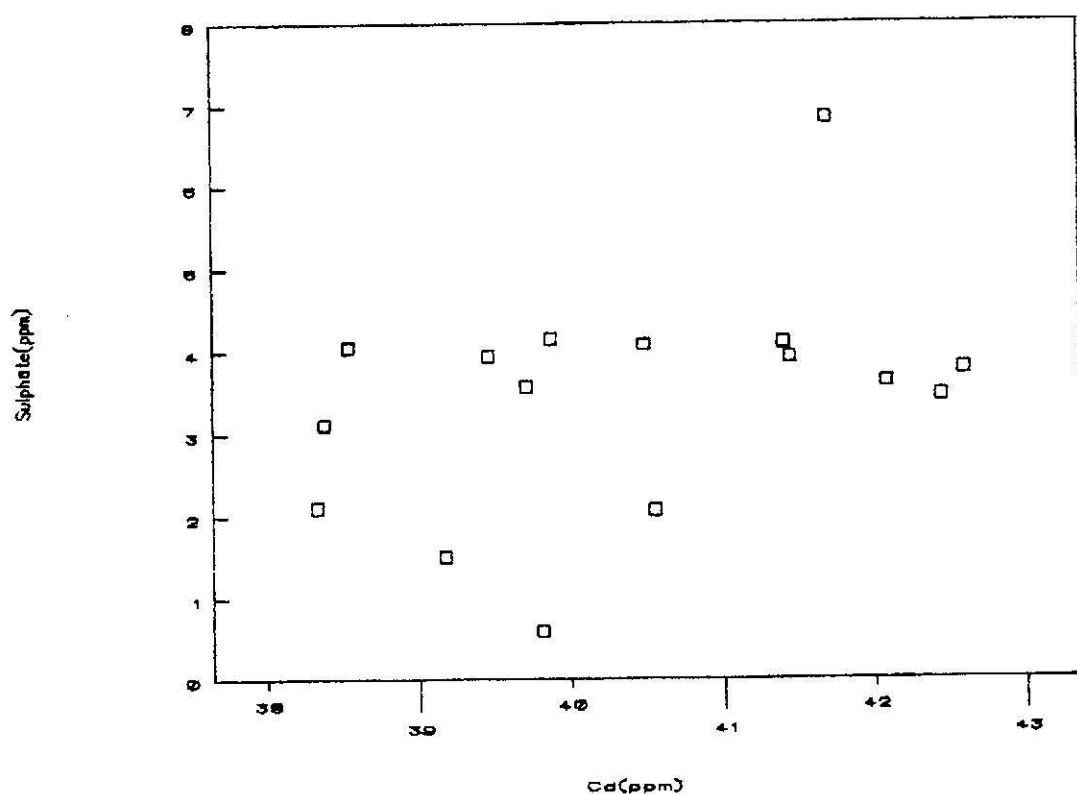
รูปที่ 4.1.9 ความสัมพันธ์ระหว่างสารน้ำกับการบ่อเนค

CORRELATION BETWEEN As AND SULPHATE



รูปที่ 4.1.10 ความสัมพันธ์ระหว่างสารหมู่บrixเล็ก

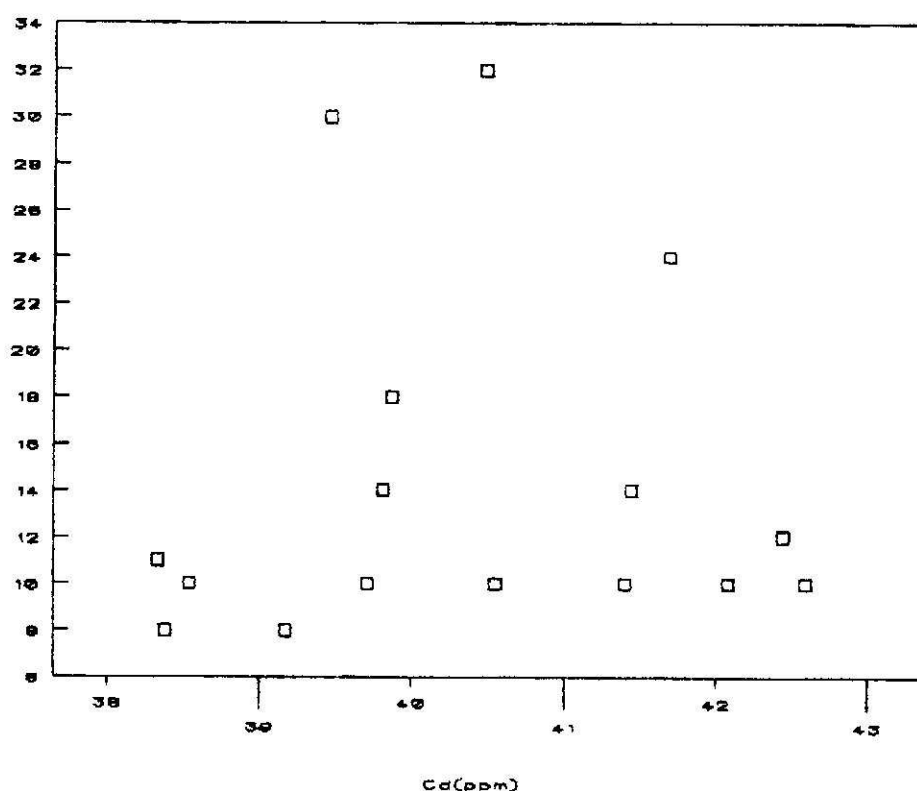
## CORRELATION BETWEEN Cd AND SULPHATE



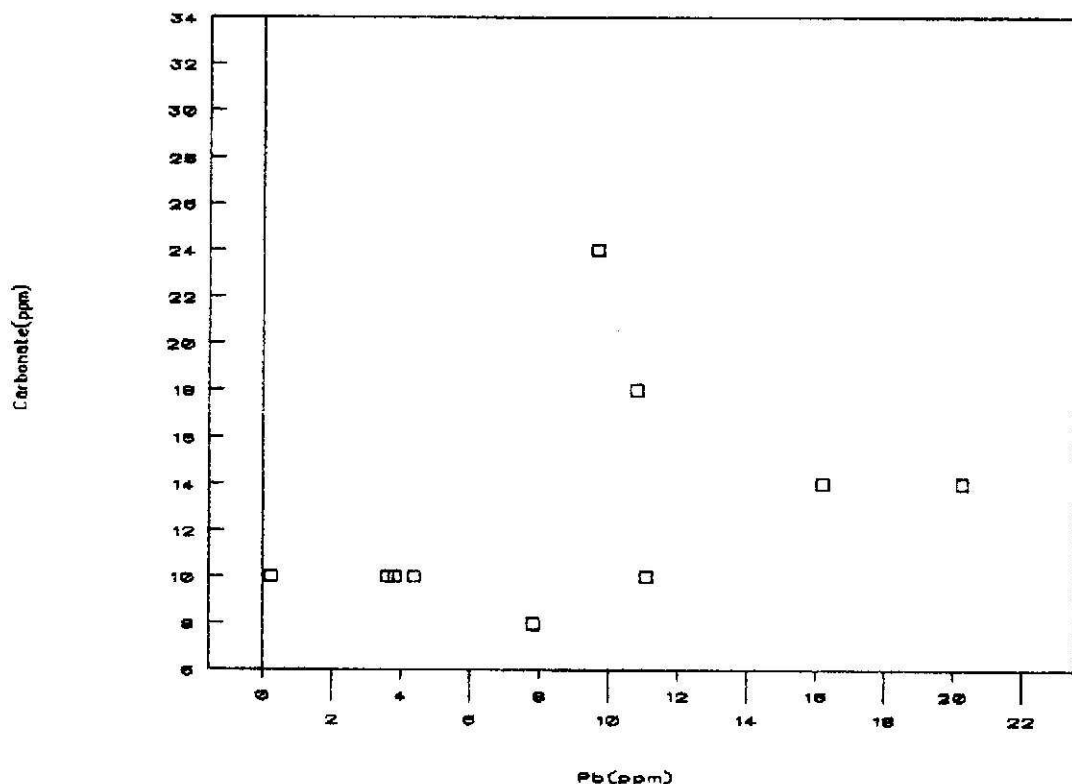
รูปที่ 4.1.11 ความสัมพันธ์ระหว่างแคน เมียมกับซัลไฟด์

## CORRELATION BETWEEN Cd AND CARBONATE

Carbonate(ppm)

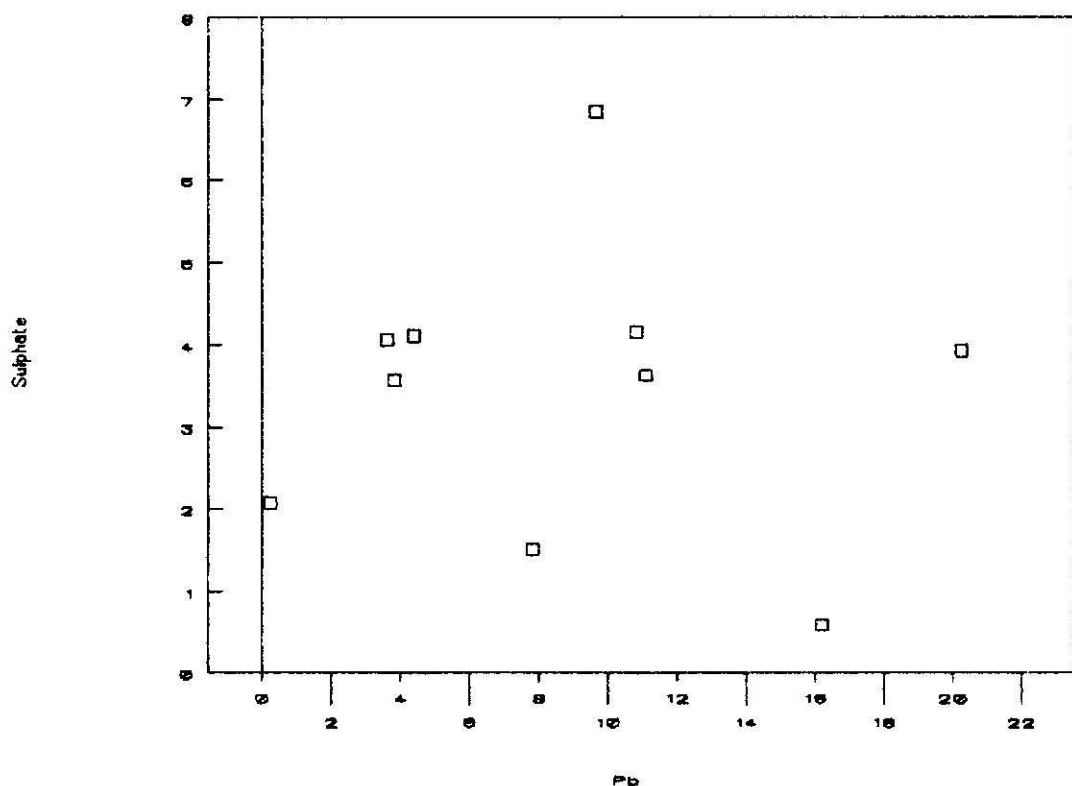


รูปที่ 4.1.12 ความสัมพันธ์ระหว่างแคลค เมียกับคาร์บอเนต

**CORRELATION BETWEEN Pb AND Carbonate**

รูปที่ 4.1.13 ความสัมพันธ์ระหว่างตะกั่วกับคาร์บอเนต

## CORRELATION BETWEEN LEAD AND SULPHATE



รูปที่ 4.1.14 ความสัมพันธ์ระหว่างตะกั่วกับซัลเฟต

#### 4.2 การศึกษาในชั้นรายละเอียด

ในการศึกษาชั้นรายละเอียด ได้ทำการเก็บตัวอย่างเพิ่มเติม จากกลุ่มของท่อระบายน้ำเสื่อม บริเวณของบ่อน้ำที่มีการก่อสร้างและก่อตัวอย่างเพิ่มเติมตามลักษณะน้ำปั๊บคลานีในบริเวณจังหวัดยะลา (ตารางที่ 4.2.1) โดยเก็บตัวอย่างในช่วง 28-30 กรกฎาคม 2535 ผลการวิเคราะห์แสดงไว้ในตารางที่ 4.2.2 พบว่า ปริมาณตะกั่ว สารหมู่ และแคลเซียม ในกองขยะต้นทรายจากการท่าเหมือง บริเวณริมฝั่งล่าharที่ไม่ผลลงสูงมากกว่า สารหมู่ และแคลเซียม มีปริมาณน้ำปั๊บคลานีสูงมาก มีตะกั่ว 0.25-1.5 % สารหมู่ 0.17-0.57 % แคลเซียม 6.4-33.6 ppm. และมีทองแดง กับสังกะสีสูงมาก ตะกอนในแม่น้ำปั๊บคลานี ที่เก็บเพิ่มเติมเป็นข้อมูลแสดงอย่างชัดเจน ถึงการแพร่กระจายของโลหะหนักจากการก่อสร้างและก่อตัวอย่างเหล่านี้ (รูปที่ 4.2.1 ถึง 4.2.7)

ปริมาณโลหะหนักในน้ำที่ก่อตัวอย่างสูงมาก จำกข้อมูลของ Anions เช่น  $\text{SO}_4^{2-}$  และ  $\text{HCO}_3^-$  ซึ่งแตกต่างจากการเก็บตัวอย่างในช่วงหน้าแล้งมาก ทำให้เชื่อว่า Seasonal Variation

ของโลหะหนักในน้ำจะมีมาก (ตารางที่ 4.2.3) การแพร่กระจายของโลหะหนัก แสดงไว้ในรูปที่ 4.2.1-4.2.7

#### 4.3 ผลการวิเคราะห์ตัวอย่างเดิน

ค่าคุณค่าจัยได้เก็บตัวอย่างดินตามการใช้ประโยชน์ที่ดิน โดยการเก็บดินในสวนยางบึงเวณที่น้ำล่าเราะ ของจังหวัดยะลา นาด้า สวนมะพร้าว และนาถุง เพื่อการศึกษาว่ามีโลหะหนักจากการเกษตรหรือไม่ และมีโลหะหนักในนาถุง บริเวณปากอ่าวในปริมาณเท่าไร (ตารางที่ 4.3.1)

#### ตารางที่ 4.2.1 ค่าอิสไบสกานที่เกินหัวอย่างครั้งที่ 2

- FP บริเวณคลองบินเยาะ บ้านคลองน้ำใส เป็นลักษณะที่มีจากหมู่เมืองบินเยาะ
- FP0 บริเวณคลองน้ำใส ห่างจากจุดเก็บ FP ประมาณ 2.5 กิโลเมตร
- FP1 เป็นหัวอย่างที่เก็บในคลองน้ำทุ่น บริเวณบ้านกาสิค
- FP2 เป็นหัวอย่างที่เก็บในคลองน้ำทุ่น บริเวณบ้านคลองน้ำทุ่น ห่างจากจุดเก็บ FP1 ประมาณ 4 กิโลเมตร
- FP3 เป็นหัวอย่างที่เก็บในคลองถ้ำกระแซง บริเวณบ้านถ้ำกระแซง เป็นลักษณะสายย้อยที่ไหลมารวมทั่วบ้านคลองน้ำทุ่น
- FP4 เป็นหัวอย่างที่เก็บในแม่น้ำปีตดาวนี บริเวณบ้านเยื้อร้าบัน อ่าເກອບັນນຶ່ງສຕາ
- FP5 เป็นหัวอย่างที่เก็บในแม่น้ำปีตดาวนี บริเวณบ้านຫານບ อ่าເກອບັນນຶ່ງສຕາ
- FP6 เป็นหัวอย่างที่เก็บในแม่น้ำปีตดาวนี บริเวณบ้านปูรุง อ่าເກອບັນນຶ່ງສຕາ
- FP7 เป็นหัวอย่างที่เก็บในล่าหาร บริเวณบ้านสีແຍກห้าสาบ อ่าເກອມເມືອງ ຈິງວັດຍະລາ ທີ່ໄລມາຮັມກັບແມ່ນ້ຳປັດຕານີ້ บริเวณบ้านห้าสาบ
- FP8 เป็นหัวอย่างที่เก็บในล่าหารสายເຕີຍກັນກີບຈຸດ FP7 ห่างออกไปประมาณ 5 กิโลเมตร บริเวณบ้านຄາສາ
- S1 เป็นหัวอย่างที่เก็บในล่าหาร ด้านໃຕ້ເມືອງແຮ່ງຕົກຕູ ທີ່ໄລມາຮັມພູ່ເມືອງ บริเวณบ้านດັ່ງທະຊຸ
- N1 เป็นหัวอย่างที่เก็บในล่าหาร ด้านເໜືອເມືອງແຮ່ງຕົກຕູ ห่างจากจุดเก็บ S1 ประมาณ 1 กิโลเมตร
- SS1 เป็นหัวอย่างที่เก็บบริเวณด้านໃຕ້ອອງກອງປຶ້ງ ກາຍໃນເມືອງແຮ່ງຕົກຕູ
- SN1 เป็นหัวอย่างที่เก็บบริเวณด้านເໜືອອອງກອງປຶ້ງ ກາຍໃນເມືອງແຮ່ງຕົກຕູ

**ตาราง 4.2.2 แสดงผลการวิเคราะห์ ตัวอย่างตะกอนห่าน้าในแม่น้ำภาคใต้ (ครั้งที่ 2)**

**โดยวิธี  $\text{HNO}_3/\text{HCl}$  Digestion**

เก็บตัวอย่าง ตะกอนห้องน้ำ ครั้งที่ 2 วันที่ 28-30 กุมภาพันธ์ พ.ศ.2535

Sample	$\text{HNO}_3/\text{HCl}$ Digestion/ppm.						
	Pb	As	Cd	Cu	Zn	Fe	Mn
FP	143.25	162.14	0.91	25.96	102.19	18451	3165
FP0	449.15	609.04	2.35	236.08	97.21	45951	3389
FP1	3416.62	2087.72	33.36	593.04	2654.58	88712	3760
FP2	3787.62	2429.43	43.97	674.20	2274.29	89080	3402
FP3	11.16	1.00	1.59	1.06	54.79	6773	289
FP4	2377.73	1062.58	3.74	213.87	633.66	75092	6272
FP5	883.46	446.89	1.16	83.16	248.95	28858	2637
FP6	167.45	110.73	0.21	26.28	88.80	15161	630
FP7	20.84	10.00	1.53	0.27	16.11	7914	170
FP8	15.82	4.00	0.75	2.65	13.79	3472	52
S1	7776.73	2697.92	8.20	462.09	924.53	67239	2008
N1	2474.51	1721.60	10.73	320.14	1343.35	43975	1145
SS1	34760.20	5835.19	6.41	928.26	1037.01	57423	14898
SN1	15336.90	5737.56	33.61	1755.07	3847.93	91656	1774

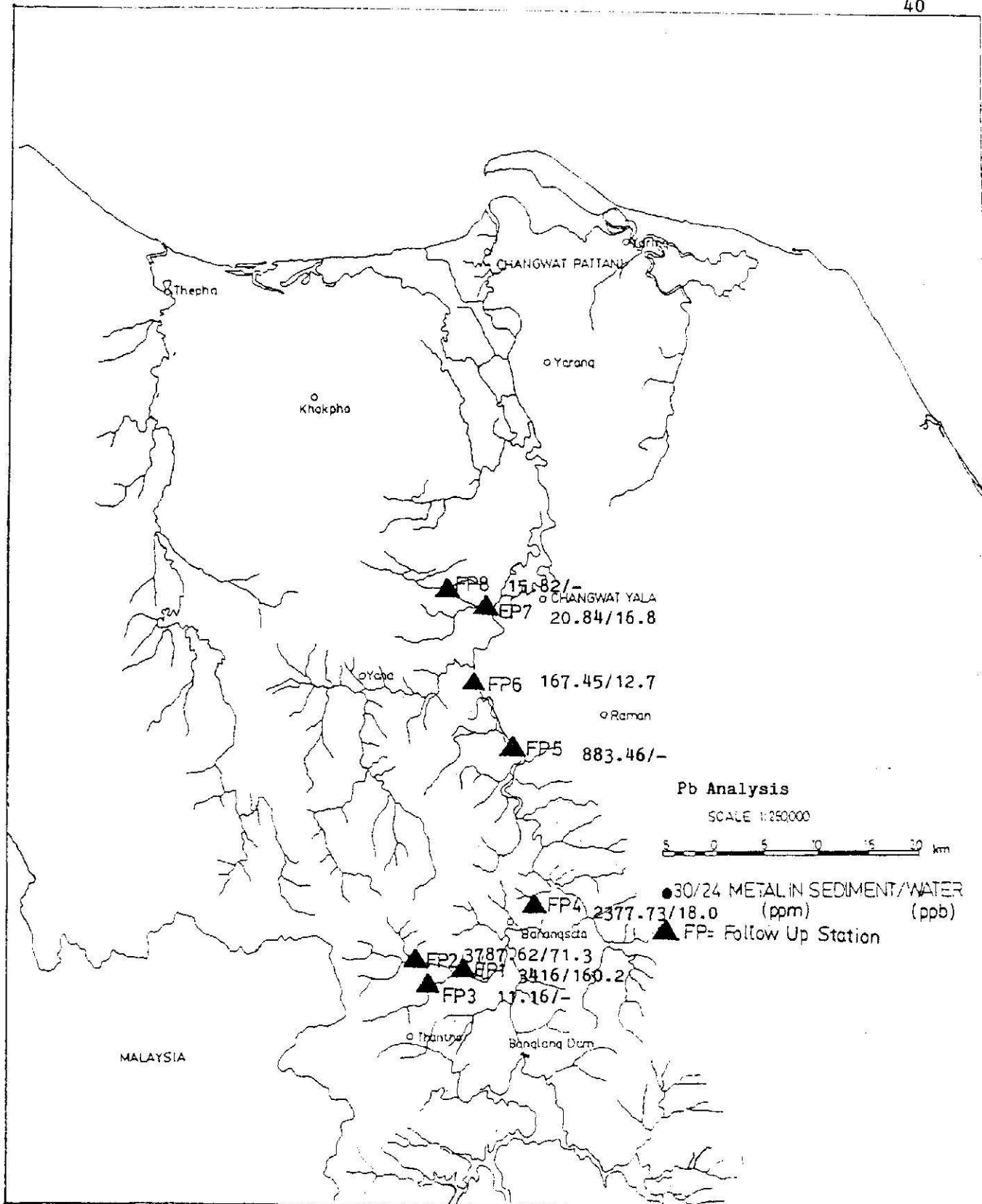
หมายเหตุ เครื่องหมาย - หมายถึง ไม่คำนวณ

**ตาราง 4.2.3 แสดงผลการวิเคราะห์ ตัวอย่างน้ำในแม่น้ำป่าสัก**

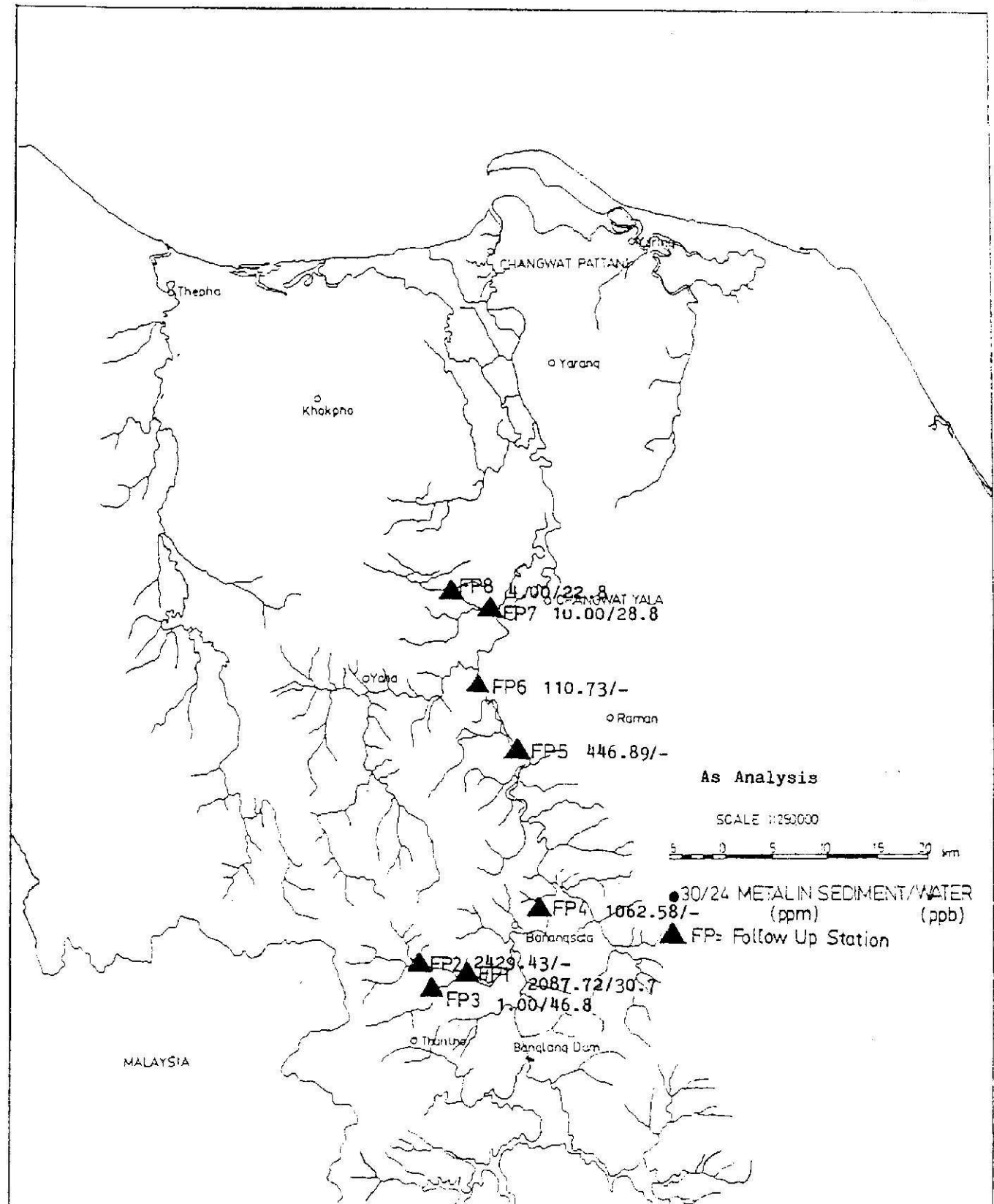
เก็บตัวอย่าง น้ำ ครั้งที่ 2 วันที่ 28-30 กุมภาพันธ์ พ.ศ.2535

Sample	Inductively Coupled Plasma Spectrometry (ICP)								Standard Method		
	ppb.								ppm.		
	Pb	As	Cd	Cu	Zn	Fe	Mn	pH	$\text{SO}_4^{2-}$	$\text{Cl}^-$	$\text{HCO}_3^-$
FP	8.4	5.2	-	1.0	-	23.1	41.5	6.5	17.6	-	44
FP0	51.7	36.6	-	15.1	14.4	874.4	312.8	6.7	18.5	-	24
FP1	160.2	30.7	0.12	22.4	169.7	1773	712.3	7.1	16.0	-	16
FP2	71.3	-	0.06	20.3	190.2	1496	737.1	6.9	20.5	-	16
FP3	-	46.8	1.01	1.6	-	264.1	33.7	7.9	16.7	-	20
FP4	18.0	-	-	6.2	18.1	1035	182.8	7.3	19.7	-	14
FP5	-	-	-	2.2	-	783.7	85.6	7.2	17.3	-	10
FP6	12.7	-	-	4.2	-	999.6	105.1	7.1	18.2	-	10
FP7	16.8	28.2	-	3.0	-	2798	60.1	7.3	18.3	-	8
FP8	-	22.8	2.41	3.0	-	2044	60.1	7.2	19.5	-	8
S1	74.0	82.6	1.30	19.8	382.4	1435	1135	6.8	19.5	-	28
N1	106.5	144.4	4.85	17.8	440.2	1436	827.3	6.8	22.2	-	24

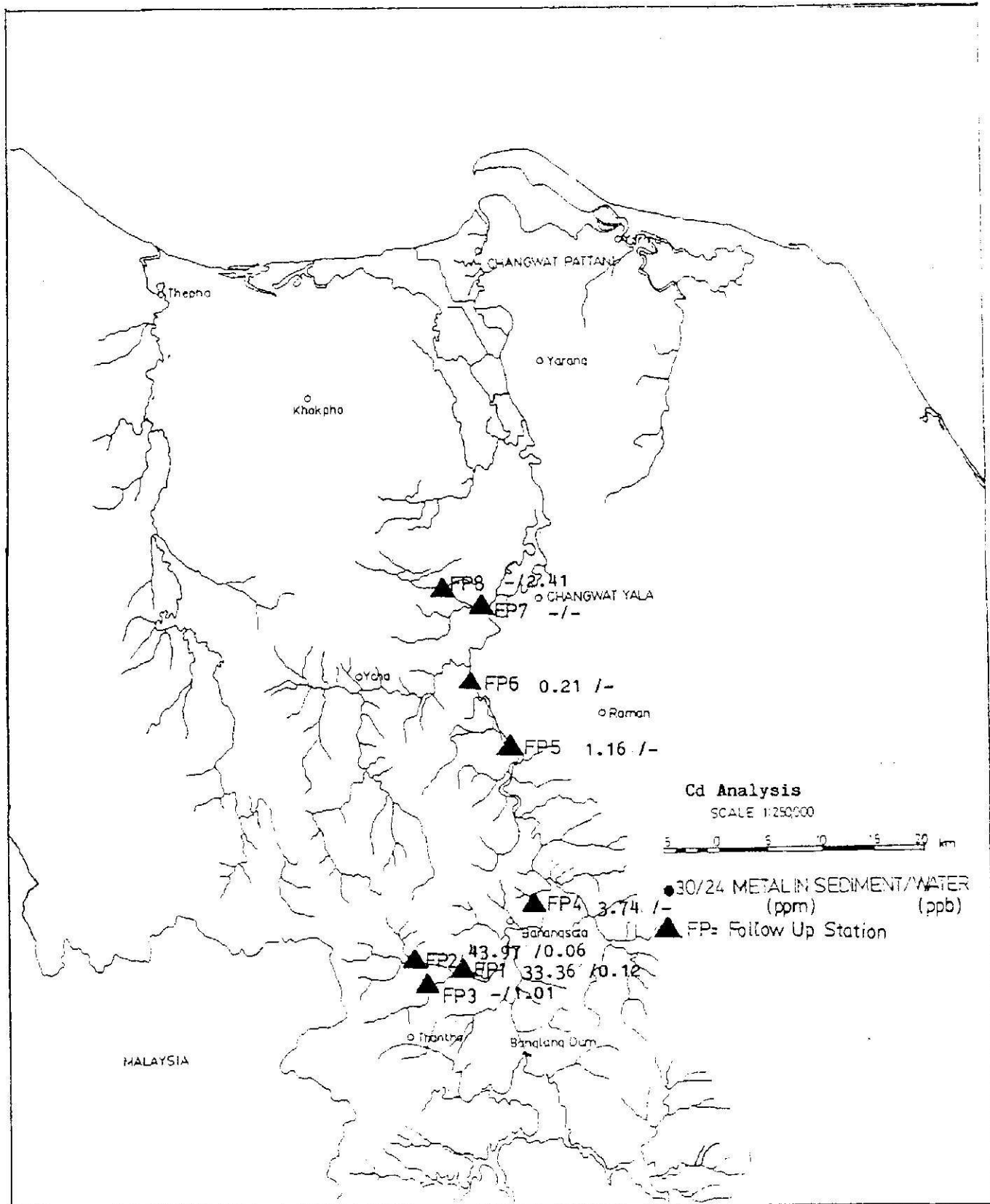
หมายเหตุ เครื่องหมาย - หมายถึง วัดค่านี้ได้



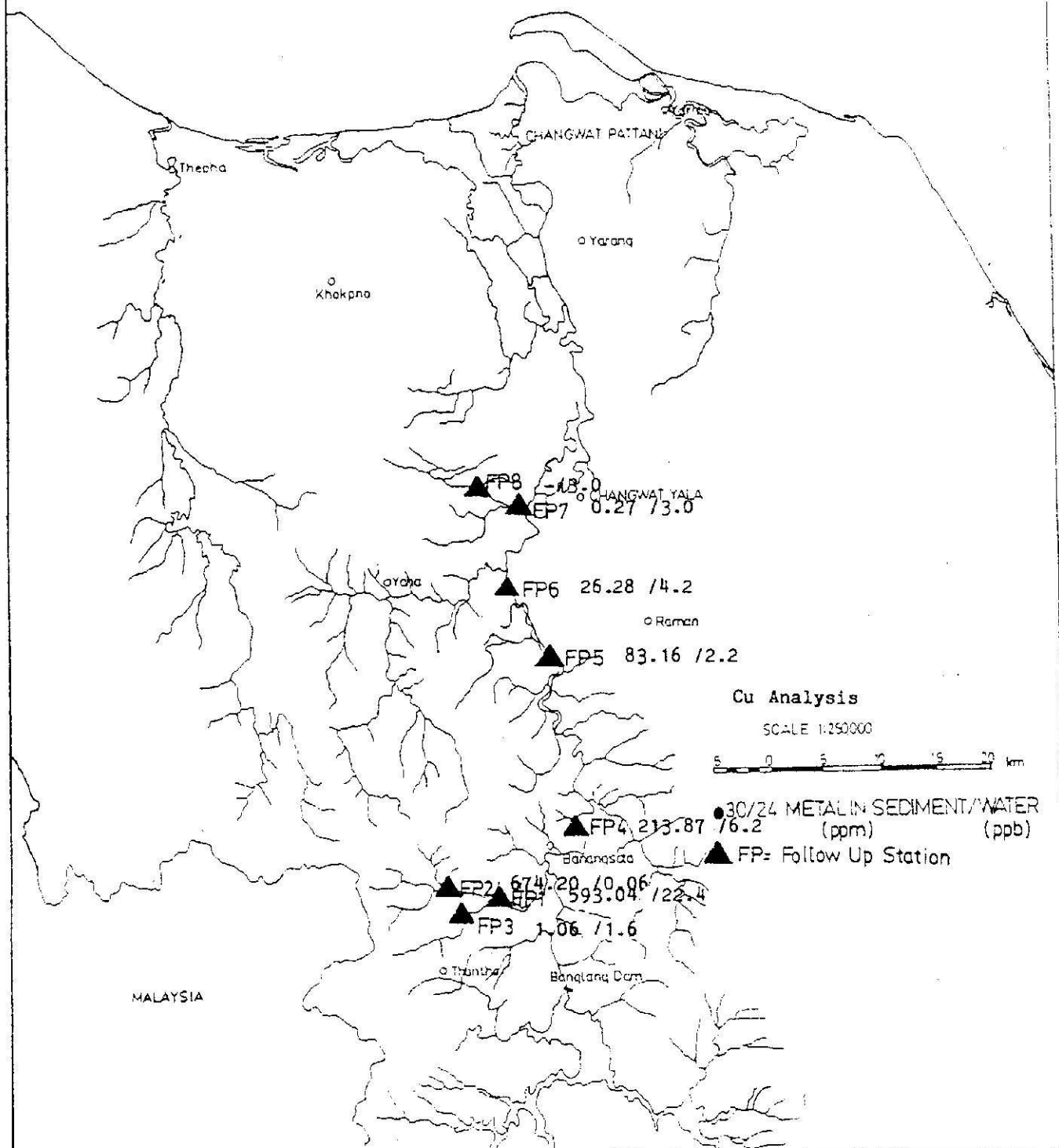
รูปที่ 4.2.1 การแพร่กระจายของตะกั่วในตระกอนธารน้ำ และน้ำ



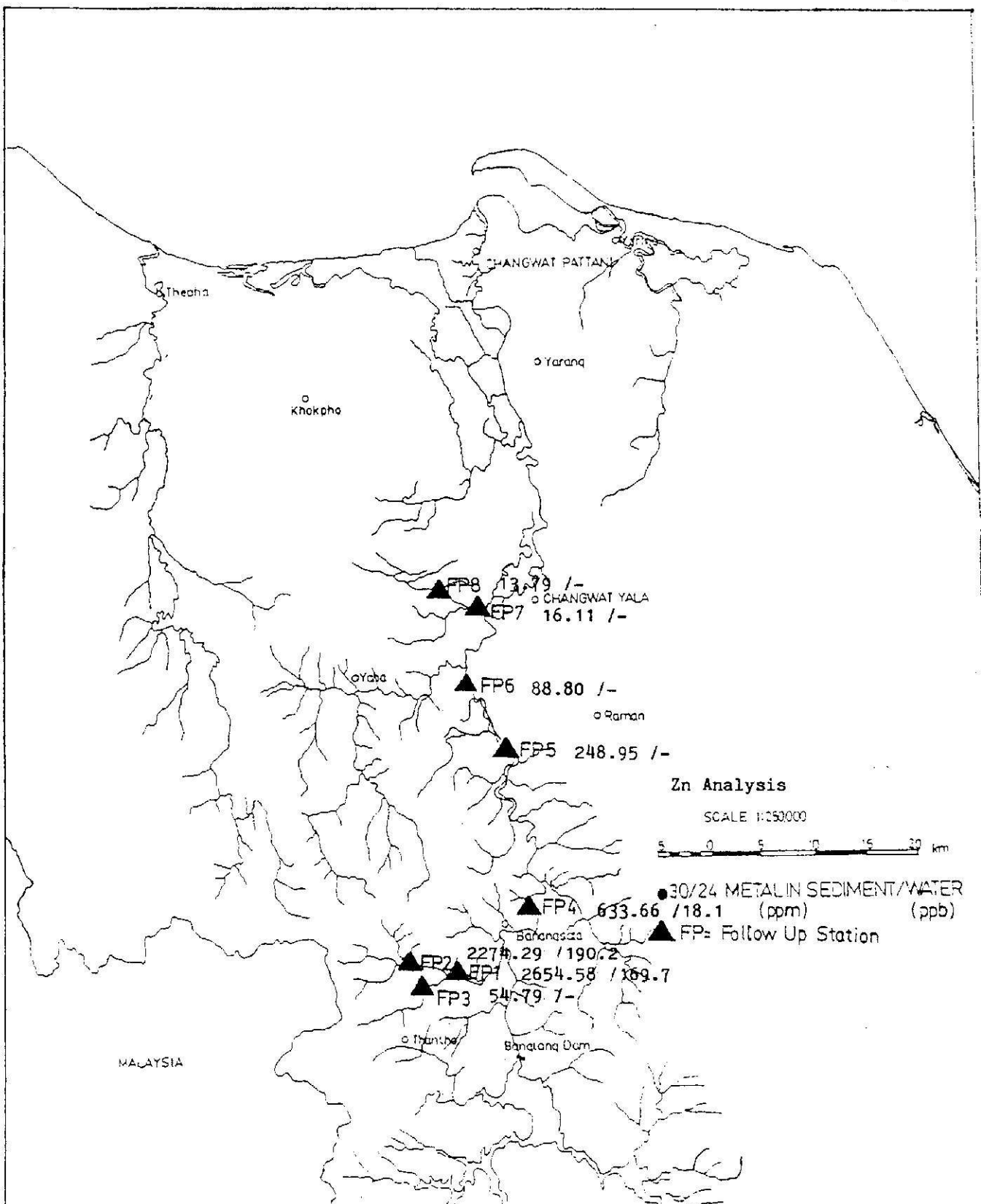
รูปที่ 4.2.2 การแพร่กระจายของสารหนูในตะกอนธารน้ำ และน้ำ



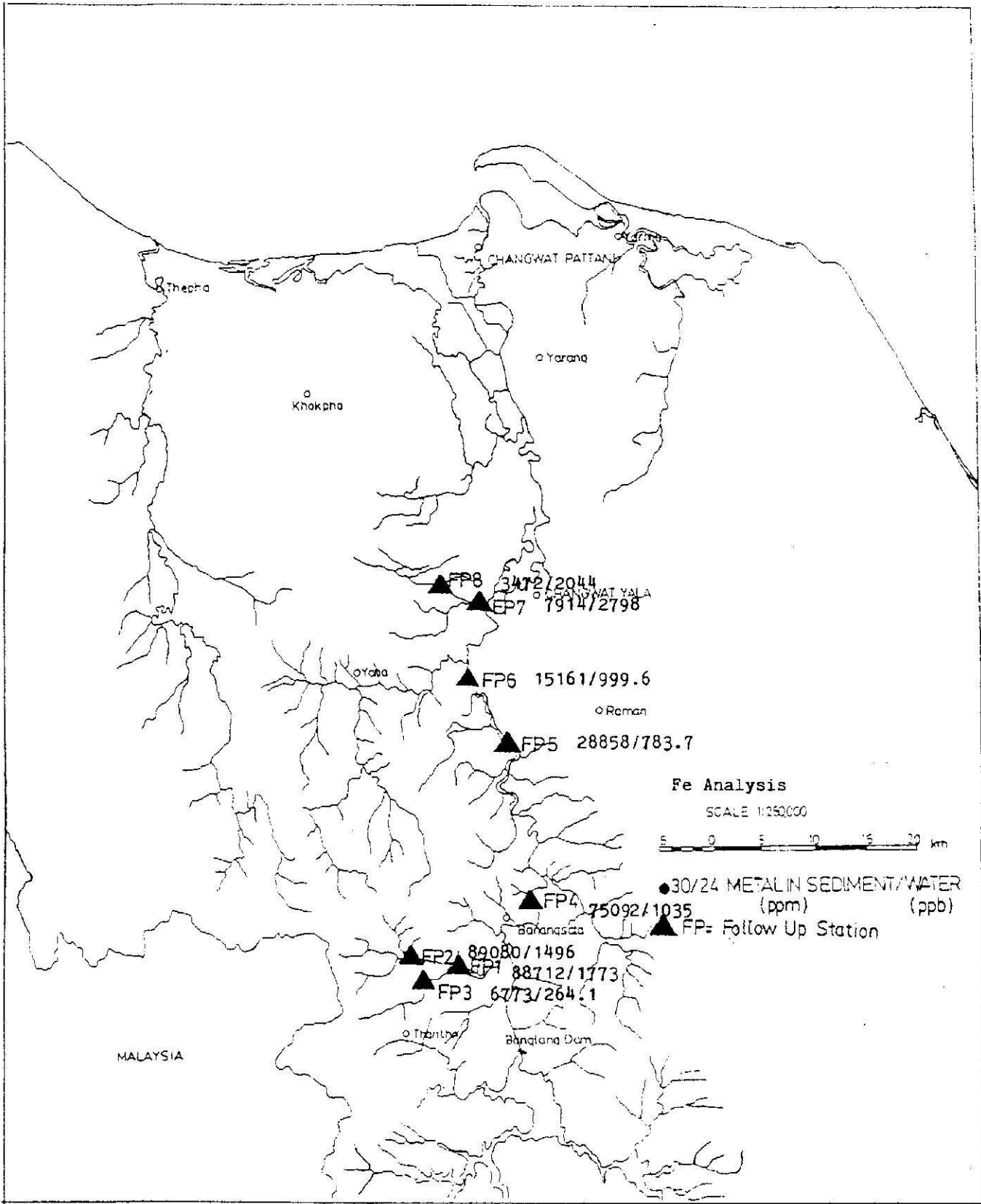
รูปที่ 4.2.3 การแพร่กระจายของ cadmium ในตะกอนหัวน้ำ และน้ำ



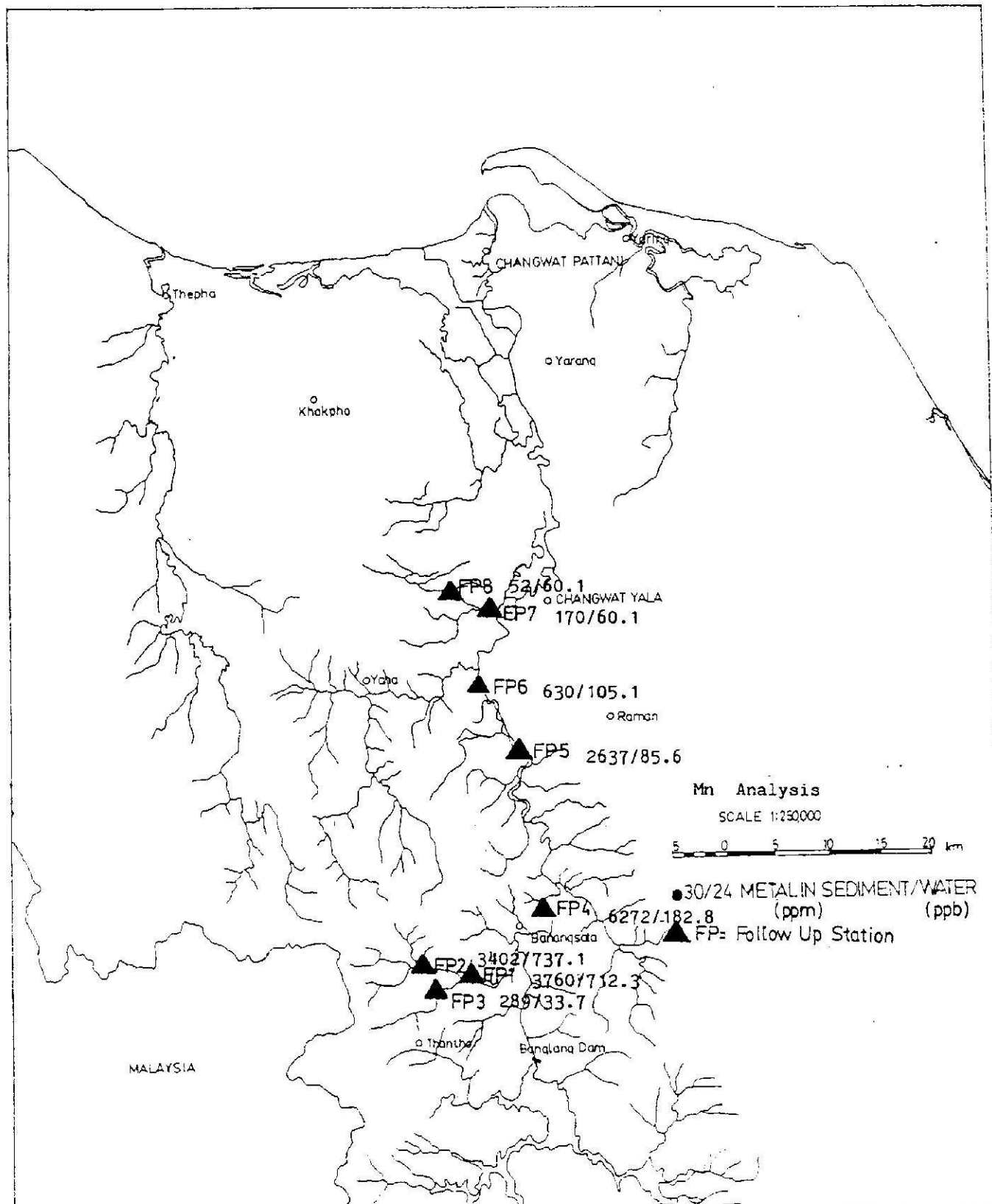
รูปที่ 4.2.4 การแพร่กระจายของทองแดงในตะกอนธารน้ำ และน้ำ



รูปที่ 4.2.5 การแพร่กระจายของสังกะสีในตะกอนธารน้ำ และน้ำ



รูปที่ 4.2.6 การแพร่กระจายของเหล็กในตะกอนชารน้ำ และน้ำ



รูปที่ 4.2.7 การแพร่กระจายของเมกานีสในตะกอนธารน้ำ และน้ำ

#### ตารางที่ 4.3.1 ค่าอัตราเบย์สถานที่เป็นตัวอย่างศึกษา

- S1 เป็นตัวอย่างศึกษาในบ้านก้าวพอด จังหวัดยะลา
- S2 เป็นตัวอย่างศึกษาในบ้านปือซู จังหวัดยะลา
- S3 เป็นตัวอย่างศึกษาในบ้านสูบะบะ จังหวัดยะลา
- S4 เป็นตัวอย่างศึกษาในบ้านท่านบี จังหวัดยะลา
- S5 เป็นตัวอย่างศึกษาในบ้านปุรง จังหวัดยะลา
- S6 เป็นตัวอย่างศึกษาในบ้านเขามูน จังหวัดยะลา
- S7 เป็นตัวอย่างศึกษาในบ้านรือแซะ จังหวัดยะลา
- S8 เป็นตัวอย่างศึกษาในบ้านนาดา จังหวัดยะลา
- S9 เป็นตัวอย่างศึกษาในบ้านทันหยง จังหวัดปัตตานี
- S10 เป็นตัวอย่างศึกษาในบ้านภารรัว จังหวัดปัตตานี
- S11 เป็นตัวอย่างศึกษาในบ้านกุ้ง จังหวัดปัตตานี
- S12 เป็นตัวอย่างศึกษาในบ้านกุ้ง จังหวัดปัตตานี

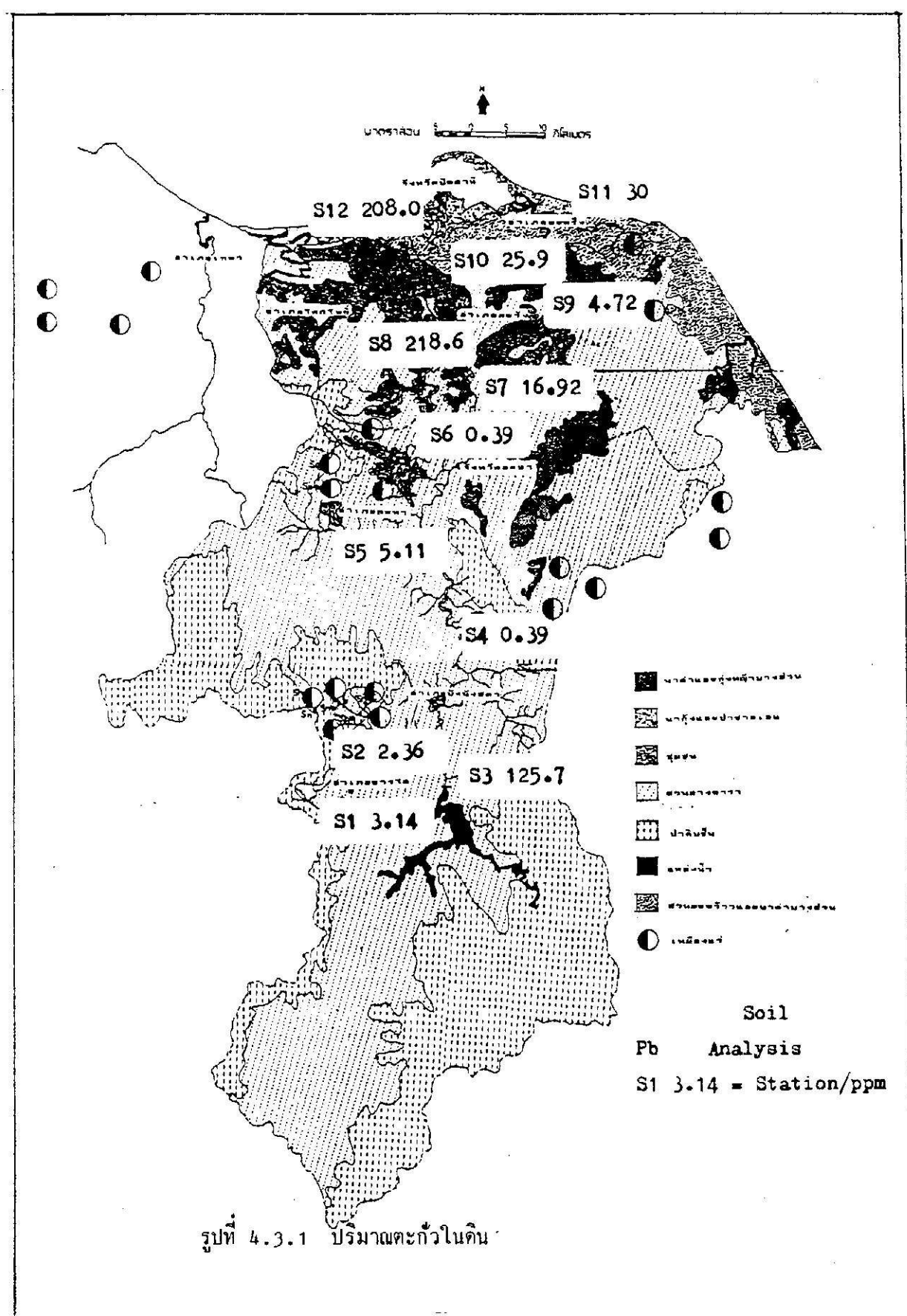
**ตาราง 4.3.2 แสดงผลการวิเคราะห์ ตัวอย่างศิน ในบริเวณจังหวัด ปัตตานี-ยะลา**

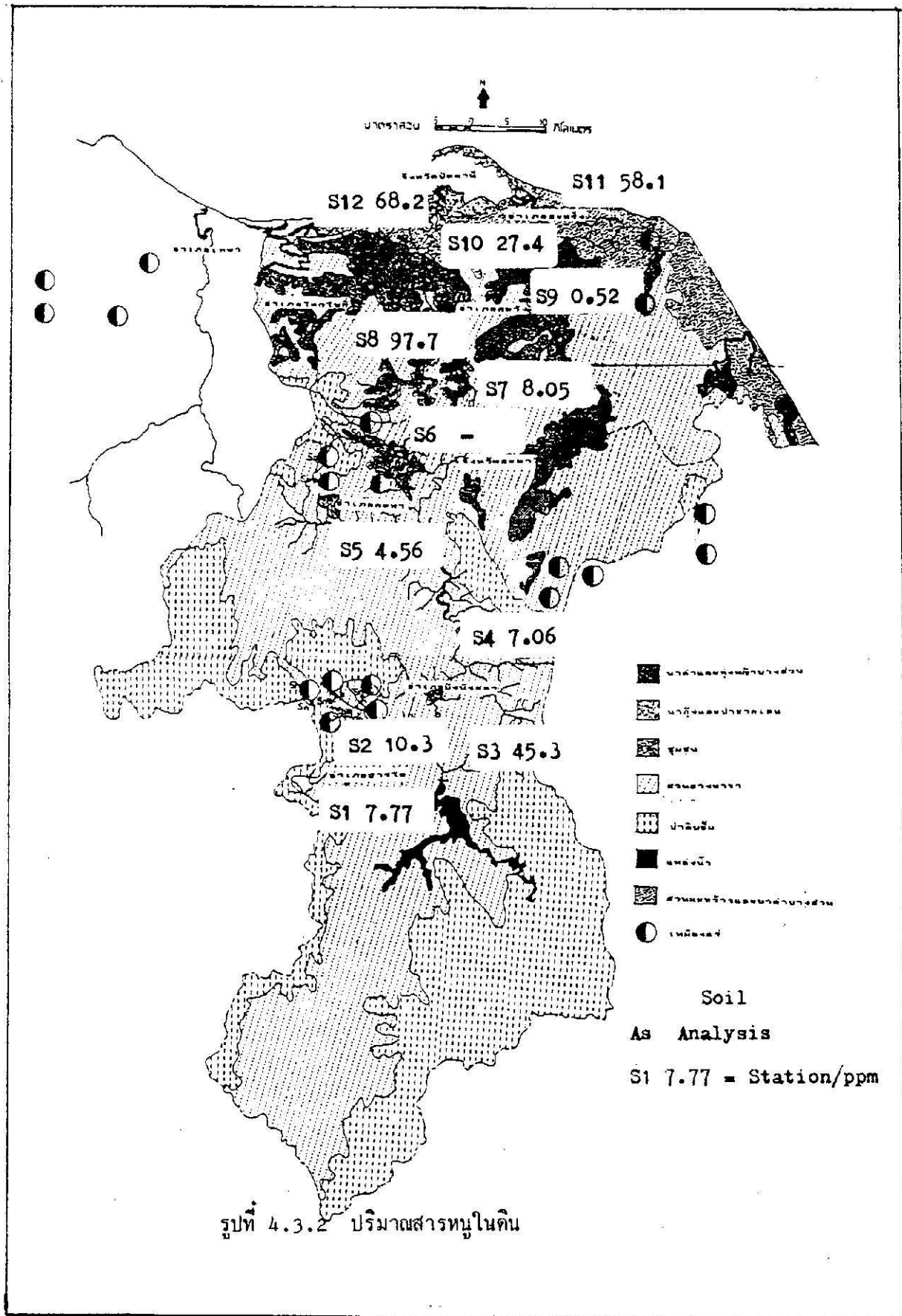
**โดยวิธี HNO<sub>3</sub>/HCl Digestion**

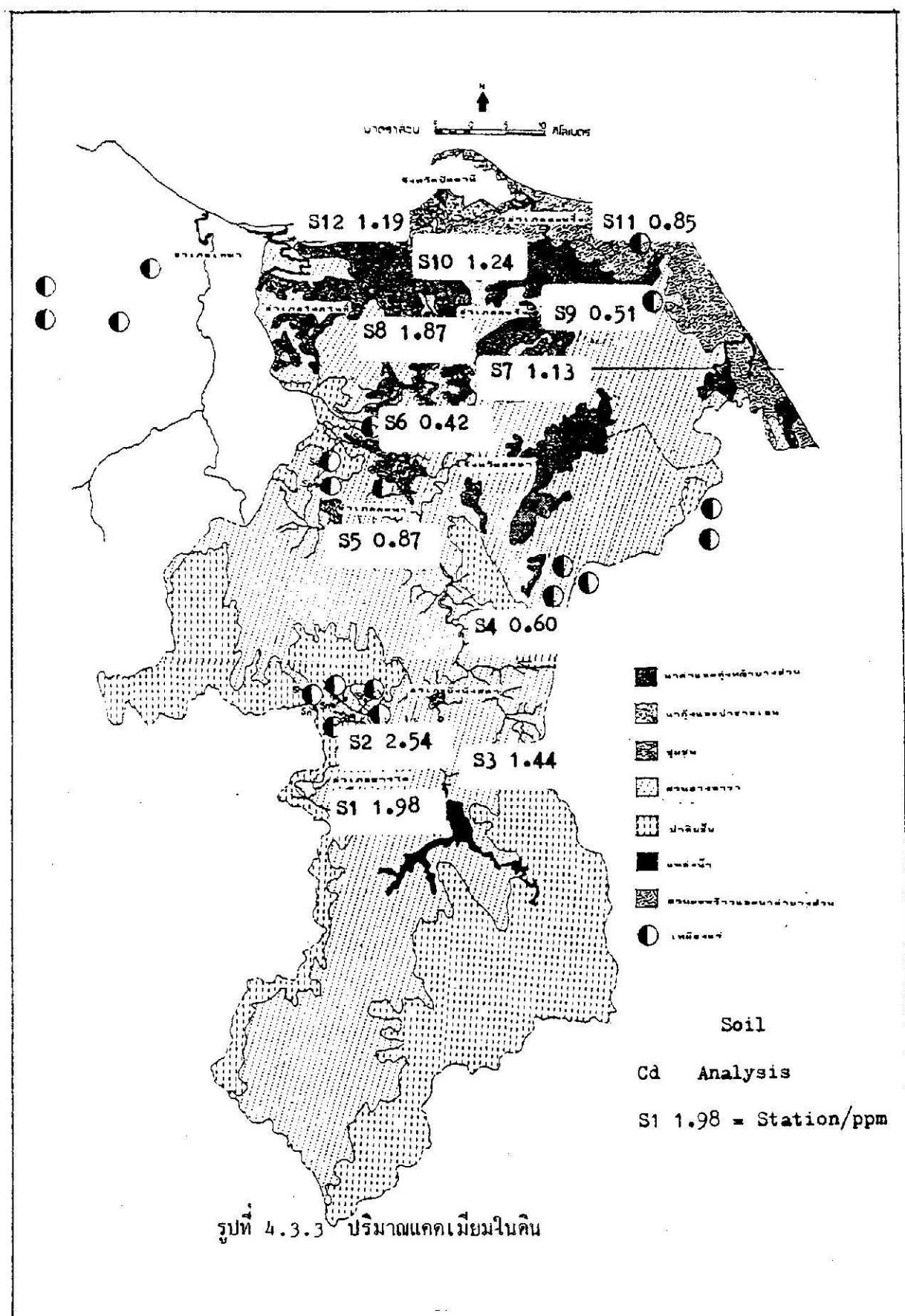
เก็บตัวอย่าง ศิน ครั้งที่ 3 วันที่ 3-4 ตุลาคม พ.ศ. 2535

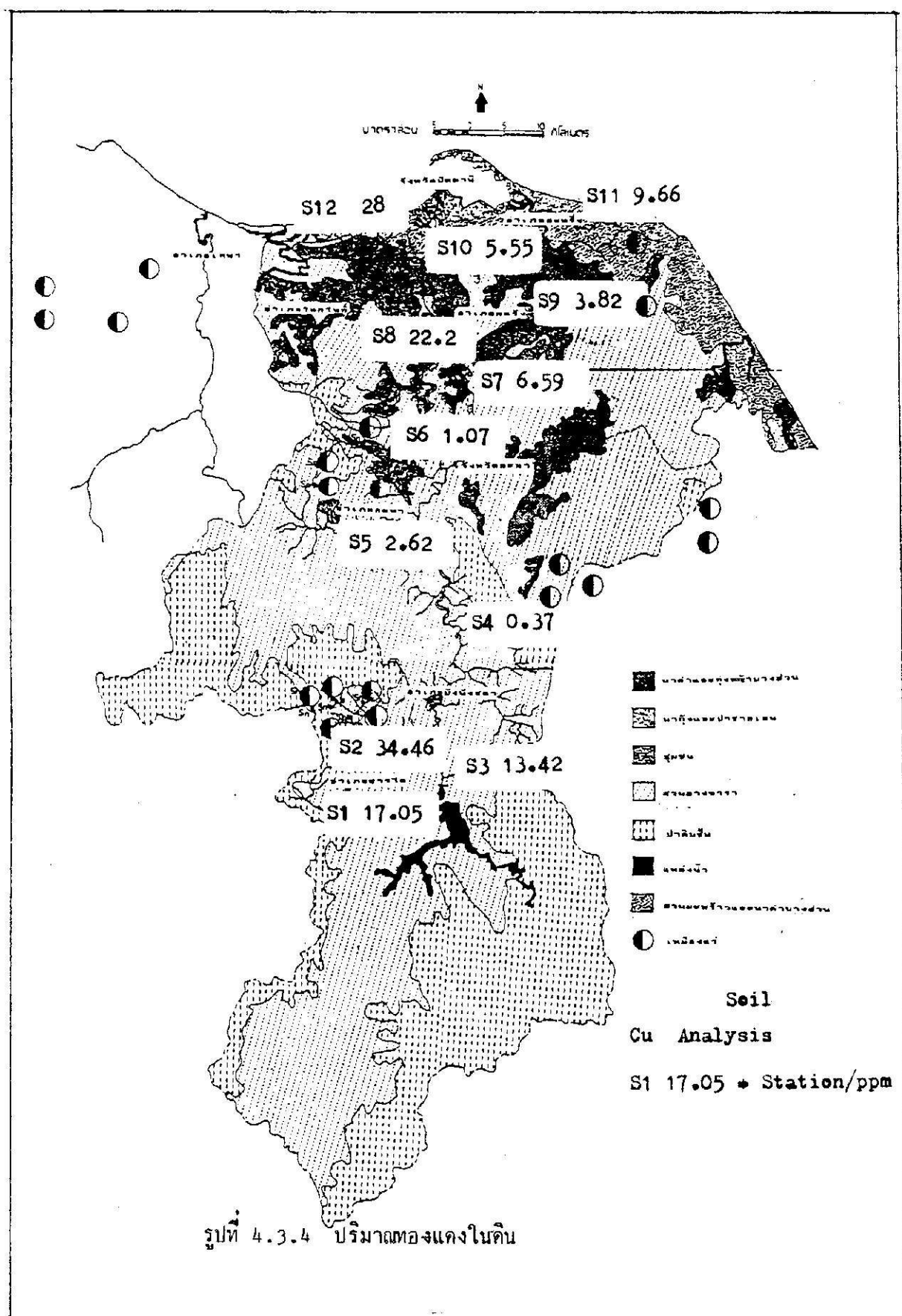
Sample	HNO <sub>3</sub> /HCl Digestion ppm.	Inductively Coupled Plasma Spectrometry (ICP)/ppm.					
	Pb	As	Cd	Cu	Zn	Fe	Mn
S1	3.14	7.77	1.98	17.05	11.09	843.04	31.27
S2	2.36	10.37	2.54	34.47	33.59	991.27	9.43
S3	125.70	45.33	1.44	13.43	34.52	628.06	19.24
S4	0.39	7.06	0.60	0.38	1.49	257.51	0.88
S5	5.11	4.56	0.87	2.62	5.34	290.06	2.75
S6	0.39	-	0.42	1.08	1.14	163.17	0.66
S7	16.92	8.05	1.13	6.59	15.75	489.86	3.39
S8	218.65	97.73	1.87	22.22	34.66	752.68	6.73
S9	4.72	0.52	0.51	3.82	5.22	183.77	1.32
S10	25.98	27.40	1.24	5.55	20.77	516.07	6.07
S11	30.00	58.18	0.85	9.67	24.80	668.21	2.42
S12	208.05	68.28	1.19	28.00	56.23	1592.32	17.01

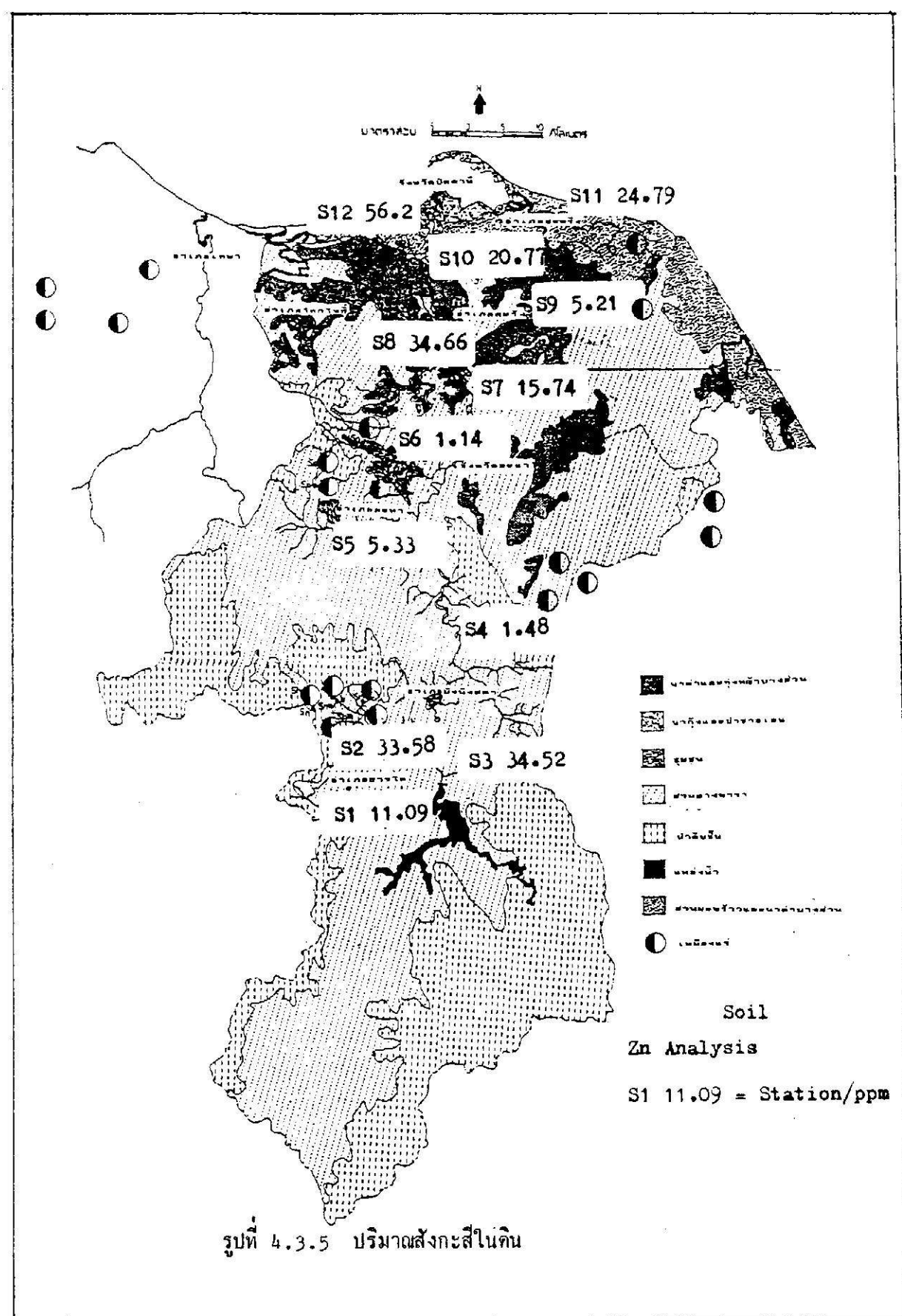
หมายเหตุ เครื่องหมาย - หมายถึง วัดค่าไม่ได้

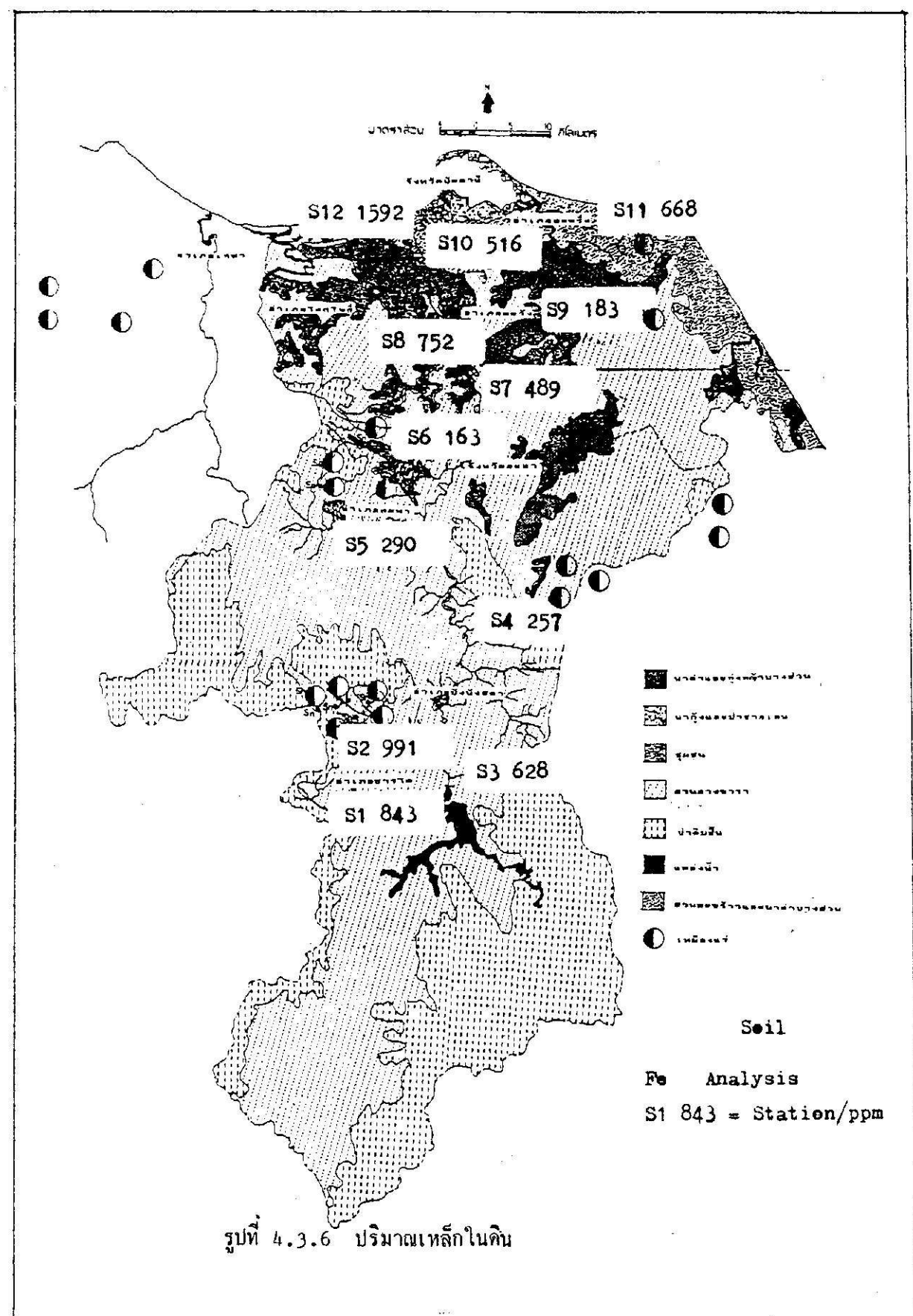


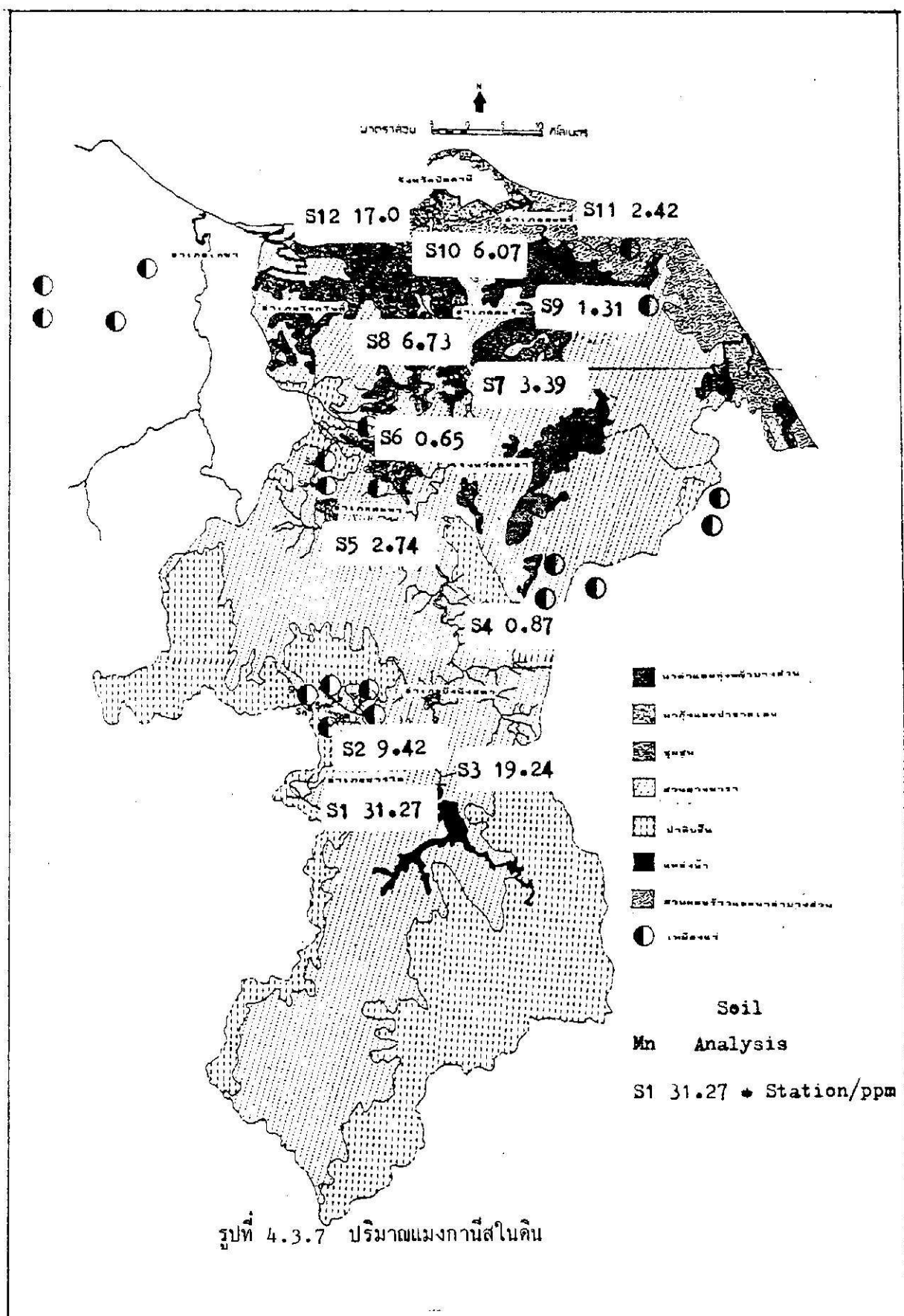












ผลการศึกษาได้แสดงไว้ในตารางที่ 4.3.2 ปริมาณโลหะหนักในส่วนย่างบริเวณต้นน้ำลำธารของ จังหวัดยะลาอยู่ในเกณฑ์ต่ำมาก บริเวณ S3 มีค่าก่อสูงขึ้นมาเล็กน้อย คือปริมาณตะกั่ว 125.7 ppm. และสารหมุน 45 ppm. ตะกั่วและสารหมุนมากในนาค่า บ้านดะโภ๊ะ จังหวัดยะลา และนาถุงบริเวณอ่าว ปัตตานี ปริมาณโลหะหนักในเดินแสดงไว้ในรูปที่ 4.3.1-.4.3.3

#### 4.4 ผลการวิเคราะห์ทดสอบแขวนลอย (Suspended Solids)

คณะกรรมการฯได้ทำการเก็บตัวอย่างแขวนลอยในช่วงที่ฝนตกหนัก (21-22 พฤษภาคม 2536) ในจ. น้ำปัตตานี 9 ตัวอย่าง และเก็บจากตั้งตระกอนของการประปาจังหวัดยะลา และปัตตานี ถักสองตัว อย่าง (ตารางที่ 4.4.1) ผลการวิเคราะห์แสดงไว้ในตารางที่ 4.4.2 พบว่าปริมาณตะกั่วสูงคลอเคล็น้ำ ปริมาณสารหมุน สูงในตอนต้นน้ำ และพบว่าตัวอย่างแขวนลอยจากการประปาจังหวัดยะลา และ ปัตตานี มีสารหมุน และตะกั่วสูง ส่วนแคเมียเมียมีปริมาณต่ำจนไม่สามารถวิเคราะห์ได้ Pattern ของ Profile ของโลหะหนักใน Suspended Solids กับตัวอย่างหารันนี้มีความคล้ายคลึงกัน คือ มีค่าสูง ในช่วงต้นน้ำลำธารและปริมาณลดลงไปตามระยะทางจนถึงปากอ่าว (รูปที่ 4.4.1-4.4.7)

#### 4.5 ผลการศึกษาเรื่องแบบการละลาย (Speciation)

การศึกษาเรื่องแบบการละลาย Speciation ของโลหะต่าง ๆ ได้บวชชี Sequential Extraction ของตัวอย่าง P1 ถึง P14 และ T1 , Y1 ได้ผลว่า

##### 4.5.1 ตะกั่ว

ตะกั่วในตัวอย่าง Residual Species ในช่วง 50-60 % ทั้งนี้ เนื่องจากตะกั่วละลายค่อนข้างยาก และน้ำมีค่า pH ค่อนข้างเป็นต่าง

#### ตารางที่ 4.4.1 ค่าอัตราเบี้ยสกัดที่เก็บสำหรับต่างระดับแม่ข่ายเดอบ

W1	บริเวณบ้านกาฬสินธุ์ จังหวัดยะลา
W2	บริเวณบ้านป่าหิรัง จังหวัดยะลา
W3	บริเวณบ้านท่านบีบ จังหวัดยะลา
W4	บริเวณบ้านสะแภ จังหวัดยะลา
W5	บริเวณบ้านปูง จังหวัดยะลา
W6	บริเวณบ้านละเติง จังหวัดยะลา
W7	บริเวณชลประทานจังหวัดปัตตานี
W8	บริเวณบ้านกรืออะจะ จังหวัดปัตตานี
W9	บริเวณบ้านตะลุไมะ จังหวัดปัตตานี
Pattani	เป็นตัวอย่างที่เก็บในถังตักตะกอน ของการปูรำปา จังหวัดปัตตานี
Yala	เป็นตัวอย่างที่เก็บในถังตักตะกอน ของการปูรำปา จังหวัดยะลา

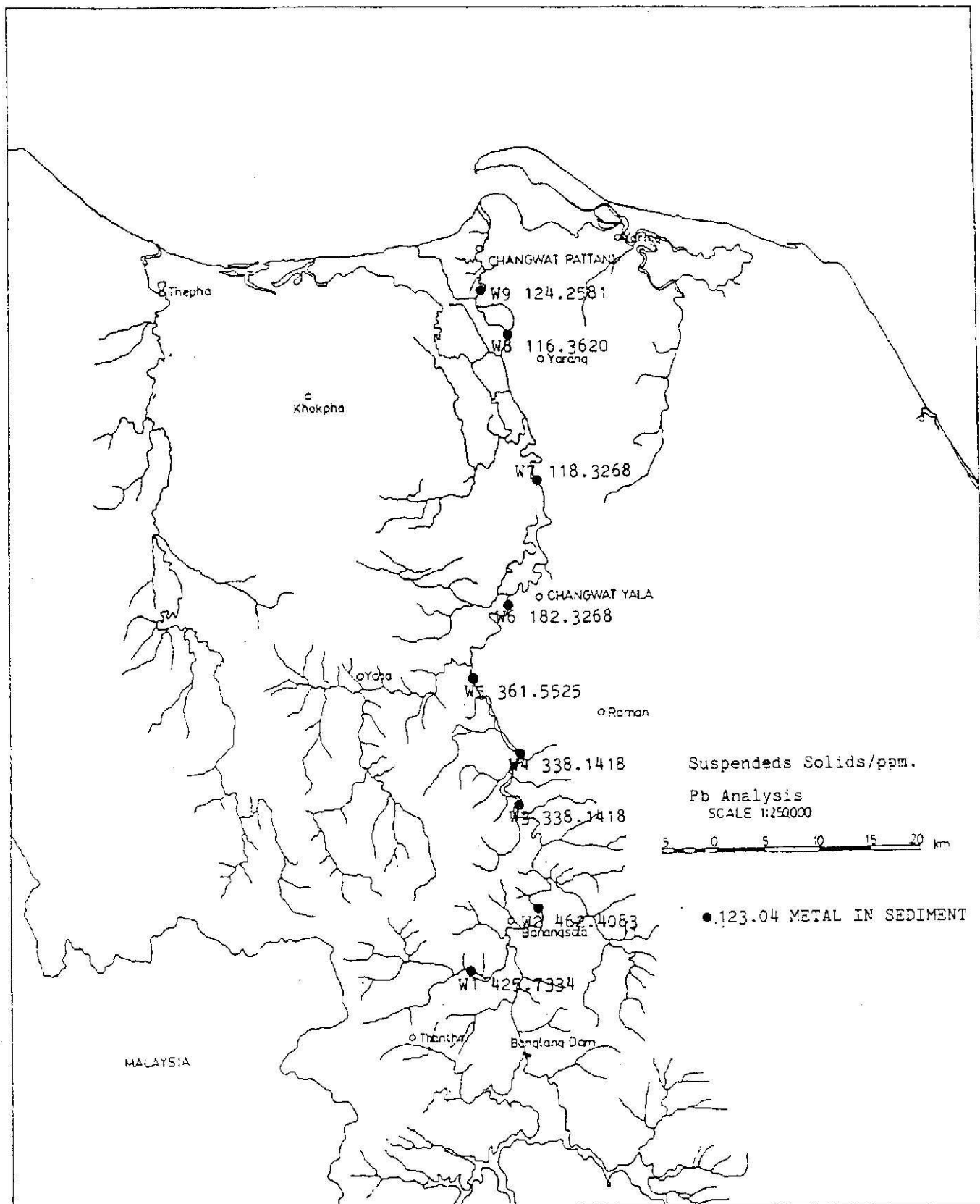
**ตาราง 4.4.2 ผลของการวิเคราะห์ ตัวอย่าง Suspendeds Solids ในแม่น้ำปัตตานี**

**โดยวิธี  $\text{HNO}_3/\text{HCl}$  Digestion**

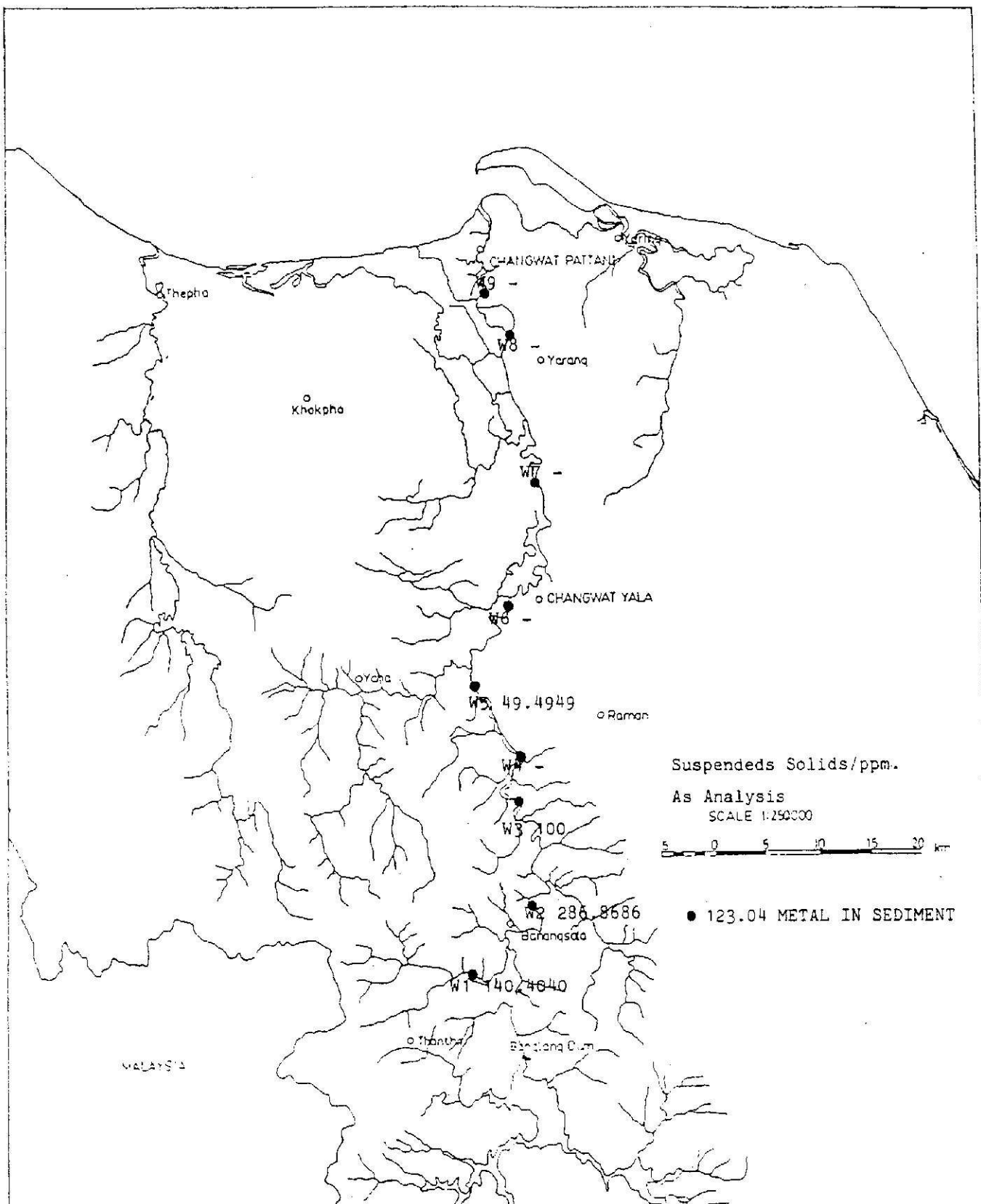
เก็บตัวอย่าง Suspendeds Solids ครั้งที่ 4 วันที่ 21-22 พฤษภาคม พ.ศ.2535

Sample	Inductively Coupled Plasma Spectrometry (ICP/ppm.)		$\text{HNO}_3/\text{HCl}$ Digestion/ppm.				
	As	Cd	Pb	Cu	Zn	Fe	Mn
W1	140.40	-	425.73	88.10	483.92	17737.81	1162.07
W2	286.86	0.29	462.40	76.08	297.08	24158.73	1050.40
W3	100	4.35	338.14	37.47	229.32	23712.84	648.45
W4	193.19	6.48	338.14	29.74	208.39	32452.43	737.24
W5	49.49	9.54	361.55	40.04	252.78	34827.58	1116.25
W6	171.11	6.24	182.38	32.60	167.72	26923.30	961.50
W7	162.98	5.24	188.32	13.72	69.41	24961.35	1144.75
W8	166.03	4.67	116.36	20.02	65.15	23712.84	1083.66
W9	174.09	6.06	124.35	42.62	61.07	26120.68	1095.12
Pattani	40	16.59	240.12	41.53	182.37	43864.44	1274.33
Yala	141.01	22.38	328.37	66.36	238.57	43507.72	1357.18

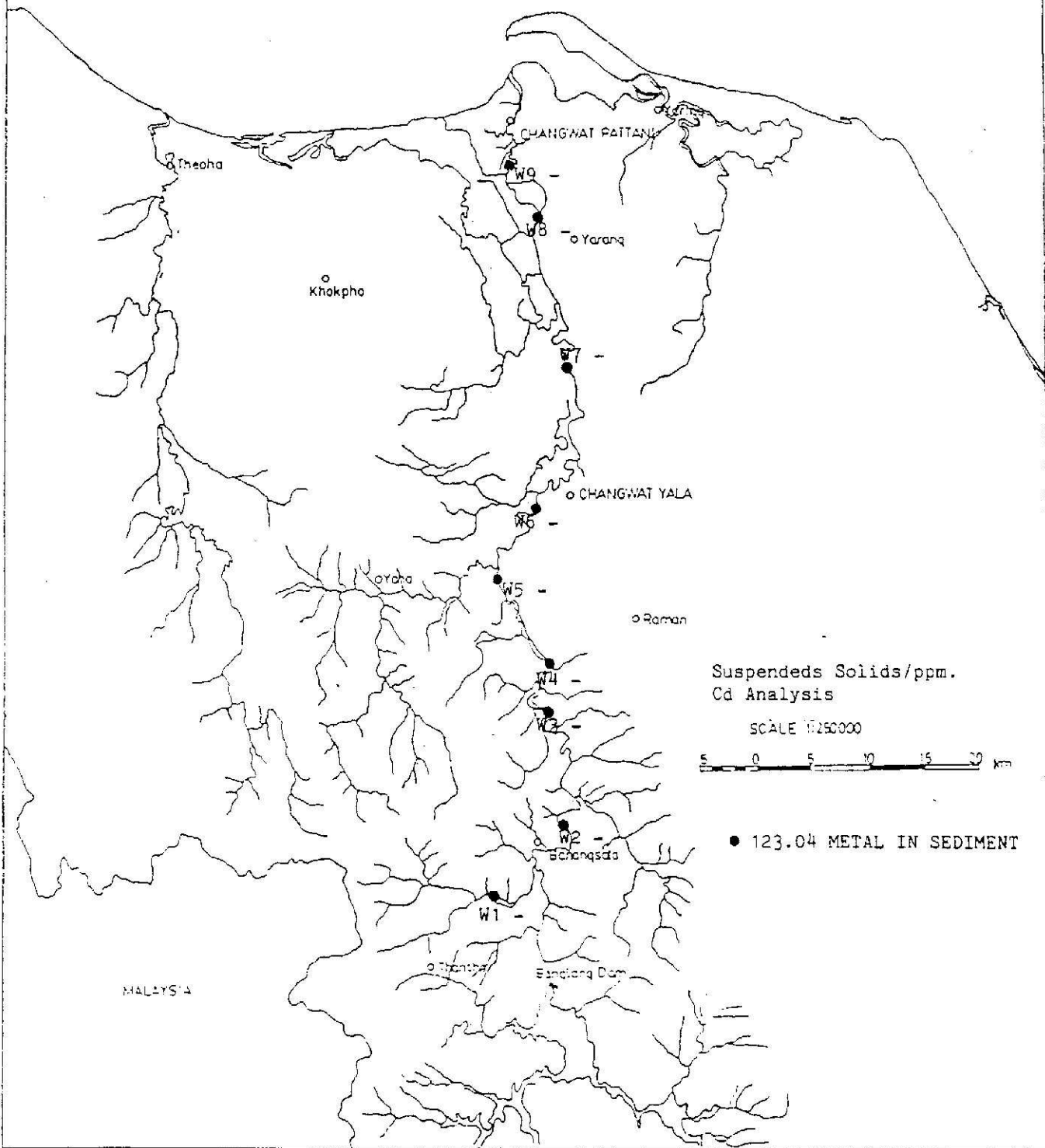
หมายเหตุ เครื่องหมาย - หมายถึง ไม่ค่าไม่ได้



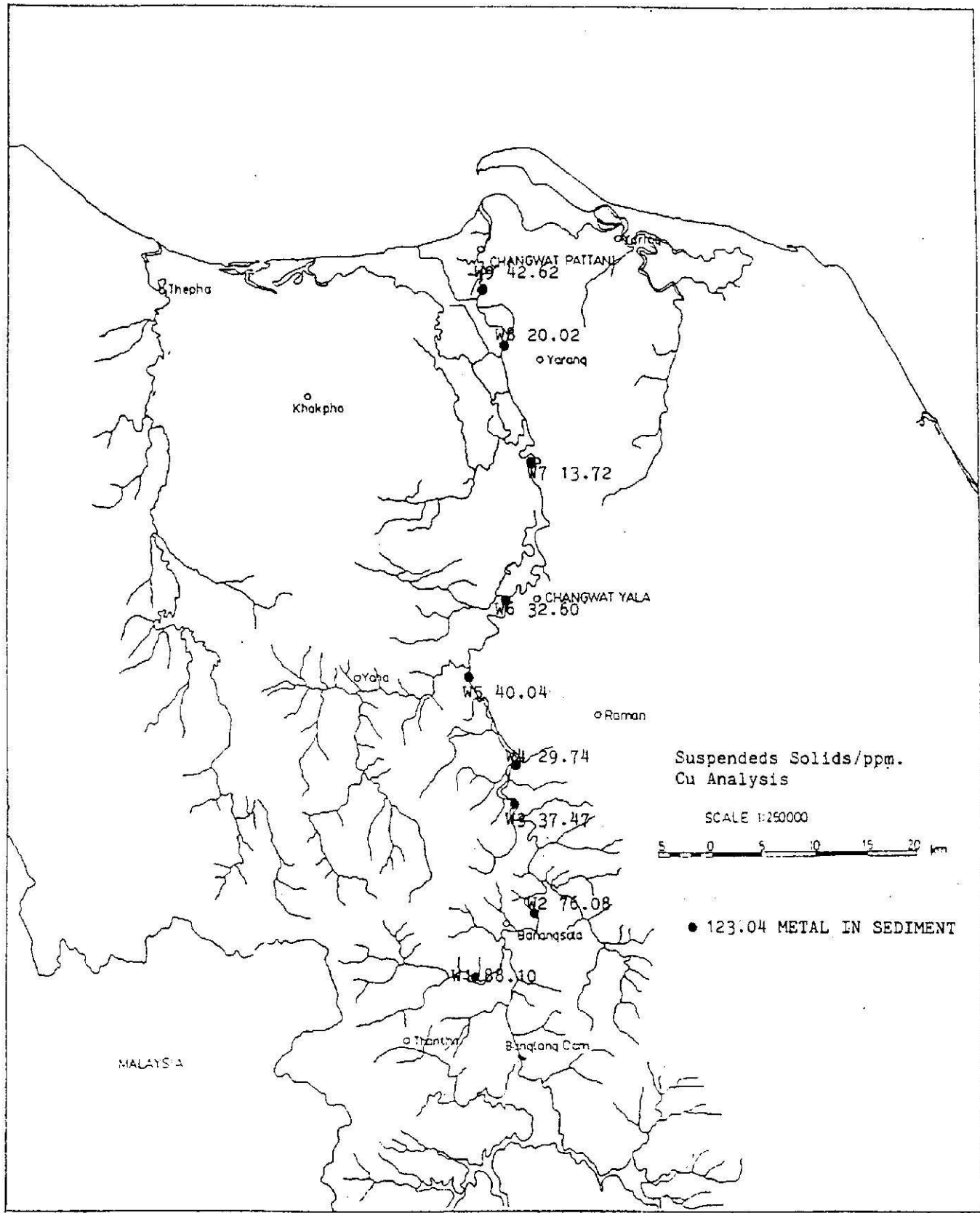
รูปที่ 4.4.1 ปริมาณตะกั่วในตะกอนแขวนล้อຍ



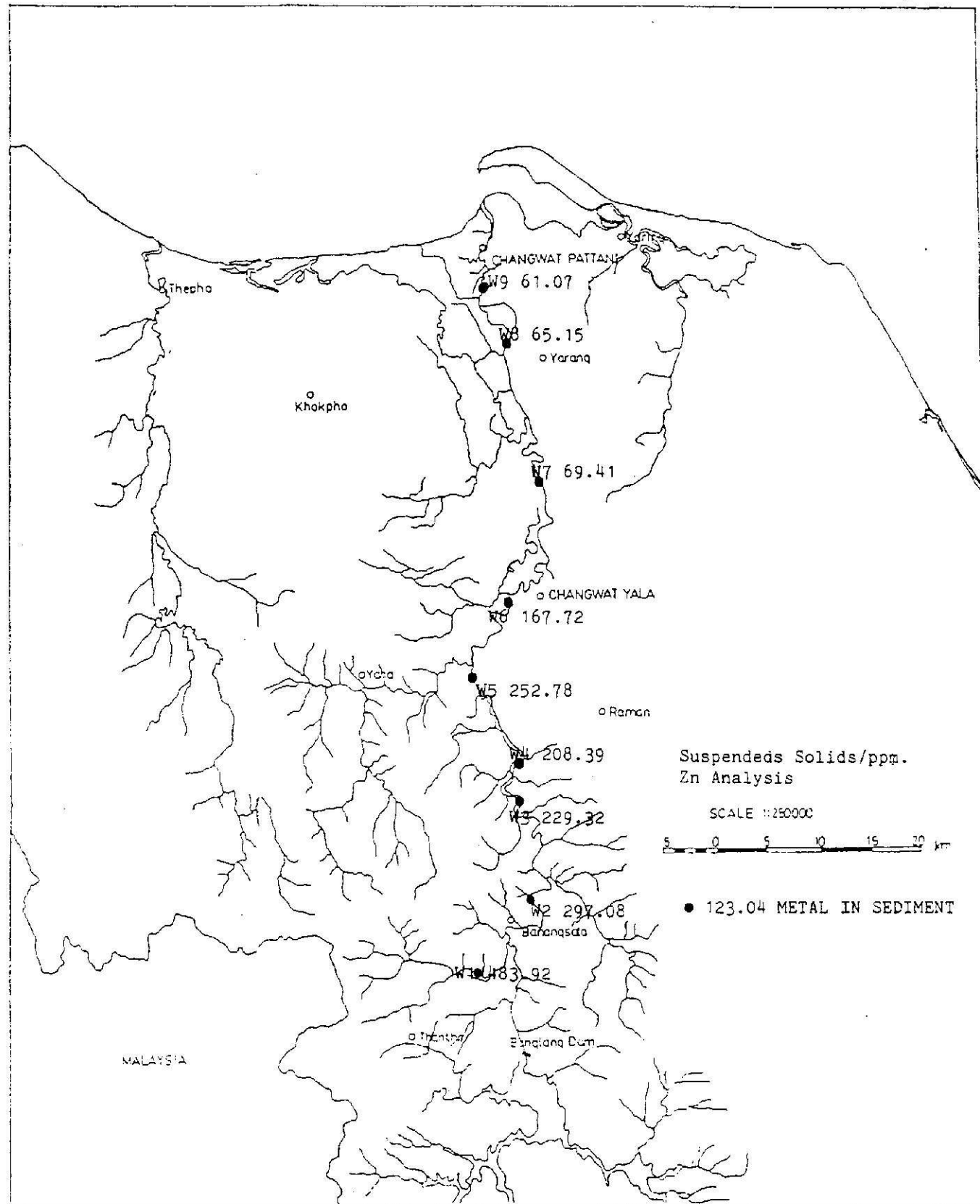
รูปที่ 4.4.2 ปริมาณสารทรายในตะกอนแม่น้ำลอย



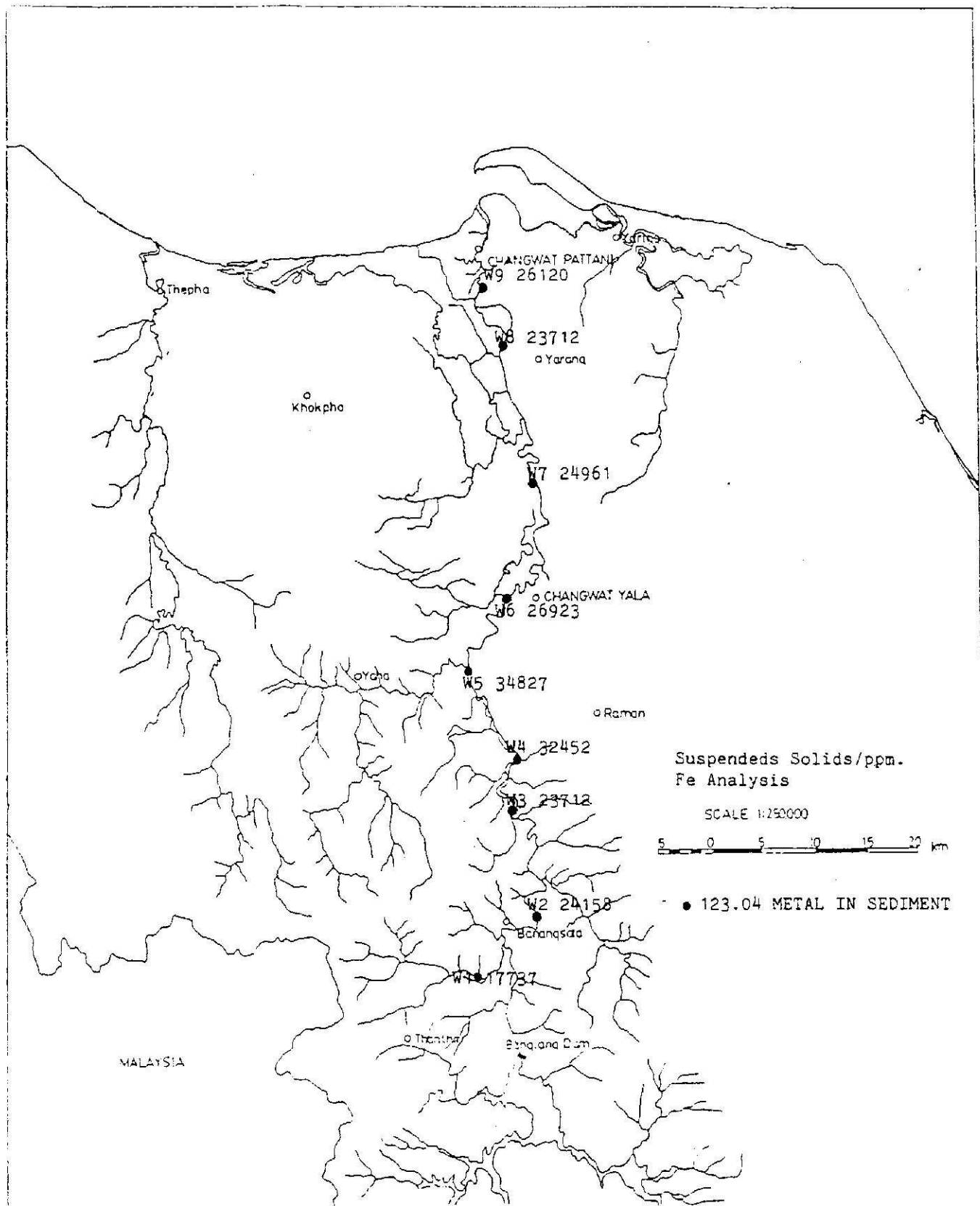
รูปที่ 4.4.3 ปริมาณแคลแมกนียนในตะกอนแซวนลอย



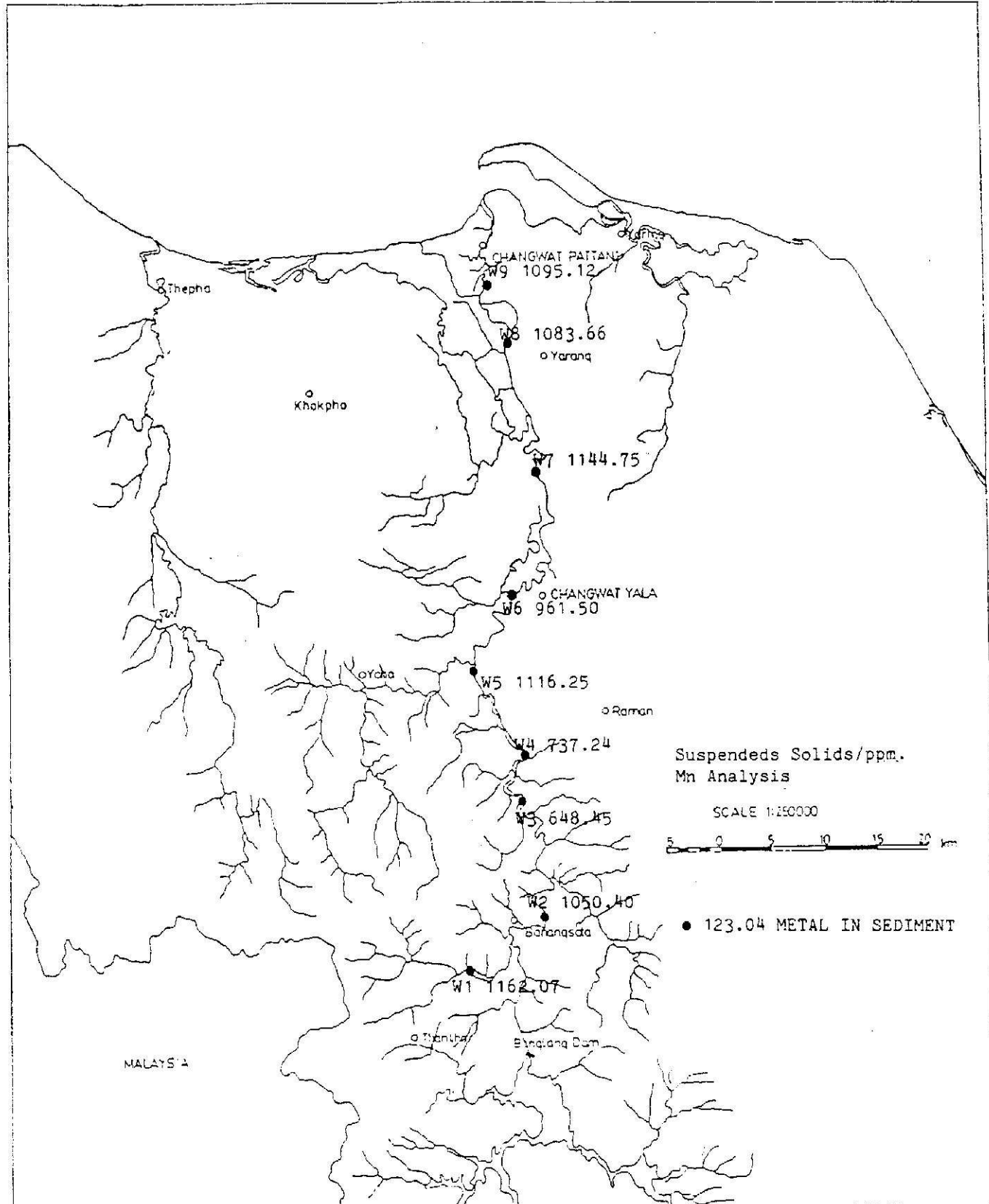
รูปที่ 4.4.4 ปริมาณทองแดงในตะกอนแม่น้ำเจลือย



รูปที่ 4.4.5 ปริมาณสัมภาระในตะกอนแขวนลอย



รูปที่ 4.4.6 ปริมาณเหล็กในตะกอนแขวนลอย



รูปที่ 4.4.7 ปริมาณแมงกานีสในตะกอนแขวนลอย

ตาราง 4.5.1 แสดงปริมาณต่างของตะกั่วในเมล็ด Fraction ที่ได้จากการวิเคราะห์โดยวิธี

Sequential Extraction

Sample	Unit	Fraction 1	Fraction 2	Fraction 3	Fraction 4	Fraction 5	Total
		Exchangeable	Carbonate	Fe-Mn	Organic	Residual	
P1	ppm.	-	5.65	15.31	0.57	40.55	62.08
	%	-	9.11	24.67	0.91	65.31	100 %
P2	ppm.	-	93.46	534.56	300.25	2395.89	3333
	%	-	2.80	16.30	9.01	71.88	100 %
P3	ppm.	-	5.16	1.36	0.67	4.22	11.41
	%	-	45.22	11.91	5.87	36.99	100 %
P4	ppm.	-	4.62	1.01	0.40	9.81	15.84
	%	-	29.17	6.38	2.53	61.93	100 %
P5	ppm.	-	28.28	230.15	61.18	829.12	1148
	%	-	24.5	20.03	5.32	72.18	100 %

ตารางที่ 4.5.1 (ต่อ)

P6	ppm.	-	3.73	0.65	0.25	5.27	9.90
	%	-	37.68	6.57	2.52	53.23	100 %
P7	ppm.	-	3.32	0.71	0.60	2.47	7.10
	%	-	46.76	10	8.45	34.79	100 %
P8	ppm.	-	3.52	0.82	0.72	10.16	15.22
	%	-	23.13	5.39	4.73	66.75	100 %
P9	ppm.	-	3.08	6.61	2.61	19.87	32.17
	%	-	9.57	20.55	8.11	61.77	100 %
P10	ppm.	-	11.57	24.36	8.86	47.54	92.33
	%	-	12.53	26.38	9.59	51.49	100 %
P11	ppm.	-	7.47	19.28	16.11	73.70	116.56
	%	-	6.41	16.54	13.82	63.23	100 %

ตารางที่ 4.5.1 (ต่อ)

P12	ppm.	-	2.74	7.41	0.34	12.77	23.26
	%	-	11.78	31.86	1.47	54.90	100 %
P13	ppm.	-	22.69	34.63	18.95	114.45	190.72
	%	-	11.89	18.16	9.94	60.01	100 %
P14	ppm.	-	6.32	19.95	11.56	72.58	110.41
	%	-	5.72	18.07	10.47	65.74	100 %
T1	ppm.	-	5.30	2.87	2.90	35.20	46.27
	%	-	11.45	6.20	6.27	76.08	100 %
Y1	ppm.	-	4.36	3.13	0	14.27	21.76
	%	-	20.04	14.39	-	65.58	100 %

หมายเหตุ เครื่องหมาย - หมายถึง ไม่คำนวณ

**ตาราง 4.5.2 ผลิตภัณฑ์ค่าของสารทูนิเมต์ Fraction ที่ได้จากการวิเคราะห์โดยวิธี Sequential Extraction**

Sample	Unit	Fraction 1	Fraction 2	Fraction 3	Fraction 4	Fraction 5	Total
		Exchangeable	Carbonate	Fe-Mn	Organic	Residual	
P1	ppm.	-	-	0.09	0.29	12.37	12.76
	%	-	-	0.75	2.28	96.96	100 %
P2	ppm.	-	-	0.08	0.36	199.92	200.37
	%	-	-	0.04	0.18	99.77	100 %
P3	ppm.	-	-	0.04	0.16	1.86	2.08
	%	-	-	2.31	7.93	89.74	100 %
P4	ppm.	-	-	0.05	0.18	8.86	9.11
	%	-	-	0.61	2.06	97.32	100 %
P5	ppm.	-	-	0.41	0.18	111.79	112.39
	%	-	-	0.36	0.16	99.46	100 %

ตารางที่ 4.5.2 (ต่อ)

P6	ppm.	-	-	-	0.46	3.66	4.13
	%	-	-	-	11.23	88.76	100 %
P7	ppm.	-	-	0.0006	0.32	1.55	1.87
	%	-	-	0.03	17.06	82.90	100 %
P8	ppm.	-	-	0.13	0.34	3.49	3.97
	%	-	-	3.49	8.57	87.92	100 %
P9	ppm.	-	-	0.06	0.31	17.14	17.51
	%	-	-	0.35	1.77	97.87	100 %
P10	ppm.	-	-	-	0.15	12.28	12.43
	%	-	-	-	1.23	98.77	100 %
P11	ppm.	-	-	0.26	0.22	88.30	88.78
	%	-	-	0.28	0.24	99.46	100 %

ตารางที่ 4.5.2 (ต่อ)

P12	ppm.	-	-	0.08	0.41	29.59	30.08
	%	-	-	0.28	1.35	98.37	100 %
P13	ppm.	-	-	0.21	0.21	71.93	72.34
	%	-	-	0.28	0.28	99.44	100 %
P14	ppm.	-	-	-	0.22	27.48	27.71
	%	-	-	-	0.81	99.19	100 %
T1	ppm.	-	-	0.48	0.19	48.54	49.21
	%	-	-	0.97	0.38	98.64	100 %
Y1	ppm.	-	-	0.008	-	5.19	5.20
	%	-	-	0.15	-	99.84	100 %

หมายเหตุ เครื่องหมาย - หมายถึง วัสดุไม่ได้

ตาราง 4.5.3 แสดงปริมาณค่าของห้องแบ่งในแต่ละ Fraction ที่ได้จากการวิเคราะห์โดยวิธี

Sequential Extraction

Sample	Unit	Fraction 1	Fraction 2	Fraction 3	Fraction 4	Fraction 5	Total
		Exchangeable	Carbonate	Fe-Mn	Organic	Residual	
P1	ppm.	-	-	-	12.85	6.7	19.55
	%	-	-	-	65.73	34.27	100 %
P2	ppm.	-	12.39	-	92.66	280.81	385.86
	%	-	3.21	-	24.01	72.78	100 %
P3	ppm.	-	-	-	1.58	-	1.58
	%	-	-	-	100	-	100 %
P4	ppm.	-	-	-	-	1.14	1.14
	%	-	-	-	-	100	100 %
P5	ppm.	-	-	-	4.06	93.27	97.33
	%	-	-	-	4.17	95.83	100 %

ตารางที่ 4.5.3 (ต่อ)

P6	ppm.	-	-	-	1.38	-	1.38
	%	-	-	-	100	-	100 %
P7	ppm.	-	-	-	-	-	-
	%	-	-	-	-	-	- %
P8	ppm.	-	-	-	2.06	-	2.06
	%	-	-	-	100	-	100 %
P9	ppm.	-	-	-	1.75	2.91	4.66
	%	-	-	-	37.56	62.44	100 %
P10	ppm.	-	-	-	2.58	7.68	10.26
	%	-	-	-	25.15	74.85	100 %
P11	ppm.	-	-	-	4.78	5.56	10.34
	%	-	-	-	46.23	53.77	100 %

ตารางที่ 4.5.3 (ต่อ)

P12	ppm.	-	-	-	-	1.01	1.01
	%	-	-	-	-	100	100 %
P13	ppm.	-	-	-	7.24	16.61	23.85
	%	-	-	-	30.36	69.64	100 %
P14	ppm.	-	-	-	4.25	13.73	17.98
	%	-	-	-	23.64	76.36	100 %
T1	ppm.	-	-	-	3.1	12.07	15.17
	%	-	-	-	20.44	79.56	100 %
Y1	ppm.	-	-	-	-	1.47	1.47
	%	-	-	-	-	100	100 %

หมายเหตุ เครื่องหมาย - หมายถึง วัสดุไม่ได้

ตาราง 4.5.4 แสดงปริมาณค่าของส่วนประกอบ Fraction ที่ได้จากการวิเคราะห์โดยวิธี Sequential Extraction

Sample	Unit	Fraction 1	Fraction 2	Fraction 3	Fraction 4	Fraction 5	Total
		Exchangeable	Carbonate	Fe-Mn	Organic	Residual	
P1	ppm.	-	6.88	17.23	16.82	96.92	137.85
	%	-	4.99	12.49	12.20	70.30	100 %
P2	ppm.	-	57.76	128.29	151.63	380.67	718.35
	%	-	8.04	17.85	21.10	52.99	100 %
P3	ppm.	-	2.5	2.12	2.24	7.42	14.28
	%	-	17.51	14.84	15.69	51.96	100 %
P4	ppm.	-	1.05	1.08	1.98	14.12	18.23
	%	-	5.76	5.93	10.86	77.45	100 %
P5	ppm.	-	3.64	38.79	10.51	249.33	302.27
	%	-	1.20	12.83	3.47	82.48	100 %

ตารางที่ 4.5.4 (ต่อ)

P6	ppm.	-	0.65	2.95	3.96	4.9	12.46
	%	-	5.22	23.67	31.78	39.33	100 %
P7	ppm.	-	-	-	1.54	1.79	3.33
	%	-	-	-	46.25	53.75	100 %
P8	ppm.	-	3.55	16.8	2.84	7.53	30.72
	%	-	11.55	54.69	9.25	24.51	100 %
P9	ppm.	-	0.69	5.05	2.48	23.61	31.83
	%	-	2.17	15.86	7.79	74.18	100 %
P10	ppm.	-	2.69	8.69	3.27	30.65	45.3
	%	-	5.94	19.18	7.22	67.66	100 %
P11	ppm.	-	6.95	10.26	8.36	47.67	73.24
	%	-	9.49	14.01	11.46	65.09	100 %

ตารางที่ 4.5.4 (ต่อ)

P12	ppm.	-	2.93	9.97	1.41	10.03	24.34
	%	-	12.04	40.96	5.79	41.21	100 %
P13	ppm.	-	5.16	13.65	10.02	75.04	103.87
	%	-	4.97	13.14	9.65	72.24	100 %
P14	ppm.	-	4.26	15.04	17.68	67.3	104.28
	%	-	4.09	14.42	16.95	64.54	100 %
T1	ppm.	-	3.51	9.9	10.17	48.46	72.04
	%	-	4.87	13.74	14.12	67.27	100 %
Y1	ppm.	-	3.33	9.47	4.53	21.7	39.03
	%	-	8.53	24.26	11.61	55.60	100 %

หมายเหตุ เครื่องหมาย - หมายถึง วัสดุไม่ได้

ตาราง 4.5.5 แสดงปริมาณของแต่ละ Fraction ที่ได้จากการวิเคราะห์โดยวิธี Sequential Extraction

Sample	Unit	Fraction 1 Exchangeable	Fraction 2 Carbonate	Fraction 3 Fe-Mn	Fraction 4 Organic	Fraction 5 Residual	Total
P2	ppm.	0.09	1.59	1.87	1.14	4.39	9.07
	%	0.96	17.52	20.63	12.57	48.32	100 %
P5	ppm.	-	0.19	0.33	-	0.90	1.44
	%	-	13.81	23.25	-	62.94	100 %
P11	ppm.	-	0.14	-	-	-	0.14
	%	-	100	-	-	-	100 %
P13	ppm.	-	0.08	-	-	-	0.08
	%	-	100	-	-	-	100 %

หมายเหตุ Fraction ของธาตุนี้เป็นหัวอย่าง ยืน ฯ ไม่ค่าใช้ได้

ตาราง 4.5.6 แสดงปริมาณของแมกนีเซียมในแต่ละ Fraction ที่ได้จากการวิเคราะห์โดยวิธี Sequential Extraction

Sequential Extraction

Sample	Unit	Fraction 1	Fraction 2	Fraction 3	Fraction 4	Fraction 5	Total
		Exchangeable	Carbonate	Fe-Mn	Organic	Residual	
P1	ppm.	4.92	12.77	39.66	20.87	120.65	198.87
	%	2.47	6.43	19.94	10.49	60.67	100 %
P2	ppm.	1.98	282.24	1070.98	539.37	913.71	280.28
	%	0.07	10.05	38.14	19.21	32.53	100 %
P3	ppm.	8.00	81.2	29.84	3.57	20.94	143.55
	%	5.57	56.57	20.79	2.49	14.58	100 %
P4	ppm.	3.58	4.03	5.21	1.45	151.65	165.92
	%	2.16	2.43	3.14	0.87	91.40	100 %
P5	ppm.	1.13	123.42	1287.69	79.22	393.4	1885.6
	%	0.06	6.55	68.32	4.20	20.87	100 %

**ตารางที่ 4.5.6 (ต่อ)**

P6	ppm.	21.34	33.98	16.57	1.02	20.94	93.85
	%	22.74	36.21	17.65	1.09	22.31	100 %
P7	ppm.	1.34	1	3.44	-	218.27	224.05
	%	0.59	0.45	1.54	-	97.42	100 %
P8	ppm.	5.29	47.3	25.22	0.64	162.44	240.89
	%	2.20	19.64	10.47	0.26	67.43	100 %
P9	ppm.	6.20	38.32	77.58	205.82	106.22	433.94
	%	1.43	8.83	17.87	47.41	24.46	100 %
P10	ppm.	34.18	31.83	31.56	146.86	106.65	351.08
	%	9.73	9.07	8.99	41.83	30.38	100 %
P11	ppm.	74.20	125.58	69.1	9.03	175.66	453.57
	%	16.36	27.69	15.23	1.99	38.73	100 %

**ตารางที่ 4.5.6 (ต่อ)**

P12	ppm.	4.07	54.9	287.06	199.85	138.02	683.9
	%	0.60	8.03	41.97	29.22	20.18	100 %
P13	ppm.	109.38	31.59	200.69	98.22	199.2	559.68
	%	19.56	5.65	35.90	17.57	21.32	100 %
P14	ppm.	10.58	93.85	103.33	75.2	111.67	394.63
	%	2.68	23.78	26.18	19.06	28.30	100 %
T1	ppm.	7.10	77.5	86.37	85.04	122.96	378.97
	%	1.87	20.45	22.79	22.44	32.45	100 %
Y1	ppm.	6.30	46.73	31.21	18.5	110.41	213.15
	%	2.96	21.92	14.64	8.68	51.80	100 %

หมายเหตุ เครื่องหมาย - หมายถึง วัสดุไม่ได้

ตาราง 4.5.7 แสดงปริมาณค่าของเหล็กในแต่ละ Fraction ที่ได้จากการวิเคราะห์โดยวิธี Sequential Extraction

Sample	Unit	Fraction 1 Exchangeable	Fraction 2 Carbonate	Fraction 3 Fe-Mn	Fraction 4 Organic	Fraction 5 Residual	Total
P1	ppm.	-	140	2480	890	25100	28610
	%	-	0.49	8.67	3.11	87.73	100 %
P2	ppm.	-	70	1940	250	105370	107630
	%	-	0.07	1.80	0.23	97.90	100 %
P3	ppm.	-	130	1100	42	4870	6140
	%	-	2.11	17.91	0.68	79.30	100 %
P4	ppm.	-	140	1180	37	8680	10040
	%	-	1.39	11.75	0.37	86.45	100 %
P5	ppm.	-	70	1540	19	55680	57309
	%	-	0.12	2.69	0.03	97.158	100 %

ตารางที่ 4.5.7 (ต่อ)

P6	ppm.	-	180	910	27	4600	5717
	%	-	3.15	15.92	0.47	80.46	100 %
P7	ppm.	-	50	20	-	3360	3430
	%	-	1.46	0.58	-	97.96	100 %
P8	ppm.	-	70	640	19	5080	5809
	%	-	1.21	11.02	0.33	87.45	100 %
P9	ppm.	-	60	910	31	8160	9161
	%	-	0.66	9.93	0.34	89.07	100 %
P10	ppm.	-	170	1990	96	6020	8276
	%	-	2.05	24.05	1.16	72.74	100 %
P11	ppm.	-	540	4020	670	22960	28190
	%	-	1.92	14.26	2.38	81.45	100 %

## ตารางที่ 4.5.7 (๙๘)

P12	ppm.	-	30	650	13	9610	10303
	%	-	0.29	6.31	0.13	93.27	100 %
P13	ppm.	-	150	3530	902	2800	32582
	%	-	0.46	10.84	2.77	85.94	100 %
P14	ppm.	-	1390	2380	871	28520	33167
	%	-	4.19	7.18	2.63	86.00	100 %
T1	ppm.	-	2140	1740	1100	29420	34400
	%	-	6.22	5.06	3.20	85.52	100 %
Y1	ppm.	-	1380	1690	799	5840	9709
	%	-	14.21	17.41	8.23	60.15	100 %

หมายเหตุ เครื่องหมาย - หมายถึง วัสดุไม่ได้

### คงทิ่งกราะเจ้ายอยู่ในทุก Fraction ยกเว้น Exchangeable Fraction มีมากใน

Residual Fraction , Fe-Mn Fraction และ Carbonate Fraction ตามลำดับ บริเวณ P2 และ P5 ซึ่งได้รับอิทธิพลจากการทำเหมืองมาก (ตารางที่ 4.5.1) มีต่อทิ่งในรูปของ Residual Fraction มากเป็นพิเศษ (ประมาณ 70 %) ปริมาณคงทิ่งใน Fraction 5 ซึ่งเป็น Organic Species มีปริมาณมากที่สุด เนื่องจากบริเวณ P5 เป็นทางปากอ่าวปัตตานี ปริมาณคงทิ่งที่กราะเจ้ายอยและ Fraction ของปากแม่น้ำเทพา และยะหริ่ง มีความคล้ายคลึงกันกับแม่น้ำปัตตานี (รูปที่ 4.5.1)

#### 4.5.2 สารหมุน

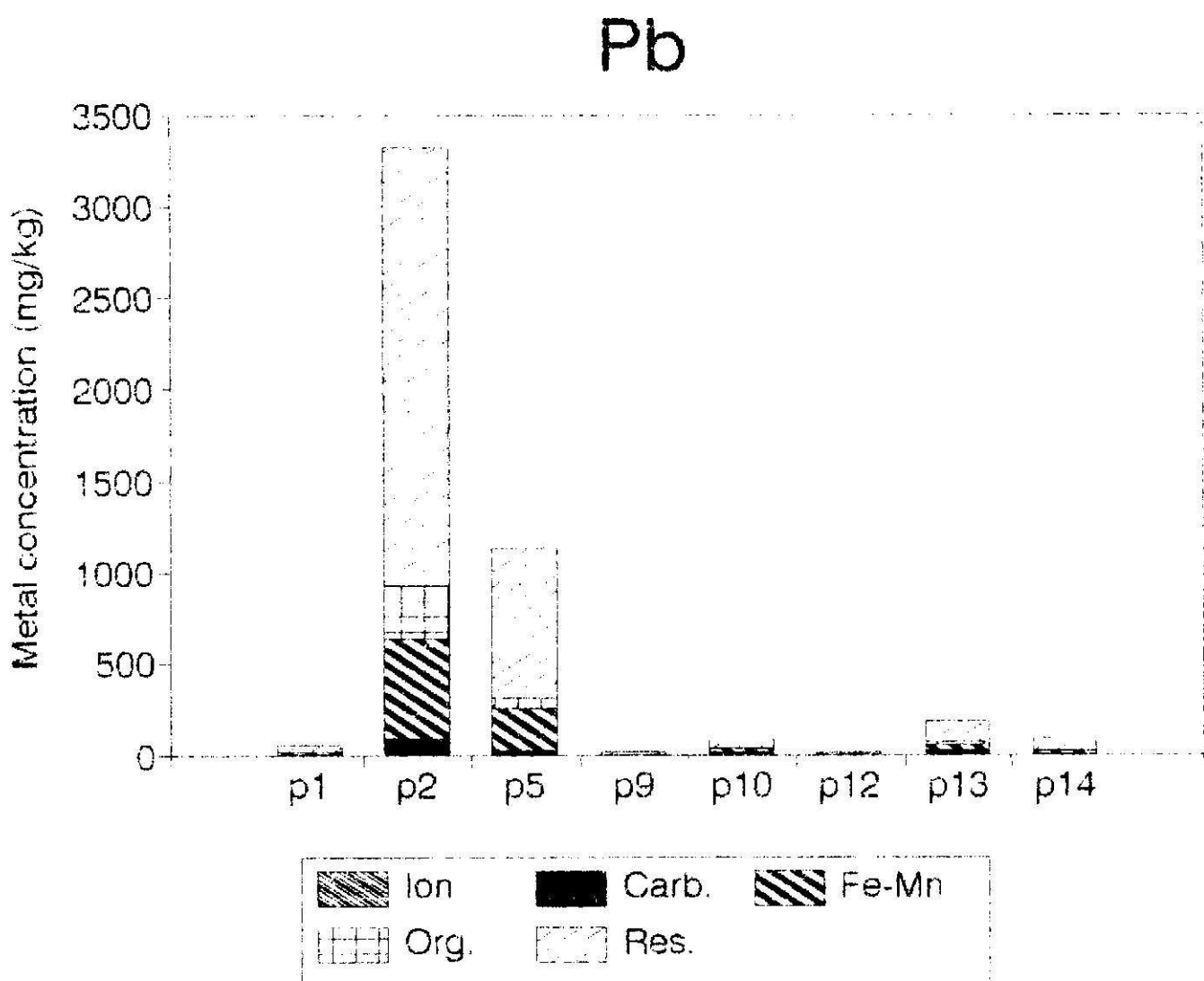
สารหมุนอยู่ในรูป Residual Fraction มากกว่า 90 % ทุกสถานี รองลงมาเป็น Organic และ Fe-Mn Species ตามลำดับบริเวณปากแม่น้ำเทพาและยะหริ่งมีสารหมุนใน Residual Species เกือบ 100 % (ตารางที่ 4.5.2 รูปที่ 4.5.2)

#### 4.5.3 แอดเดย์ม

แอดเดย์มวิเคราะห์ได้ในสถานี P2 และ P5 ซึ่งเป็นบริเวณที่ได้รับผลกระทบจากแหล่งแร่โดยตรง มีปริมาณใน Residual fraction 48 และ 60 % ตามลำดับ รองลงมาเป็น Fe-Mn และ Carbonate species ในสถานี P2 วัดค่าแอดเดย์มได้บางเล็กน้อย

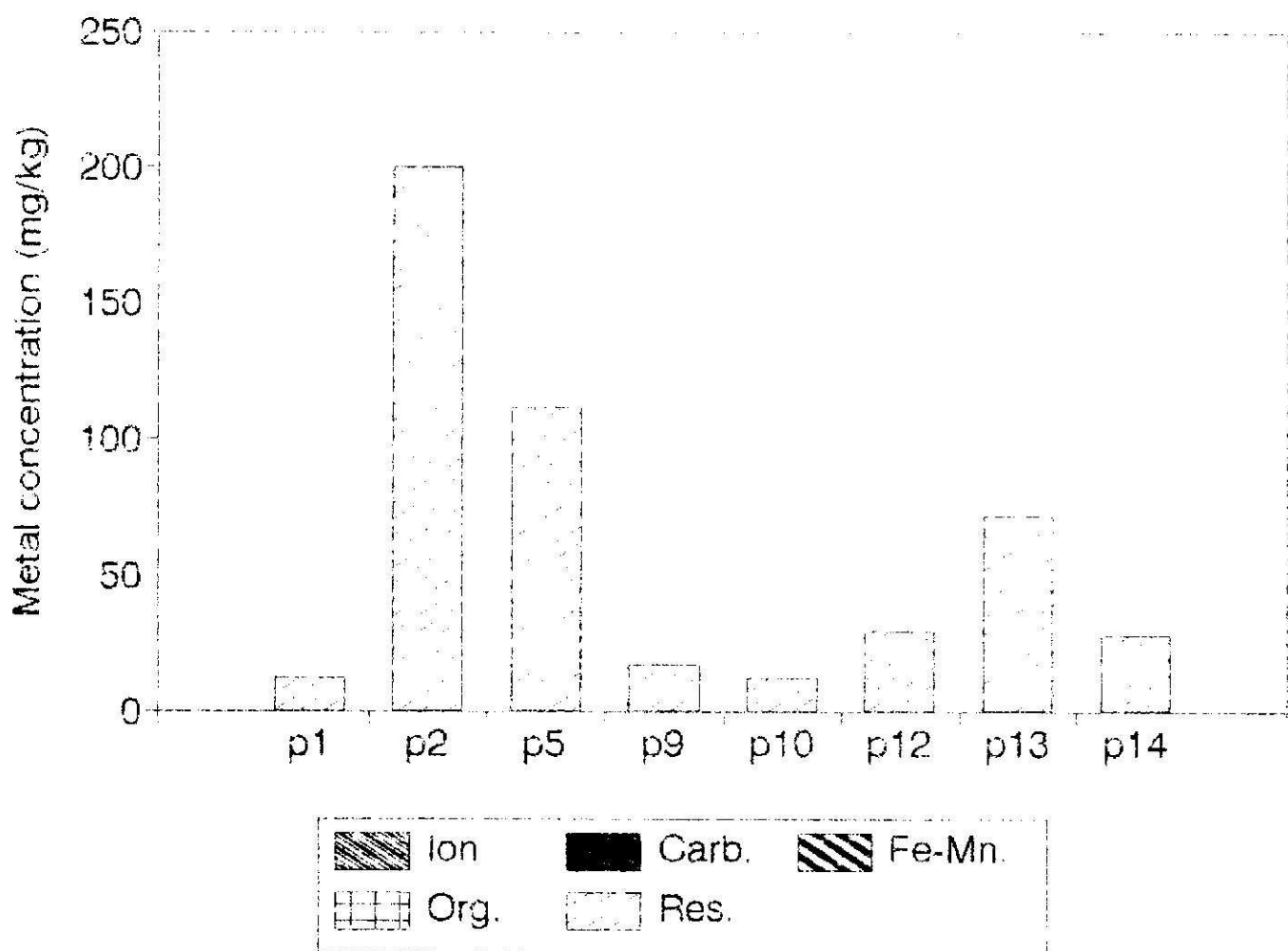
#### 4.5.4 ห้องดอง

ปริมาณห้องดองมีความสัมพันธ์กับแหล่งแร่อย่างชัดเจนห้องดองมีมากในสถานี P2 , P5 ซึ่งเกิดจากแหล่งแร่โดยตรงสถานีอื่น ๆ พบห้องดองน้อยมาก บริเวณแหล่งแร่อ่าวปัตตานี และปากแม่น้ำเทพา พบห้องดองในรูปของ Residual Species เป็นส่วนใหญ่ Organic Species เป็นส่วนน้อย (ตารางที่ 4.5.3)



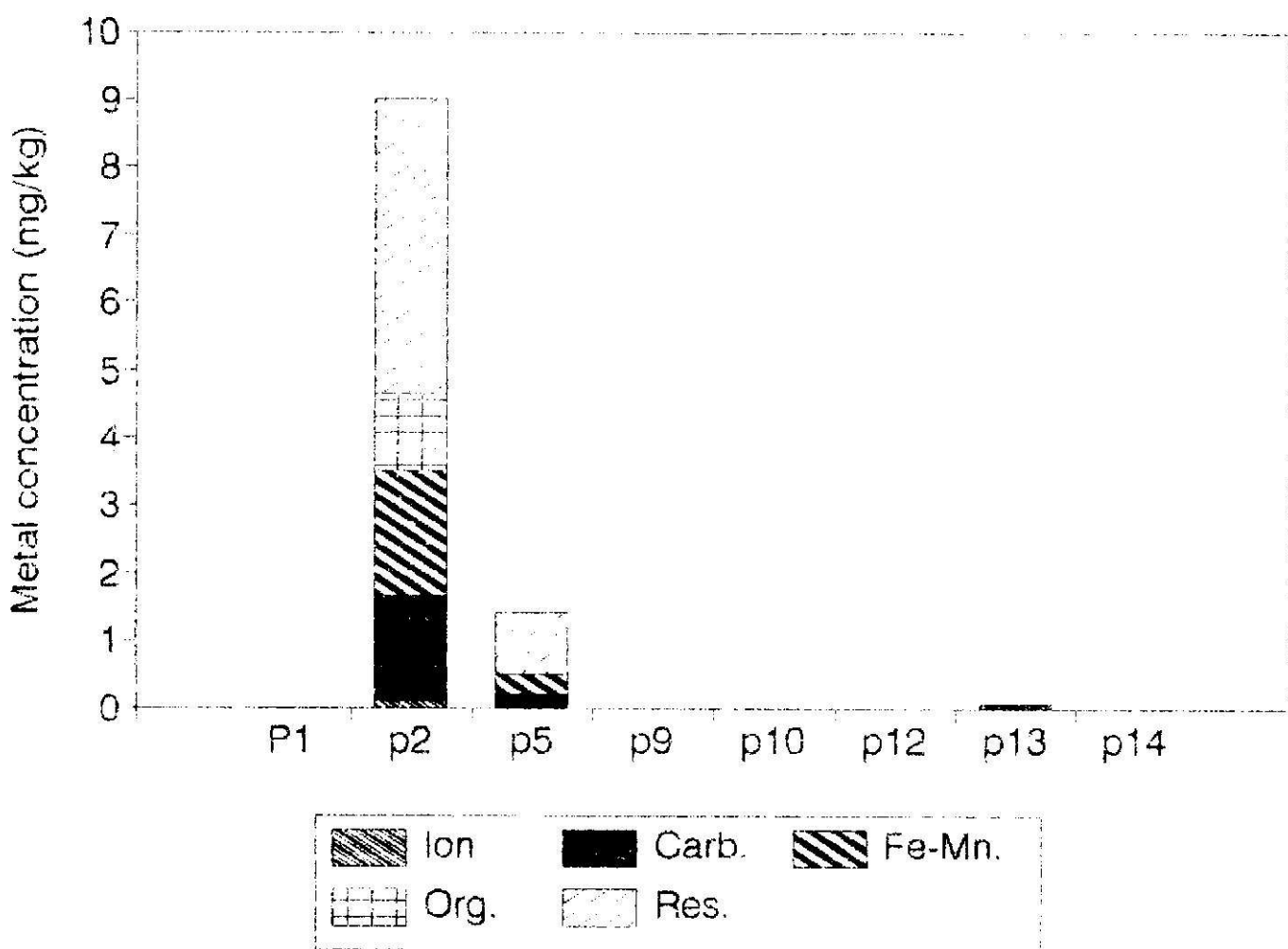
รูปที่ 4.5.1 สัดส่วนของตัวกัวน species ค่า Pb

# As



รูปที่ 4.5.2 ตัวส่วนของสารทูน species ค่าทาง

# Cd



รูปที่ 4.5.3 ลักษณะของแคดเมียมใน species ต่างๆ

#### 4.5.5 สังกะสี

สังกะสีอยู่ในรูปของ Residual Species กว่า 50-60 % และมีการกระจายอยู่ในเกือบทุก Fraction ยกเว้น Exchangeable Species นอกจากในรูปของ Residual Species แล้ว สังกะสีจะอยู่ใน Fe-Mn Form ในช่วงต้นน้ำลำธาร และสังกะสีในรูปของ Organic มีมากที่สุดในทางปากอ่าวบีทคาดี สังกะสีในปากแม่น้ำเทพา และยะหริ่งก็มี Pattern คล้ายกัน (ตารางที่ 4.5.4)

#### 4.5.6 แมงกานีส

แมงกานีสมีการกระจายอยู่ในทุก Fraction ส่วนใหญ่อยู่ใน Fe-Mn Fraction และ Residual Fraction ตามลำดับ บริเวณใกล้ ๆ กับปากอ่าวบีทคาดี แมงกานีสใน Organic Fraction จะมากที่สุด เช่นเดียวกับที่ปากแม่น้ำยะหริ่ง และเทพา (ตารางที่ 4.5.6)

#### 4.5.7 เหล็ก

เหล็กอยู่ใน Form ของ Residual Fraction กว่า 80 % ของทุกสถานี รองลงมาเป็น Fe-Mn Fraction และในพบรูปเจลใน Exchangeable Fraction (ตารางที่ 4.5.7) เหล็กใน Organic และ Carbonate Fraction จะมีมากในทางปากอ่าว

### 4.6 โลหะหนักในระบบประปาซึ่งหลักภูมิ-บีทคาดี และแม่น้ำบีทคาดี

ผลจากการเก็บตัวอย่างทดสอบ จากตั้งแต่ก่อนจนถึงการประปาบีทคาดี พบร่วมสารหมู่ 141 ppm. และ มีตะกั่ว 328 ppm. ส่วนตะกอนในระบบประปาบีทคาดี มีสารหมู่ 40 ppm. ตะกั่ว 240 ppm. แคลเมียมมีอยู่มากกว่าคราฟฟ์ได้ (ตารางที่ 4.4.2)

**ตาราง 4.6 แสดงผลการวิเคราะห์ตัวอย่างน้ำจากแม่น้ำปัตตานี และน้ำจากการบ่ประปา  
ชั้นหัวดิน-ปัตตานี**

เก็บตัวอย่างน้ำ ครั้งที่ 5 วันที่ 12 มกราคม พ.ศ.2536

Sample	Inductively Coupled Plasma Spectrometry (ICP) ppb.							
	Pb	As	Cd	Cu	Zn	Fe	Mn	pH
PW2	-	11.41	1.32	-	5.18	185	230	6.2
PW5	-	-	1.03	-	-	459	28.26	6.5
PW9	5.22	-	-	-	-	639	63.97	6.9
PW10	3.61	9.82	0.66	-	-	909	52.72	6.5
PW11	8.14	36.74	-	5.72	9.63	158	9.20	6.6
PW12	9.09	-	-	-	-	645	71.27	6.5
PW13	10.28	43.56	0.64	-	29.03	591	47.01	7.3
PW22	-	13.55	-	-	2.13	243	34.23	7.9
YW11	15.44	32.84	1.85	14.12	42.42	1593	244	7.1
YW22	-	13.99	1.44	3.11	6.72	131	42.50	7.5
YW	-	-	-	-	-	326	59.79	7.7
TW	-	-	3.32	-	-	221	71.36	7.5

หมายเหตุ เครื่องหมาย - หมายถึง วัดค่าไม่ได้

#### ตารางที่ 4.6.1 ค่าอัตราเบย์สตันที่เก็บศิวอย่างน้ำ

- PW2 ตัวอย่างน้ำที่เก็บในแม่น้ำปัตตานี บริเวณบ้านการะโสด จังหวัดยะลา
- PW5 ตัวอย่างน้ำที่เก็บในแม่น้ำปัตตานี บริเวณบ้านท่านบ จังหวัดยะลา
- PW9 ตัวอย่างน้ำที่เก็บในแม่น้ำปัตตานี บริเวณบ้านละเตง จังหวัดยะลา
- PW10 ตัวอย่างน้ำที่เก็บในแม่น้ำปัตตานี บริเวณอาเกอเมือง จังหวัดยะลา
- PW11 ตัวอย่างน้ำที่เก็บในแม่น้ำปัตตานี บริเวณบ้านนาชาซอ จังหวัดปัตตานี
- PW12 ตัวอย่างน้ำที่เก็บในแม่น้ำปัตตานี บริเวณอาเกอเมือง จังหวัดปัตตานี
- PW13 ตัวอย่างน้ำที่เก็บก่อนเข้าระบบประปาจังหวัดปัตตานี
- PW22 ตัวอย่างน้ำที่ออกจากระบบทะประปาจังหวัดปัตตานี
- YW11 ตัวอย่างน้ำที่เก็บก่อนเข้าระบบประปาจังหวัดยะลา
- YW22 ตัวอย่างน้ำที่ออกจากระบบทะประปาจังหวัดยะลา
- YW ตัวอย่างน้ำที่เก็บในปากแม่น้ำยะหริ่ง อ่าເກອຍະหริ่ง จังหวัดปัตตานี
- YH ตัวอย่างน้ำที่เก็บในปากแม่น้ำเทพา อ่าເກອເທພາ จังหวัดสงขลา

จากการวิเคราะห์หน้าดิน และน้ำที่ป่าปัดแล้ว จากระบบประปายะลา และปัตตานี ในการเก็บตัวอย่างวันที่ 12 มกราคม 2536 พบร่วมกับไมโครไพล์หนังสือค่าต่ำกว่ามาตรฐานน้ำดื่ม (ตารางที่ 4.6) อย่างไรก็ตามควรจะทำการวิเคราะห์การเปลี่ยนแปลงตามถูกต้องด้วย เนื่องจากช่วงที่เก็บตัวอย่างฝนยังตกอยู่มาก Dilution Factor ค่อนข้างสูง และน้ำค่อนข้างเป็นด่าง การติดตามตรวจสอบ และควบคุมอย่างสม่ำเสมอทุกถูกต้อง จะทำให้มีความแม่นใจในระบบประปามากขึ้น เนื่องจากการศึกษาครั้งนี้มีวัสดุประสงค์เพื่อหาแหล่งที่มาของตะกั่ว จึงไม่ได้เน้นที่ระบบประปา

ผลจากการเก็บตัวอย่างวันที่ 12 มกราคม 2536 เพื่อศึกษาการเปลี่ยนแปลงในหน้าฝน พบร่วมกับไมโครไพล์หนังสือค่าต่ำกว่ามาตรฐาน ซึ่งแตกต่างจากข้อมูลในหน้าแล้ง ที่พบร่วมกับเมียม และสารหมู่สูงกว่ามาตรฐาน แต่อย่างไรก็ตาม ปริมาณสารหมู่ในน้ำก่อนเข้าระบบประปาของยะลา และปัตตานี อยู่ในช่วง 30-40 ppb. ซึ่งมีคุณภาพเกือบเท่าค่ามาตรฐานน้ำดื่ม

## 5. วิจารณ์

### 5.1 แหล่งที่มาของตะกั่วในแม่น้ำป่าสัก

ผลการศึกษาปัจมัยตะกั่ว และโลหะหนักที่เกี่ยวข้องในตะกอนชารานน้ำ พบว่าตะกั่ว สารหมู่ แคล-เมียม ทองแดง และสังกะสี มีมากในบริเวณด้านล่างชารานน้ำใกล้กับหมู่บ้านปันเยาะ และหมู่บ้านอ่องถ้ำห้วย ในบริเวณอ่าวເກອຂາຣາຕີ ຈັງຫວັດຍະລາ ສີ່ງເປັນບຣິເວັມດັນນໍາລາຂາຮາບຂອງແມ່ນໍາປັດຕານີ ປຽນມາໄລຈະລອຄລົງໃນຊ່ວ່າງກລາງແມ່ນໍາ (ສີ່ງຫວັດຍະລາ) ແລະມາກຫົ່ນໃນບຣິເວັມໃກລໍກືບອ່າວປັດຕານີ ປຽນມາໄລຈະລອຄລົງໃນຊ່ວ່າງກລາງຄາດວ່າ ເນື່ອຈາກມີຕະກອນຈາກຫາວັນນໍາເຖິ່ນ ທ່ານ ເຂົ້າມາເຈືອຈາງ ແລະເນື່ອຈາກຄວາມລາດຫັນຂອງແມ່ນໍາ ໃນຊ່ວ່າງນີ້ສູງກວ່າຊ່ວ່າງເຖິ່ນ ທະກອນລະເບີດມີມັນຍຸ

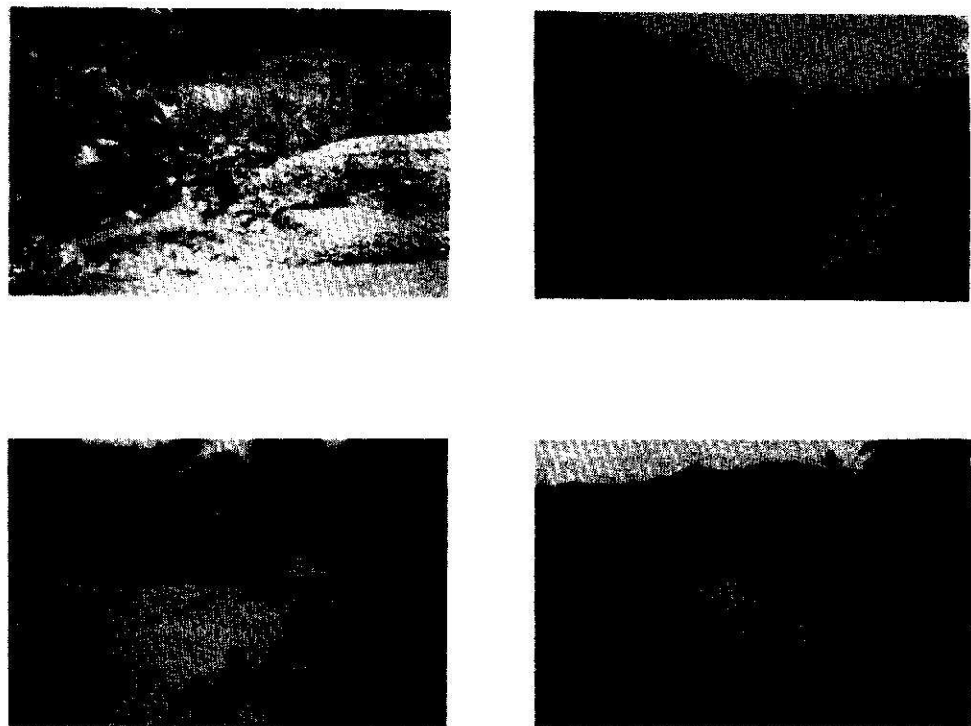
แหล่งแร่ที่เป็นต้นกำเนิดของตะกอนเหล่านี้มีแร่ติบุก ( $\text{SnO}_2$ ) Galena (PbS) Arsenopyrite ( $\text{FeAsS}$ ) Chalcopyrite ( $\text{CuFeS}_2$ ) Sphalerite ( $\text{ZnS}$ ) และ Pyrite ( $\text{FeS}_2$ ) สัดส่วนของแร่เหล่านี้ไม่แน่นอน จากการสังเกตพบว่า Pyrite ( $\text{FeS}_2$ ) มีปริมาณมากที่สุด

ตะกอนบริเวณที่ตั้งขึ้นบางส่วน มีโลหะหนักค่อนข้างมาก เนื่องจากมีการทำท่าเหมืองมาก่อนที่จะมีการทักเก็บน้ำ

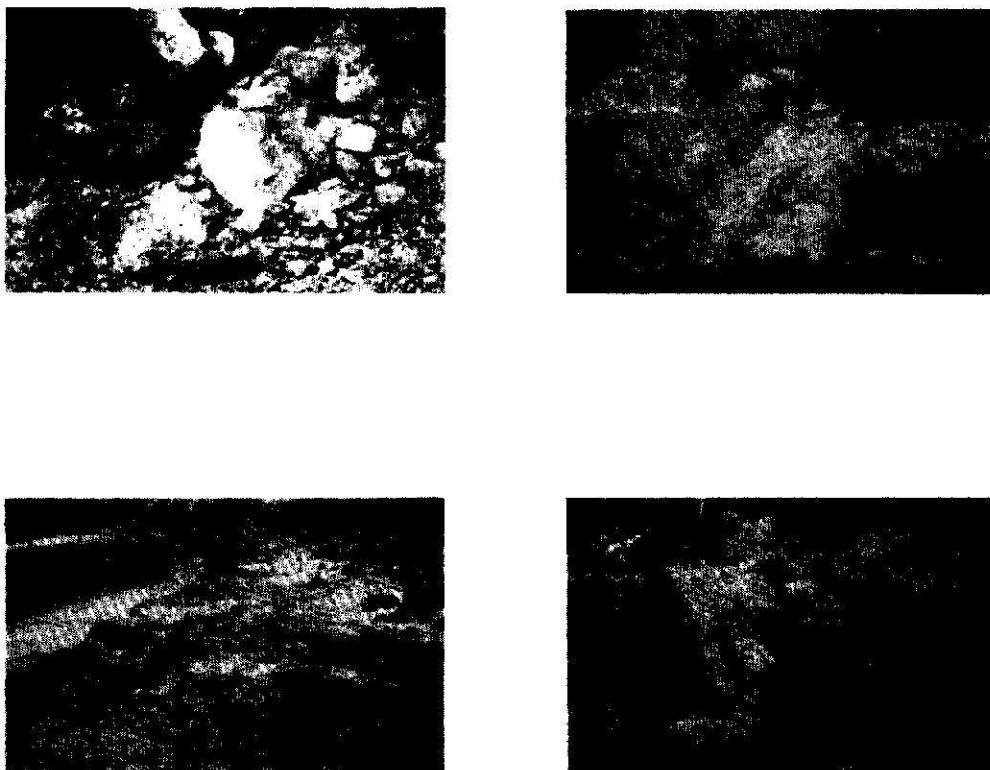
บริเวณโลหะหนักในแม่น้ำมีตะกั่วค่อนข้างมาก คาดว่าเนื่องจากมี pH ค่อนข้างเป็นด่าง และมีอนุญาติในการบ่อน开 ทำให้ตัวตะกั่วคงต่อไปได้ด้วย สารหมู่ และแคล-เมียมในแม่น้ำมีค่าสูงเกินมาตรฐานน้ำ แม่น้ำในช่วงหน้าแล้ง ส่วนหน้าฝนปริมาณโลหะหนักลดลงต่ำกว่าเกณฑ์

ปริมาณโลหะหนักในดินในลุ่มน้ำป่าสัก สวยงาม และท้องนา มีค่าไม่สูงนัก แต่ต้องย่างจากนากรุงทิพากัน因为เวลาก่อร่องมีค่าสารหมู่ และตะกั่วค่อนข้างสูง

ผลการศึกษาพอจะสรุปได้ว่า แหล่งที่มาของตะกั่ว และโลหะหนักที่เกี่ยวข้องที่มีนัยสำคัญ มาจากการทำท่าเหมืองในบริเวณด้านล่างชารานน้ำอย่างบึงนังสตา และอ่าวເກອຂາຣາຕີ ສີ່ງໄດ້ແກ້หมู่บ้านปันเยาะ และหมู่บ้านอ่องถ้ำห้วย นอกจากร่องน้ำที่มีการทำท่าเหมืองในบริเวณลุ่มน้ำใกล้เคียงกันอีก ได้แก่ ลุ่มน้ำยะหริ่ง และเทพา เหตุผลที่ต้องว่าแหล่งที่มาของตะกั่วมามาจาก Point Source อุบัติภัยน้ำที่มีตั้งแต่



รูปที่ 5.1 กองมูลหินทรายที่มีสารหมู่และก่อมากของ เนื้องทรายสุ



รูปที่ 5.2 กองแร่ที่มีสารทูมและกะกิวมากของ เนื้อองปันเยาะ

(1) ฝ้าละหันกสูงมากในล่าช้าที่ไหลมาจากการเมืองเหล่านี้ และบริเวณค่าย ๑ ลดลงไปจนถึงจังหวัดยะลา และบริเวณปากอ่าวปัตตานี

(2) มีการทิ้งมูลตันทรีย์จากการท่าเหมืองลงไปในล่าช้า หรือกองทิ้งไว้ข้างล่าช้า (รูปที่ 5.1-5.4)

(3) ผลจากการศึกษาพบว่า โลหะหนักส่วนใหญ่เป็น Residual Species ซึ่งยังคงรูปแบบของสารประกอบที่ไม่จากแหล่งแร่เดิมเมื่อห่างจาก Source มา ก็เป็นโลหะหนักจะอยู่ใน Fe-Mn Fraction มากที่สุด เมื่อผ่านชั้นชั้นดินปากอ่าว โลหะหนักจะอยู่ใน Organic Species มากที่สุด

(4) โลหะหนักจาก Non-point Source คาดว่ามีน้อยมากหรือไม่มีนัยสำคัญ ผลการวิเคราะห์ดิน บันทึกว่ามีโลหะหนักคงค้างจากการเกษตรน้อยมาก

## 5.2 การเกิดมลพิษของโลหะ ตัวการณ์จากสมการทางเคมีของโลหะ

จากการศึกษา Speciation ของโลหะ และการศึกษาอนุภูมิ Sulphate Carbonate Chloride และ pH ในน้ำพบว่า แม่น้ำหน้าแหล่งอนุภูมิ Carbonate ยังคงขึ้นมาก pH ค่อนข้างเป็นด่าง ลักษณะเช่นนี้ทำให้โลหะละลายได้มากขึ้น โลหะหนักส่วนใหญ่อยู่ในแบบ Residual Fraction อย่างไรก็ตาม ตะกั่วในรูปแบบของ Fe-Mn Fraction มีค่อนข้างมาก และในช่วงปากอ่าวสัดส่วนในรูปแบบของ Organic มีมากที่สุด เมื่อไปถึงอ่าวปัตตานี Fraction ตึ่งกล่าว ละลายได้ง่ายเมื่อ pH เป็นกรด หรือเข้าสู่ Food Chain ได้ง่าย ส่วนที่เหลือ Benthos จะสะสมโลหะหนักโดยการกินเม็ดตะกอนเหล่านี้

แคลเซียมเป็นโลหะที่ละลายน้ำได้ง่าย และอยู่ใน Soluble Form ได้นานถึงแม่จะมีรายงานว่า มีแคดเมียมในรูปของเฟล์ฟอร์ม แต่แคลเซียมที่คงค้างในดินมีน้อย และการวิเคราะห์อนุภูมิตันทรีย์ ในบริเวณเหมืองแร่ พบแคลเซียม 6-33 ppm ในน้ำ ช่วงหน้าแล้วมีแคลเซียมสูงกว่ามาตรฐานน้ำเพิ่ม ซึ่งจะมีผลกระทบต่อสุขภาพในการใช้น้ำดื่มโดยตรง

สารหมู่ มีปริมาณค่อนข้างสูงในยุคลดินทรัพย์ จากเหตุของแร่ แต่ส่วนใหญ่คือในรูปของ Residual Species และ Fe-Mn Species สารหมู่ในนาภูมิบริเวณบ่าชาบะเลนเป็นปริมาณค่อนข้างสูงซึ่งทางท่าให้เข้าสู่ Food Chain ได้ง่าย เช่นกัน สารหมู่ที่ละลายในน้ำบางสถานี มีปริมาณมาก เสียงกันมาตรฐานน้ำศีริม ในบางสถานะ สารหมู่จะละลายได้มาก ถ้ามีสภาวะทางเคมีที่เหมาะสม เช่น ความเป็นกรดมากขึ้น หรือปริมาณ Sulphate มากขึ้น

### 5.3 การจัดการสิ่งแวดล้อมในชุมชนบ้านปีติดตาม

เนื่องจากเราได้ทราบแหล่งที่มาของตะกั่ว และโลหะหนักที่เกี่ยวข้องว่ามาจากการทำเหมืองเป็นเวลานานกว่า 50 ปี มูลคินทรัพย์จากการทำเหมือง ถูกทิ้งไว้ในบริเวณต้นลำธาร โดยไม่มีบ่อเก็บซึ่งทำให้ตะกอนเหล่านี้ถูกชะล้างลงสู่แม่น้ำบ้านปีติดตาม และผสมปนเปื้อนกับกรดทรายริมแม่น้ำ ในช่วงฤดูน้ำหลาก ตะกอนจะเข้าสู่เรือส่วนไวน้ำที่น้ำท่วมดึงได้ ดังนั้นควรมีมาตรการการจัดการสิ่งแวดล้อม ในระยะสั้น และระยะยาว ดังนี้

#### (1) มาตรการระยะสั้น

- ให้ความรู้แก่ประชาชนสองฝั่งแม่น้ำว่า การบริโภคน้ำจากแม่น้ำและบ่อน้ำที่น้ำ อาจได้รับอันตรายจากโลหะหนัก
- สำรวจบ่อน้ำที่ชาวบ้านใช้บริโภค ว่ามีโลหะหนักเกินมาตรฐานหรือไม่ บ่อน้ำที่เกินมาตรฐานควรจะประชาสัมพันธ์ให้ประชาชนทราบ และห้ามดื่มน้ำจากบ่อน้ำที่เกินค่ามาตรฐานที่กำหนด
- สำรวจน้ำจากการบ่ประปาบนพื้นที่บ้านบ่อสูบน้ำ ว่ามีโลหะหนักเกินมาตรฐานหรือไม่ ถ้าเกินค่าที่กำหนด ให้ปรับปรุงระบบให้สามารถลดปริมาณโลหะหนักจนต่ำกว่ามาตรฐานได้
- บริเวณที่มีการเป็นปืนของโลหะหนักมาก ใช้วิธีจัดหน้าที่สะอาดให้เพียงพอ โดยการให้ใช้น้ำฝน และผิมน้ำที่สะอาดที่อยู่ใกล้เคียงมาใช้ประโยชน์เพิ่มมากที่สุด

(2) มาตรการร่วมยกระดับคุณภาพ

- ให้การความคุ้มคลุมพิเศษ กระทรวงวิทยาศาสตร์ เทคโนโลยีและสิ่งแวดล้อม สึกษาและวางแผนการควบคุมผลิตภัณฑ์ที่เกิดจากการท่าเรืออย่าง
- สึกษาการเผยแพร่รายชื่อโลหะหนัก ในอาหารท้องถิ่น
- สึกษาผลกระทบของโลหะหนักต่อสุขภาพของประชาชนในลุ่มน้ำ เช่น โรคที่เกี่ยวข้องกับโลหะหนัก และระดับปริมาณของสารในน้ำ
- ให้การประเมินผลกระทบสิ่งแวดล้อม จากโลหะหนักในลุ่มน้ำปัจจุบัน

## ๖ สูบ

### ๖.๑ สูบ

ผลการวิเคราะห์โลหะหนักจากการเก็บตัวอย่าง ตินตะกอนชานน้ำ น้ำ สารแ徊งานโดย ติน (ตาม การใช้ประไบซ์ทินทิน) และน้ำในระบบประปา สรุปได้ว่า

(1) แหล่งที่มาของตะกั่วในแม่น้ำปัตตานีมีภูมิศาสตร์ดูดึงก่อ การทำเหมืองในบริเวณอยากรือ สถานที่จุดเบ้า ไปแหล่งที่บูก็มีตะกั่ว สารหมู่ ทองแดง และสังกะสี เป็นเพื่อแปรรูป

(2) แหล่งที่มาของตะกั่ว และโลหะหนักที่เกี่ยวข้องจาก Non-point Source มีอยามากหรือ ไม่มีภูมิศาสตร์

(3) รูปแบบของโลหะหนัก ที่จะแพร่กระจายเข้าสู่สิ่งแวดล้อมมี 30-40 % ออยูร์ในรูปของ Organic Form , Fe-Mn Form และ Carbonate Form บ้าง การละลายจะขึ้นอยู่กับ pH ความ เนื้อห์ของอนุญาลต่าง ๆ และ Redox-Potential ของน้ำ ศักย์น้ำสิงค์ควรให้ระบบการติดตามตรวจสอบ ออยูร์สมอ

(4) ปริมาณแคลเซียม และสารหมู่ มีความสัมพันธ์กับกุฎิกาล ในช่วงหน้าแล้ง จะมีปริมาณเกิน มาตรฐานน้ำส้ม โลหะจะละลายได้มากในน้ำที่มีอนุญาลการบดเนื้อสูง

(5) ถึงแม้ว่าติดกอนจากติดกอนของระบบประปาจากยะลา และปัตตานีจะมีโลหะหนักค่อน ข้างสูงแต่โลหะหนักในน้ำที่ผ่านระบบบำบัดแล้ว ยังอยู่ในเกณฑ์ที่บริโภคได้ อย่างไรก็ตามควรมีการตรวจ ลองอย่างสม่ำเสมอ เนื่องจากผู้วิจัยได้ทำการเก็บตัวอย่างเพียงครั้งเดียว

## 6.2 ข้อเสนอแนะ

### พิจารณาที่ควรศึกษาต่อ

- (1) ศึกษาผลกระทบต่อสุขภาพและระดับสติปัญญา ของประชาชนในอุณหภูมิปัจจุบัน ซึ่งอาจจะดำเนินการโดย กระทรวงสาธารณสุข และนักวิชาการจากการมหาวิทยาลัย
- (2) ศึกษาการจัดการของมูลแร่บริเวณต้นน้ำลำธาร และตะกอนบริเวณลงพื้นที่มีการปนเปื้อนของโลหะหนีกมาก ดำเนินการโดยกรมทรัพยากรางวัล และกรมควบคุมมลพิษ
- (3) ศึกษาพฤติกรรมการบริโภคน้ำและอาหารทะเล เป็นโครงการวิจัยประจำภาควิชานิร่อง
- (4) ศึกษาการสะสมโลหะหนักในสิ่งมีชีวิต (Bioaccumulation) และในห่วงโซ่อากาศ เป็นโครงการวิจัยประจำภาควิชานิร่อง

องค์กรที่เกี่ยวข้องได้แก่ กรมการปกครอง กระทรวงสาธารณสุข กระทรวงวิทยาศาสตร์ เทคโนโลยี และสิ่งแวดล้อม การแพทย์การธุรกิจ และความมีการร่วมกันดำเนินการดังต่อไปนี้

- การประกาศเป็นเขตควบคุมมลพิษ
- การจัดทำแผนปฏิบัติการเพื่อลดและบรรจุมลพิษ
- การจัดตั้งองค์กรเอกชน เพื่อศูนย์กลางของ

## 7 เอกสารอ้างอิง

ประนอม ฐานศศิริ 2532. ความเข้มข้นตะกั่วในแม่น้ำของประเทศไทย รายงานการป้องกันทางวิชา  
การของมหาวิทยาลัยเกษตรศาสตร์ ครั้งที่ 27 บทคัดย่อที่ 225 หน้า 333.

นีนนา สันติสุวิ นพวงศ์ สราดกษ์ นีนนา ชั่งสูบประเสริญ 1987. ปริมาณโลหะหนักในน้ำบริเวณปาก  
แม่น้ำรอบอ่าวไทย วารสารการอนามัยและสิ่งแวดล้อม 10(3):43-58

ธรรม ณ เชียงใหม่ 2534 ปริมาณสารทรายในแหล่งน้ำ ฟื้นฟู ผลไม้ และสเน昏 ต. ว่อนพิมูลฯ จ.  
นครศรีธรรมราช ว. สงขลานครินทร์ 13(1-2):59-68.

รายงานกิจกรรมการสังเคราะห์แม่น้ำ 2530 ถึงการเก็บและรักษาตัวอย่างเพื่อวิเคราะห์โลหะ  
หนัก หน้า 13-14

อารี ศุภารัตน์ 2531 การแพร่กระจายของสารทรายในสภาพแวดล้อม อ. ว่อนพิมูลฯ นครศรีธรรม  
ราช วิทยานิพนธ์มหาบัณฑิต มหาวิทยาลัยสงขลานครินทร์ 154 หน้า

Bartlett, Larry, Rabe F.W., and Funk W.H., 1974. Effects of copper, zinc,  
and cadmium on *Selenastrum capricornutum*:Water research, 8(3):179-185.

Castaing P.R., Assor J.M., Jounneau and Weber O. 1986. Heavy metal  
origin and concentration in the sediments of the Pointe a Pitre Bay  
(Guadeloupe-Lesser Antilles): Environmental Geology, 8(4):174-184.

Elder J.F., 1988. Metal Biogeochemistry in Surface Water System, U.S.G.S.  
Circular : 1030.

Everaat J.M., Swennen C., 1987. Heavy metals(Zn, Cu, Cd, Pb) in some  
benthic invertebrate species and in sediment from three coastal  
areas in Thailand and Malaysia. J. Sci. Soc. Thailand 13:(189-203).

Funk W.H. and others, 1975. An integrtaed study on the impact of  
metallic trace element pollution in the Coeur D'Alen-Spokane  
Rivers-Lake drainage system: Water Resources Center Completion  
Report, OWRT, Title II, Project C-4145, WSU, UIO, 332p.

- Mantel E.J. and Foster M.V. 1991. Heavy metals in stream sediments: Effects of Human Activities, Environmental Geology, 18(2):95-104.
- Marron D.C., 1987. Floodplain storage of metal contaminated sediments down stream of a gold mine at Lead, South Dakota. In Averett R.C. and McKnight D.M., eds., Chemical quality of water and the hydrologic cycle: Lewis Publishers, Chelsea, Mich. p. 193-209.
- Purves D., 1985. Trace - Element Contamination of the Environment. Elsevier(Amsterdam), 243 pp.
- Ramaworthy S. and Rust B.R., 1978. Heavy metal exchange process in sediment water systems. 2(3):165-172.
- Reece D.E., Felky J.R. and Wai C.M., 1978. Heavy metal pollution in the sediments of the Coeur d' Alene River, Idaho. Environmental Geology, 2(5):289-293.
- Tessier A., Campbell P.G.C., Bisson M., 1979. Sequential extraction procedure for the separation of particulate trace metals. Anal. Chem. (51(7)):844-851.
- Tyler P.A., Buckney R.T., 1973. Pollution of Tasmanian river by mine effluent - chemical evidence: Internationale Revue Gesamten Hydrobiologie. 58(6):873-883.